

TEORIE LASERU

T. Ostatnický

21. října 2021

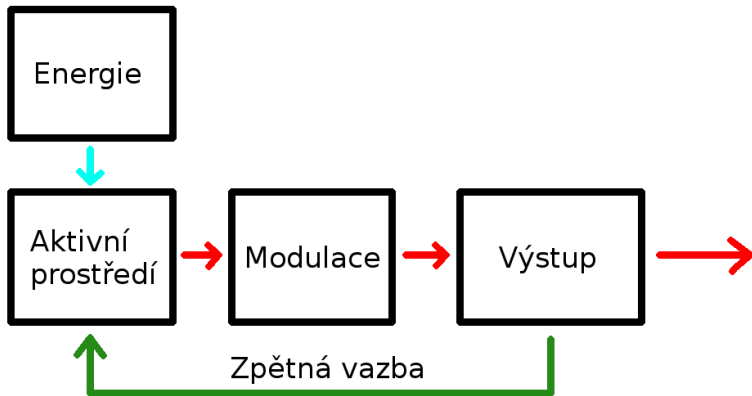
Úvod

- Úvod
- Optický rezonátor, Purcellův faktor, mody, svazky.
- Úrovně popisu aktivního prostředí.
- Klasická teorie laseru.
- Interakce světla a látky na semiklasické úrovni.
- Dvouhadinový model.
- Blochovy rovnice, tlumení volné indukce, fotonové echo.
- Semiklasické laserové rovnice.
- Aplikace semiklasických rovnic.
- Plně kvantová teorie.
- Řešení plně kvantových rovnic, přechodové jevy, dynamika, stabilita.
- Vzájemná kompatibilita jednotlivých úrovní popisu.
- Zajímavosti — optická bistabilita, ultrakrátké pulsy, polaritonový laser, submikronový laser.

HISTORIE

- **1917 A. Einstein:** Koncept a teorie spontánní stimulované emise.
- **1951 A. Prokorov, N. G. Basov:** Teorie MASERu (Microwave Amplification of Stimulated Emission of Radiation).
- **1953 C. H. Townes, J. P. Gordon, H. J. Zeiger:** Nezávisle zkonstruovali MASER (NH_3 , 24.0 GHz, rezonátor z kovu).
- **1956 N. Bloembergen:** Návrh pevnolátkového MASERu.
- **1958 A. L. Schawlow, C. H. Townes:** Teorie a návrh MASERu pro infračervené a viditelné světlo, důležitý optický rezonátor.
- **1960 T. H. Maiman:** Realizace rubínového LASERu.
- **1961 A. G. Fox, T. Li:** Teorie optických rezonátorů.
- **1962 R. Hall:** Polovodičový laser (GaAs).
- **1962 F. J. McClung, R. W. Hellwarth:** Q-spínání (obrovské pulsy).
- **1962 L. F. Johnson, G. D. Boyd, K. Nassau, R. R. Sodden:** Kontinuální laser.
- **1965 G. Pimentel, J. V. V. Kasper:** Chemický laser.
- **1966 P. Sorokin, J. Lankard:** Barvivový laser.
- **1970 N. Basov et al.:** Excimerový laser.
- **1977 J. M. J. Madey et al.:** Laser na volných elektronech.
- **1985 S. Suckewer et al.:** Rentgenový laser v laboratoři.
- atd. . .

SCHÉMA LASERU



- Stimulovaná emise: vznik koherentního pole z *nekoherentní* inverze.
- Čerpání může být i jiným laserem, ale výstupní pole nezávisí na jeho fázi.
- Parametrická konverze — parametrický oscilátor, *není* to laser, nedochází ke stimulované, ale parametrické emisi.

VLASTNOSTI ZÁŘENÍ

- Z principu stimulované emise, která „replikuje“ fotony, plyne časoprostorová koherence, minimum fluktuací.
- Vysoká stabilita (využití v metrologii), směrovost: 1969 Apollo 11, umístěn reflektor na Měsíci; 1. 8. 1969 první odraz, 2 – 10 ns pulsy z rubínového laseru, stopa na Měsíci cca 3 km.
- Vysoké výkony, špičkové intenzity, hustoty pole.
- Synchronizace modů (fázová stabilita): krátké pulsy pod 1 fs.
- Prostorová koherence: stopa v difrakčním limitu.
- Dosažitelné vlnové délky od rádiových frekvencí do RTG oblasti (desítky keV), teoreticky lze i gama záření.

STIMULOVANÁ EMISE

Hamiltonián schematicky — systém ($c_{1,2}$) plus lázeň (c_ω):

$$H = \mu(c_1 c_2^+ b + c_2 c_1^+ b^+) + \sum_{\omega} \mu_{\omega} (c_{\omega}^+ b + c_{\omega} b^+)$$

Počet fotonů:

$$i\hbar\partial_t \langle b^+ b \rangle (t) = i\hbar\partial_t \text{Tr} \rho(t) b^+ b = \text{Tr} \{ [H(t), \rho(t)] b^+ b \}$$

$$\rho(t) = \rho(-\infty) - \frac{i}{\hbar} \int_{-\infty}^t [H(\tau), \rho(\tau)] d\tau$$

$$i\hbar\partial_t \langle b^+ b \rangle (t) = \text{Tr} \{ [H(t), \rho(-\infty)] b^+ b \} - \frac{i}{\hbar} \int_{-\infty}^t \text{Tr} \{ [H(t), [H(\tau), \rho(\tau)]] d\tau b^+ b \}$$

- V integračním jádru člen s malou časovou koherencí díky lázni.
- K integrálu v podstatě přispívá pouze člen $[H(t), \rho(t)]$.
- QM-fáze systému sleduje fázi pole.
- Bornova–Markova aproximace: 1. řád TP, systém bez paměti.

STIMULOVANÁ EMISE

$$\int_{-\infty}^t [H(\tau), \rho(\tau)] d\tau \approx \xi [H(t), \rho(t)]$$

$$\begin{aligned} i\hbar \partial_t \langle b^+ b \rangle (t) &= \text{Tr} \{ [H(t), \rho(-\infty)] b^+ b \} - \frac{i\xi}{\hbar} \text{Tr} \{ [H(t), [H(t), \rho(t)]] b^+ b \} = \\ &= \text{Tr} \{ H\rho b^+ b - \rho H b^+ b \} - \frac{i\xi}{\hbar} \text{Tr} \{ (HH\rho - H\rho H - H\rho H + \rho HH) b^+ b \} = \\ &= \text{Tr} \{ (b^+ b H - H b^+ b) \rho \} - \frac{i\xi}{\hbar} \text{Tr} \{ (HH b^+ b - 2H b^+ b H + b^+ b HH) \rho \} \\ \partial_t \langle b^+ b \rangle &= -\frac{\xi}{\hbar^2} \langle [H, [H, b^+ b]] \rangle \quad (\text{adiabatická aproximace}) \end{aligned}$$

Po dosazení (fluktuace ošetřené faktorem ξ a integrací):

$$[H, b^+ b] = \mu (c_1 c_2^+ b - c_2 c_1^+ b^+) \quad (\text{Faktorizace, aproximace středního pole.})$$

$$\begin{aligned} \partial_t \langle b^+ b \rangle &= -2\xi \frac{\mu^2}{\hbar^2} \langle [c_2 c_1^+ b^+, c_1 c_2^+ b] \rangle = 2\xi \frac{\mu^2}{\hbar^2} \langle (c_2^+ c_2 - c_1^+ c_1) b^+ b + c_1 c_2^+ c_2 c_1^+ \rangle = \\ &= 2\xi \frac{\mu^2}{\hbar^2} [(n_2 - n_1)N + n_2(1 - n_1)] = 2\xi \frac{\mu^2}{\hbar^2} [(N + 1)n_2(1 - n_1) - Nn_1(1 - n_2)] \end{aligned}$$

- Stimulovaná emise závisí na inverzi $(n_2 - n_1)$ a počtu fotonů $\propto N$.
- Spontánní emise závisí pouze na počtu částic ve vyšším stavu n_2 plus zaplňování spodního stavu $\propto (1 - n_1)$.

TYPY LASERŮ

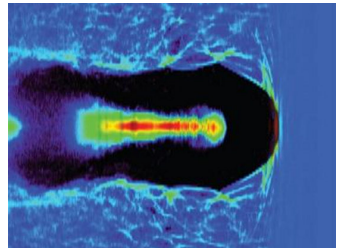
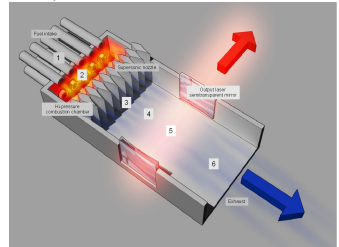
Dělení dle aktivního prostředí (a tím i mechanismu činnosti).

Plynové lasery

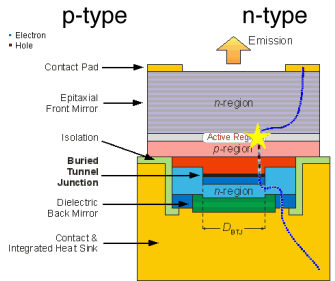
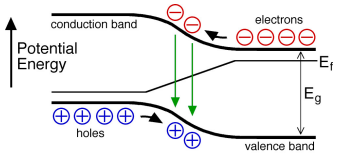
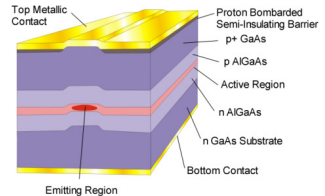
- Čerpání elektrickým výbojem, chemicky, opticky (excimerové lasery), mechanicky (dynamický laser).
- Velmi dobrá stabilizace, nehomogenně rozšířené čáry, vysoké výkony.

Plasmové lasery

- Vysokoenergetický IČ puls ionizuje plyn (odpaření kovu z terčíku, přímá ionizace plynu).
- Rekombinace volných elektronů: stimulovaný proces v RTG spektru.
- Důležité sfázování IČ a RTG pulsu.
- Ionizaci lze provést i jiným nekonvenčním dodáním energie a odpařením pásku kovu.



TYPY LASERŮ



Pevnolátkové lasery

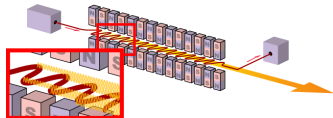
- Aktivní prostředí: ionty (podobné plynovým laserům, ale velké homogenní, zanedbatelné nehomogenní rozšíření), kvantové jámy, dráty, tečky, PN přechod.
- Čerpání: opticky, elektrickým proudem (!).
- Malé rozměry, krátké pulsy, vysoké hustoty toku energie, velké hodnoty zisku.
- Nanostruktury: VCSEL — jednomodové, dobře definovaná vlnová délka, možná výroba prvku na konkrétní vlnové délce.
- Integrovatelné do optoelektronických obvodů.

Lasery na volných elektronech

- Urychlené elektrony vstupují do undulátoru.
- Prostorově střídavé magnetické pole, příčně urychlující elektrické pole pro stabilizaci rychlosti.
- Pohyb jako v cyklotronu, vyzařování fotonů.
- Sfázování rychlosti elektronu a RTG fotonů — stimulovaná emise.

Barvivé lasery

- Organická barviva, čerpání opticky.
- Široké spektrum stimulované emise, laditelné, krátké pulsy.

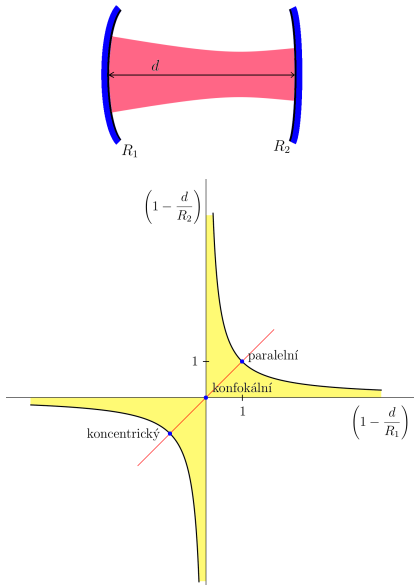


REZONÁTORY

- Zprošředkování zpětné vazby.
- Uzavření fotonů do konečného objemu, omezení radiačních ztrát.
- Prostorová a frekvenční modulace světla: podélné a příčné mody, délkou rezonátoru a tvarem zrcadel lze ladit a tvarovat svazky.
- Rezonátory uzavřené, otevřené (excimery).
- Zrcadla klasická (kovová, dielektrická), DBR v pevných látkách, vlákna, mikrorezonátory (kuličky, disky, kroužky, ...).
- Rozměry od m do μm , od toho se odvíjí modová struktura.
- Podmínka stability pro dvouzrcadlový rezonátor:

$$0 \leq \left(1 - \frac{d}{R_1}\right) \left(1 - \frac{d}{R_2}\right) \leq 1$$

- Boydův–Kogelnikův diagram stability.



MODY REZONÁTORU

Vlnová rovnice:

$$\left[\Delta_T + \partial_z^2 - \frac{n^2}{c^2} \partial_t^2 \right] E = 0$$

Hledáme harmonické paraxiální řešení ve tvaru:

$$E(\mathbf{r}, t) = \mathcal{E}(\mathbf{r}) \exp [i(k_z z - \omega t)]$$

Paraxiální přiblížení:

$$|\partial_z \mathcal{E}| \ll |k_z \mathcal{E}|$$

Dosazením:

$$\left[\Delta_T - k_z^2 + 2ik_z \partial_z + \partial_z^2 + \frac{\omega^2 n^2}{c^2} \right] \mathcal{E} = 0$$

Položme BÚNO $k_z = \omega n/c$ a uvažujme pouze členy nejnižšího řádu derivace v z :

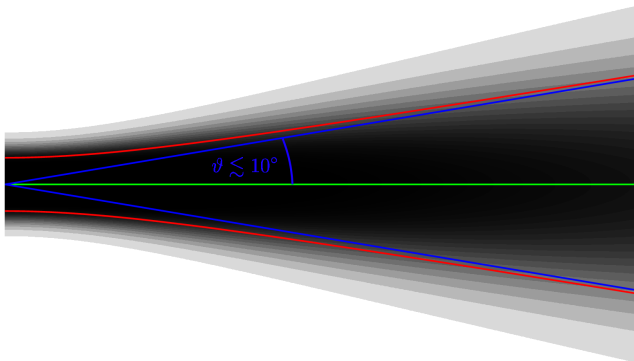
$$[\Delta_T + 2ik_z \partial_z] \mathcal{E} = 0$$

Helmholtzova paraxiální rovnice

Vlnová rovnice v paraxiálním přiblížení.

Paraxiální přiblížení

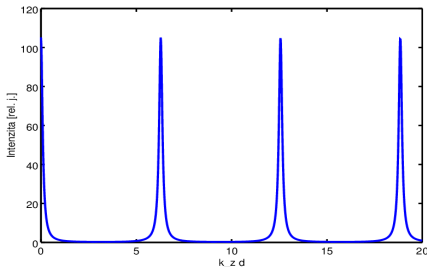
- Vlna se šíří ve směru z a je pouze lehce modulovaná v ostatních směrech.
- Modulace způsobuje i variace fáze ve směru šíření, ty jsou ale řádově mnohem menší než fázová změna $\propto k_z z$.
- V paraxiální přiblížení jsme schopni přibližně separovat podélný a příčný směr.
- Lze aplikovat pouze na omezený okruh problémů, např. takto nemůžeme popsat kulovou vlnu.
- Důležitý je úhel difrakce, ten nesmí překročit cca 10° .



Podélné mody

Odrazivost zrcadel $r_{1,2}$, intenzita uvnitř rezonátoru:

$$I \propto (1 - r_1 r_2 \exp [i k_z d])^{-1}$$



Podélné mody dány podmínkou:

$$\text{Im} \{ r_1 r_2 \exp [i k_z d] \} = 0$$

- Perioda $\Delta d = 2\pi/k_z$ nebo $\Delta k_z = 2\pi/d$ nebo $\Delta \hbar\omega = \Delta k_z c/n = 2\pi \hbar c/nd$.
- Hustota stavů se zvyšuje s rostoucí optickou délkou rezonátoru.
- Šířka modů (homogenní) daná dobou života fotonu: odrazivost, absorpce, difrakce, rozptyl...

MODY REZONÁTORU

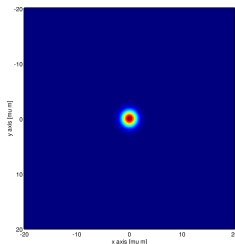
Příčné mody

Gaussovské svazky

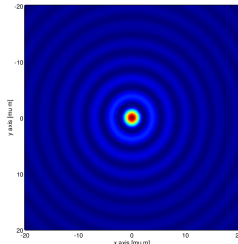
- Základní druh svazku v rezonátorech se sférickými zrcadly.
- Nepřímá úměra mezi velikostí ohniska a difrakčním úhlem \Rightarrow omezená možnost fokuse.
- Rychlý pokles intenzity na stranách.
- Vyšší řády, modulace intenzity \rightarrow stabilní svazky s plochým maximem nebo naopak „dírou“.

Besselovské svazky

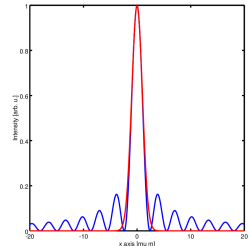
- Stabilní, bez difrakce.
- Velmi úzké maximum, lze lépe fokusovat než gaussovský svazek. . .
- . . . ale velmi pomalý pokles po stranách.
- Nelze uplatnit v rezonátoru, příliš velké difrakční ztráty.



Gaussovský



Besselovský

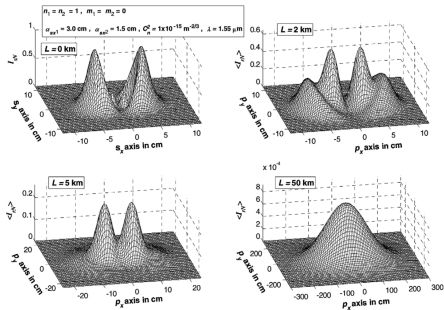
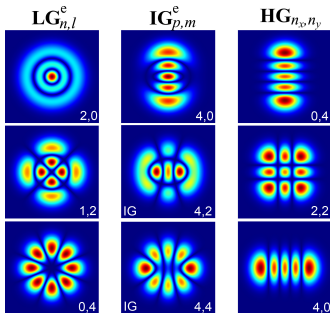


Porovnání G a B

MODY REZONÁTORU

Vyšší řády gaussovských svazků

- Profil svazku závisí na symetrii rezonátoru, tj. na jeho tvaru, tvaru zrcadel, prostorovém rozložení energie apod.
- Svazky s cylindrickou symetrií mohou mít nenulový moment hybnosti (fáze se při oběhu kolem středu svazku změní o násobek π) — mohou indukovat vířivé proudy v absorbujícím médiu.
- Matematická řešení paraxiální Helmholtzovy rovnice s uvážením gaussovské modulace — některé speciální polynomy.
- Hermitovské–Gaussovské (pravoúhlé), Laguerrovské–Gaussovské a Inceho–Gaussovské svazky.
- Modifikované gaussovské svazky — stabilní, ale mění se rozložení intenzity ve prospěch prostého gaussovského modu.



PURCELLŮV FAKTOR

Interakce elektronu a elektromagnetického pole:

$$H = \frac{(\mathbf{p} - e\mathbf{A})^2}{2m} + V(\mathbf{r})$$

Intenzita elektrického pole:

$$\mathbf{E}(t) = \partial_t \mathbf{A}(t) - \nabla \varphi(t)$$

Harmonická vlna:

$$\mathbf{A}(t) = \mathbf{A} \exp[-i\omega t] \quad \Rightarrow \quad \mathbf{A}(t) = \frac{i}{\omega} \mathbf{E} \exp[-i\omega t]$$

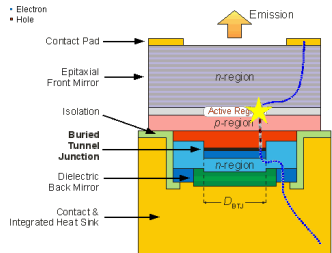
Lineární aproximace:

$$H = \frac{\mathbf{p}^2}{2m} + V(\mathbf{r}) - 2i \frac{e}{\omega} \mathbf{E} \cdot \mathbf{p} \exp[-i\omega t]$$

Síla interakce je úměrná překryvu vlnové funkce elektronu a elektromagnetického pole.

PURCELLŮV FAKTOR

- V rezonátorech lze prostorově omezit elektromagnetickou vlnu, z důvodu normování tím roste její špičková intenzita.
 - Zvýšení překryvu vlnových funkcí díky lokalizaci elektromagnetického pole.
 - Nanostruktury: lokalizace elektronové vlnové funkce.
 - Vhodně zvolené rozměry rezonátoru a nanostruktury: elektromagnetické módy v rezonanci nebo mimo rezonanci s dipólovým přechodem \Rightarrow podpora nebo potlačení luminiscence.
-
- Purcellův faktor: $F_P = T_0/T$, kde T resp. T_0 jsou zářivé doby života dané hladiny v a mimo rezonátor.
 - Lze dosáhnout řádově $F_P \approx 10$ nebo naopak $F_P \approx 0.1$,
 - Purcellův faktor zrychluje i stimulované přechody: VCSEL laserové diody s vysokou účinností.



ÚROVNĚ POPISU

- Výhodný co nejjednodušší model, který popisuje danou situaci — snaha o vysoký stupeň aproximace, relevantní pro daný systém.
- Např. není třeba zahrnovat popis celé laboratoře, stačí soustředit se pouze na prostor oscilátoru a interakci laboratoř–oscilátor popsat efektivně (přenos tepla, médií, dekoherence apod.).
- Obecně 3 úrovně popisu: *klasická*, *semiklasická* a *plně kvantová*.
- Úrovně vystihují pouze způsob popisu nelineárního prostředí a elektromagnetického pole, i tak je vždy otázkou aproximace, jak popíšeme efekty šíření pole, ostatní prvky v rezonátoru, atd.
- **Klasický popis:** Aktivní prostředí klasicky, roli hraje pouze inverze, která je hustotou energie (nemá fázi).
- Pole popsáno hustotou fotonů, není fáze, není spektrum, roli hraje efektivně pouze jeden mod.
- **Semiklasický popis:** Materiál plně kvantově, čerpání efektivně jako tok energie. Pole klasicky z Maxwellových rovnic včetně fáze.
- Obsažena informace o fázi pole i materiálové vlny, spektrální vlastnosti, interakce mezi mody, interakce pole a čerpání, plný popis nelinearit.
- **Plně kvantový popis:** Kvantovaný materiál i pole, kvantová interakce s tepelnou lázní (pole i materiál).
- Kvantové fluktuace, fotonová statistika.

Klasické laserové rovnice

KLASICKÉ LASEROVÉ ROVNICE

- Základní hladinové schéma vždy 2 hladiny, ze spodní čerpám na horní, z horní spontánní emise na dolní.
- Horní hladina kvazistabilní.
- Vždy je potřeba dosáhnout inverze $N_2 > N_1$, jinak převáží stimulovaná absorpce nad stimulovanou emisí.

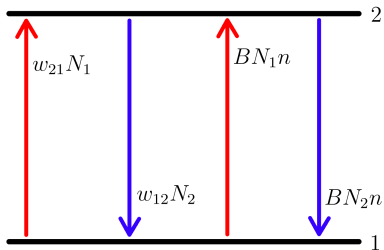
$$\partial_t n = 2\xi \frac{\mu^2}{\hbar^2} [(N+1)n_2(1-n_1) - Nn_1(1-n_2)]$$

Spontánní emise ale nehraje roli (v rovnicích dále je zanedbaná).

- Dosažení inverze:
 - 1 Intenzivním zdrojem energie (např. laserovým pulsem) — musí být ve fázi s dvohladinovým systémem \Rightarrow koherentní, délka pulsu kratší než doba rozfázování. Čerpání je tedy ale samo o sobě laser.
 - 2 Tunelování elektronů z jiného nekoherentního invertovaného systému: PN přechod, zdroj napětí je invertovaný.
 - 3 Využití dalších hladin mimo rezonanci se zdrojem — shámata 3, 4 a více hladin s nestabilními přechodnými stavy.
 - 4 Další: chemické reakce (excimery), tlumení vibrací (dynamické lasery), ...

KLASICKÉ LASEROVÉ ROVNICE

- Kvalitativní popis pouze na základě bilance energií.
- Předpokládáme existenci pouze jednoho modu nebo uvažujeme efektivní počet fotonů.
- Jakékoliv fluktuace nezajímavé. Použijeme aproximaci středního pole, elektromagnetické pole je klasické, elektrony také. Platí při velkých hustotách polí.
- Neuvažujeme žádné efekty koherence, všechno je ve fázi.



- $N_{1,2}$... Efektivní obsazení hladin v celé dutině, které interagují s modem.
- n ... Počet fotonů v celé dutině.
- B ... Einsteinův koeficient.
- w_{21} ... Čerpání.
- w_{12} ... Relaxace.

KLASICKÉ LASEROVÉ ROVNICE

$$\begin{aligned}\dot{N}_2 &= +w_{21}N_1 - w_{12}N_2 + BN_1n - BN_2n \\ \dot{N}_1 &= -w_{21}N_1 + w_{12}N_2 - BN_1n + BN_2n\end{aligned}$$

- $N = N_2 + N_1$ je celkový počet elektronů, $\dot{N} = 0$.
- $D = N_2 - N_1$ je inverze, rovnice pro \dot{N}_1 a \dot{N}_2 lze nahradit rovnicemi pro \dot{D} , \dot{N} :

$$\begin{aligned}N_1 &= \frac{N - D}{2} \\ N_2 &= \frac{N + D}{2} \\ \dot{D} &= 2N_1w_{21} - 2N_2w_{12} + 2Bn(N_1 - N_2) = \\ &= N(w_{21} - w_{12}) - D \underbrace{(w_{21} + w_{12})}_{1/T} - 2BnD\end{aligned}$$

- T ... relaxační doba inverze.
- Označíme D_0 řešení při $n = 0$. Je to maximální dosažitelná inverze, nazývá se *nesaturovaná inverze*:

$$D_0 = N \frac{w_{21} - w_{12}}{w_{21} + w_{12}}$$

KLASICKÉ LASEROVÉ ROVNICE

$$\dot{D} = N(w_{21} - w_{12}) - D(w_{21} + w_{12}) - 2BnD$$

$$D_0 = N \frac{w_{21} - w_{12}}{w_{21} + w_{12}}$$

$$w_{21} + w_{12} = \frac{1}{T}$$

$$N(w_{21} - w_{12}) = D_0(w_{21} + w_{12}) = \frac{D_0}{T}$$

- Při přeskoků $\dot{N}_2 = \dots - BN_2n$ se vytvoří $n = 1$ fotonů.
- $1/2\gamma$... doba života fotonu.

$$\dot{n} = BDn - 2\gamma n$$

$$\dot{D} = (D_0 - D) \frac{1}{T} - 2BDn$$

Klasické laserové rovnice

STACIONÁRNÍ ŘEŠENÍ

$$\dot{D} = 0 \Rightarrow (D_0 - D) = 2TDBn$$

$$D_S = \frac{D_0}{1 + 2TBn} \quad \dots \quad \text{„saturace“ inverze polem}$$

$$\dot{n} = 0 \Rightarrow n \left(\frac{BD_0}{1 + 2TBn} - 2\gamma \right) = 0$$

Dvě možnosti:

- $n = 0$
- $n_S = \frac{BD_0 - 2\gamma}{4TB\gamma}$

Dále dosadíme zpět do vztahu pro D_S : $D_S = 2\gamma/B$.

STACIONÁRNÍ ŘEŠENÍ

$$n = 0$$

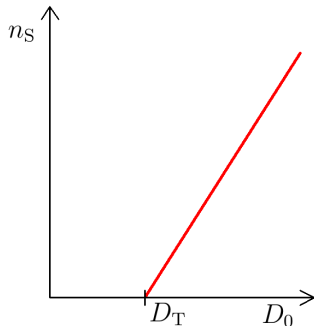
- Nestabilní řešení, při libovolném $n \neq 0$ exponenciální nárůst n .
- Matematicky existuje pouze kvůli zanedbání spontánních procesů.
- Řešení není fyzikální.

$$BD_0 < 2\gamma$$

- $n_S < 0$, nefyzikální řešení.
- Pokud předpokládáme $n > 0$ jako počáteční (fyzikálně správnou) podmínku, nikdy nelze $n < 0$.
- Matematické science-fiction.

$$BD_0 \geq 2\gamma$$

- Správné řešení.
- \Rightarrow prahová podmínka: $D_0 \geq D_T = \frac{2\gamma}{B}$.



NESTACIONÁRNÍ ŘEŠENÍ — RELAXAČNÍ OSCILACE

$$D = D_S + x$$

$$n = n_S + y$$

$$xy = 0$$

$$\dot{D} = \dot{x} = \underbrace{(D_0 - D_S) \frac{1}{T} - 2BD_S n_S}_{=0} - \underbrace{\left(\frac{1}{T} + 2Bn_S \right)}_{D_0/D_S T} x - 2BD_S y$$

$$\dot{n} = \dot{y} = \underbrace{BD_S n_S - 2\gamma n_S + Bxn_S}_{=0} + \underbrace{BD_S - 2\gamma y}_{=0}$$

$$\frac{d}{dt} \begin{pmatrix} x \\ y \end{pmatrix} = \begin{pmatrix} -\frac{D_0}{D_S T} & -2BD_S \\ Bn_S & 0 \end{pmatrix} \begin{pmatrix} x \\ y \end{pmatrix}$$

$$x = x_0 \exp[\alpha t], \quad y = y_0 \exp[\alpha t]$$

$$\det \begin{pmatrix} -\frac{D_0}{D_S T} - \alpha & -2BD_S \\ Bn_S & -\alpha \end{pmatrix} = 0$$

NESTACIONÁRNÍ ŘEŠENÍ — RELAXAČNÍ OSCILACE

$$\det \begin{pmatrix} -\frac{D_0}{D_S T} - \alpha & -2BD_S \\ Bn_S & -\alpha \end{pmatrix} = 0 \quad D_S = \frac{2\gamma}{B}$$

$$\alpha^2 + \alpha \frac{BD_0}{2\gamma T} + 4B\gamma n_S = 0$$

$$\alpha = -\frac{BD_0}{4\gamma T} \pm \frac{1}{2} \sqrt{\frac{B^2 D_0^2}{4\gamma^2 T^2} - 16B\gamma n_S} \quad n_S = \frac{BD_0 - 2\gamma}{4BT\gamma}$$

$$\alpha = -\frac{BD_0}{4\gamma T} \left[1 \pm \sqrt{1 - \frac{4\gamma^2 T}{B^2 D_0^2} (BD_0 - 2\gamma)} \right]$$

- Pod prahem $BD_0 < 2\gamma$ odmocnina $\sqrt{\quad} > 1$, existuje kladné i záporné řešení: z počáteční podmínky $n > 0$ plyne jako fyzikální pouze záporné — aperiodický pohyb.
- Nad prahem $BD_0 > 2\gamma$ je $\sqrt{\quad} < 1$: aperiodický pohyb pokud $\sqrt{\quad} \in \mathbb{R}$ a vždy $\alpha < 0$ (tlumení), jinak $\alpha = \Gamma + i\omega \rightarrow$ *oscilace*.

NESTACIONÁRNÍ ŘEŠENÍ — RELAXAČNÍ OSCILACE

$$\alpha = -\frac{BD_0}{4\gamma T} \left[1 \pm \sqrt{1 - \frac{4\gamma^2 T}{B^2 D_0^2} (BD_0 - 2\gamma)} \right]$$

Hraniční případ mezi oscilacemi a aperiodickou (tlumenou) dynamikou:

$$4\gamma^2 T (BD_0 - 2\gamma) = B^2 D_0^2$$

$$D_0 = \frac{2\gamma}{B} (\gamma T) \left[1 \pm \sqrt{1 - \frac{2}{\gamma T}} \right]$$

- Pro existenci oscilací musí nutně $\gamma T > 2$: součet rychlosti relaxace a rychlosti čerpání elektronu menší než rychlost relaxace fotonu.
- Vždy existuje interval pro existenci oscilací: systém musí být čerpán dostatečně nad prahem, ale ne moc.
- Při $\gamma T \gg 1$ dostaneme:

$$D_0 \in \left(\frac{2\gamma}{B}; \frac{2\gamma}{B} 2\gamma T \right)$$

- Uvažujme $BD_0 \gg 2\gamma$ a $BD_0 \ll \gamma^2 T$:

$$\omega \approx \frac{1}{2} \sqrt{\frac{BD_0}{T}}$$

Semiklasické laserové rovnice

INTERAKCE ELEKTRONU S ELMG. POLEM

- Klasické pole, řešení Maxwellových rovnic.
- Jsou zavedené intenzity polí, potenciály a fáze.
- Elektrony kvantované.
- Atomární systém (lokální interakce).
- Odvození z hamiltoniánu pro elektron ($e < 0$).

$$H = \frac{(\mathbf{p} - e\mathbf{A})^2}{2m} + V(\mathbf{r}) = \frac{p^2}{2m} + V(\mathbf{r}) - \frac{e}{2m}(\mathbf{p} \cdot \mathbf{A} + \mathbf{A} \cdot \mathbf{p}) + \frac{e^2}{2m}A^2$$

Zanedbáme dvoufotonové procesy ($A^2 \approx 0$), použijeme Coulombickou kalibraci $\nabla \cdot \mathbf{A} = 0$:

$$\mathbf{p} \cdot \mathbf{A} + \mathbf{A} \cdot \mathbf{p} = -i\hbar(\nabla \cdot \mathbf{A} + \mathbf{A} \cdot \nabla) = -2i\hbar\mathbf{A} \cdot \nabla = 2\mathbf{A} \cdot \mathbf{p}$$

$$H = \frac{p^2}{2m} + V(\mathbf{r}) - \frac{e}{m}\mathbf{A} \cdot \mathbf{p} = H_0 - \frac{e}{m}\mathbf{A} \cdot \mathbf{p}$$

H_0 ... Neporušený hamiltonián elektronu, interakci budeme uvažovat jako poruchu.

INTERAKCE ELEKTRONU S ELMG. POLEM

Monochromatické pole:

$$\mathbf{E} = -\frac{\partial}{\partial t} \mathbf{A}$$

$$\mathbf{E} = \tilde{\mathbf{E}} \exp[-i\omega_0 t] + \text{c.c.}$$

$$\mathbf{A} = \tilde{\mathbf{A}} \exp[-i\omega_0 t] + \text{c.c.}$$

$$\tilde{\mathbf{E}} = i\omega_0 \tilde{\mathbf{A}}$$

$$H = H_0 + \frac{ie}{m\omega_0} \left(\mathbf{p} \cdot \tilde{\mathbf{E}} \exp[-i\omega_0 t] - \mathbf{p} \cdot \tilde{\mathbf{E}}^* \exp[+i\omega_0 t] \right)$$

Přechod k dipólovému momentu, *dipólová aproximace* $\langle f | \mathbf{p} \cdot \mathbf{E} | i \rangle = \langle f | \mathbf{p} | i \rangle \cdot \mathbf{E}(\mathbf{r}_0)$:

$$\langle f | [H_0, \mathbf{r}] | i \rangle = \langle f | \hbar\omega_f \mathbf{r} | i \rangle - \langle f | \mathbf{r} \hbar\omega_i | i \rangle = \hbar(\omega_f - \omega_i) \langle f | \mathbf{r} | i \rangle = \frac{\hbar}{e} \omega_{fi} \mathbf{d}_{fi}$$

$$\mathbf{d}_{fi} = \langle f | e \mathbf{r} | i \rangle \in \mathbb{R}$$

$$\langle f | [H_0, \mathbf{r}] | i \rangle = \langle f | [(p^2/2m) + V, \mathbf{r}] | i \rangle = \langle f | \mathbf{p}[\mathbf{p}, \mathbf{r}] / m | i \rangle = -i \frac{\hbar}{m} \langle f | \mathbf{p} | i \rangle$$

Po dosazení:

$$\langle f | H | i \rangle = \underbrace{\langle f | H_0 | i \rangle}_{\hbar\omega_i \delta_{fi}} - \frac{\omega_{fi}}{\omega_0} \mathbf{d}_{fi} \cdot (\tilde{\mathbf{E}} \exp[-i\omega_0 t] + \tilde{\mathbf{E}}^* \exp[+i\omega_0 t])$$

DVOUHLADINOVÝ MODEL

- Dvě elektronové hladiny (kvantové) plus klasické pole, blízko rezonanci.
- Zatím koherentní vývoj bez relaxace.
- Pouze jeden elektron.

$$H = \hbar\omega_1 c_1^\dagger c_1 + \hbar\omega_2 c_2^\dagger c_2 - \frac{e}{m} \mathbf{A} \cdot \mathbf{p}$$

$$H = \begin{pmatrix} \hbar\omega_1 & 0 \\ 0 & \hbar\omega_2 \end{pmatrix} - \frac{\omega_{21}}{\omega_0} \mathbf{d}_{21} \cdot (\tilde{\mathbf{E}} \exp[-i\omega_0 t] + \text{c.c.}) \begin{pmatrix} 0 & 1 \\ 1 & 0 \end{pmatrix} = \begin{pmatrix} \hbar\omega_1 & \xi(t) \\ \xi(t) & \hbar\omega_2 \end{pmatrix}$$

$$\xi(t) = -\frac{\omega_{21}}{\omega_0} \mathbf{d}_{21} \cdot (\tilde{\mathbf{E}} \exp[-i\omega_0 t] + \text{c.c.})$$

- Počítáme časový vývoj matice hustoty:

$$\rho(t) = \begin{pmatrix} \rho_{11} & \rho_{21}^* \\ \rho_{21} & \rho_{22} \end{pmatrix} = \begin{pmatrix} \rho_{11} & \rho_{21}^* \\ \rho_{21} & \rho_{22} \end{pmatrix}$$

$$\rho_{12} = \rho_{21}^*$$

$$\frac{\partial \rho}{\partial t} = -\frac{i}{\hbar} [H, \rho] = -\frac{i}{\hbar} \left[\begin{pmatrix} \hbar\omega_1 & \xi(t) \\ \xi(t) & \hbar\omega_2 \end{pmatrix} \begin{pmatrix} \rho_{11} & \rho_{21}^* \\ \rho_{21} & \rho_{22} \end{pmatrix} - \begin{pmatrix} \rho_{11} & \rho_{21}^* \\ \rho_{21} & \rho_{22} \end{pmatrix} \begin{pmatrix} \hbar\omega_1 & \xi(t) \\ \xi(t) & \hbar\omega_2 \end{pmatrix} \right]$$

DVOUHLADINOVÝ MODEL

$$\frac{\partial}{\partial t} \rho_{11} = -i \frac{\xi(t)}{\hbar} (\rho_{21} - \rho_{21}^*)$$

$$\frac{\partial}{\partial t} \rho_{22} = -i \frac{\xi(t)}{\hbar} (\rho_{21}^* - \rho_{21})$$

$$\frac{\partial}{\partial t} \rho_{21} = -i \frac{\xi(t)}{\hbar} (\rho_{11} - \rho_{22}) - i\omega_{21} \rho_{21}$$

Definujeme inverzi $d = \rho_{22} - \rho_{11}$, frekvenci dipólu $\omega_{21} = \omega_2 - \omega_1$, polarizaci $p = \rho_{21}$ a interakční člen $\mu = (\mathbf{d}_{21} \cdot \mathbf{E}) \in \mathbb{C}$:

$$\dot{p} = -i\omega_{21} p - id \frac{\omega_{21}}{\hbar\omega_0} (\mu \exp[-i\omega_0 t] + \text{c.c.})$$

$$\dot{d} = 4 \frac{\omega_{21}}{\hbar\omega_0} (\mu \exp[-i\omega_0 t] + \text{c.c.}) \text{Im} p$$

- Snadno vidíme $p \propto \exp[-i\omega_{21} t]$ a $\omega_0 \approx \omega_{21}$.
- Provedeme *aproximaci rotující vlny* (Rotating Wave Approximation): příspěvek $\mu^* \exp[+i\omega_0 t]$ k polarizaci osciluje vzhledem k p na frekvenci $\omega_0 + \omega_{21}$.
- Během jedné periody na frekvenci ω_{21} tak proběhne mnoho oscilací na součtové frekvenci a příspěvek se vyprůměruje do 0.
- V některých aplikacích ale tento příspěvek neopomenutelný, v poruchové teorii jej zanedbat můžeme.
- Podobně v rovnici pro inverzi zanedbáme v členu $\xi(t)\rho_{21}$ příspěvek $\propto \mu \exp[-i\omega_0 t]$ a v členu $\xi(t)\rho_{21}^*$ část $\propto \mu^* \exp[+i\omega_0 t]$.

DVOUHLADINOVÝ MODEL

$$\hbar\tilde{\mu} = \mu$$
$$\frac{\omega_{21}}{\omega_0} \rightarrow 1$$

$$\dot{p} = -i\omega_{21}p - id\tilde{\mu} \exp[-i\omega_0 t]$$
$$\dot{d} = 4 \operatorname{Im} \{ \tilde{\mu}^* p \exp[+i\omega_0 t] \}$$

Zavedení ad hoc relaxačních dob a čerpání: doba života horní hladiny $T_1 = 2\gamma_{\parallel}^{-1}$, doba rozfázování $T_2 = \gamma_{\perp}^{-1}$:

$$\dot{p} = (-i\omega_{21} - \gamma_{\perp})p - id\tilde{\mu} \exp[-i\omega_0 t]$$
$$\dot{d} = 4 \operatorname{Im} \{ \tilde{\mu}^* p \exp[+i\omega_0 t] \} - \gamma_{\parallel}(d+1)$$

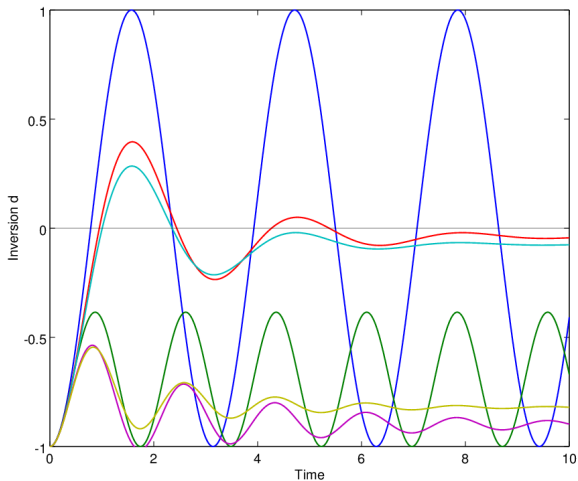
Blochovy rovnice

- Převedení do pomalu rotujícího rámce.
- Uvažujeme $p \rightarrow p \exp[-i\omega_A t]$, definujeme $\delta = \omega_0 - \omega_{21}$:

$$\dot{p} = -id\tilde{\mu} \exp[-i\delta t] - \gamma_{\perp}p$$
$$\dot{d} = +4 \operatorname{Im} \{ \tilde{\mu}^* p \exp[+i\delta t] \} - \gamma_{\parallel}(d+1)$$

ŘEŠENÍ BLOCHOVÝCH ROVNIC

Počáteční podmínka $d = -1$, $p = 0$, konstantní parametr $\tilde{\mu} = 1$:



	δ	γ_{\parallel}	γ_{\perp}
Blue	0	0	0
Green	3	0	0
Red	0	.8	.2
Cyan	0	.8	.4
Yellow	3	.8	.2
Purple	3	.8	.4

$$\gamma_{\perp} = \gamma_{\parallel}/4 + \gamma_{\perp}^*$$

ŘEŠENÍ BLOCHOVÝCH ROVNIC

V rezonanci, bez tlumení: $\delta = 0$, $\gamma_{\perp} = \gamma_{\parallel} = 0$.

$$\dot{\rho} = -i d \tilde{\mu}$$

$$\ddot{d} = 4 \operatorname{Im} \tilde{\mu}^* \dot{\rho} = 4 \operatorname{Im} (-i) |\tilde{\mu}|^2 d = -4 |\tilde{\mu}|^2 d$$

$$d = -\cos \Omega_R t$$

$$\rho = \frac{i \tilde{\mu}}{\Omega_R} \sin \Omega_R t$$

$$\Omega_R = 2 |\tilde{\mu}| \quad \dots \quad \text{Rabiho frekvence}$$

- Rabiho oscilace na Rabiho frekvenci.
- Oscilace nezávisle na fázi pole: pouze polarizace sleduje fázi, inverze je vždy stejná.
- Lze dosáhnout inverze interakcí s koherentním pulsem: $\Omega_R t = \pi = 2 |\tilde{\mu}| t$, tedy

$$t = \frac{\pi}{2 |\tilde{\mu}|}$$

je délka tzv. π -pulsu.

- Kvůli relaxačním procesům musí být t kratší než doba relaxace \Rightarrow inverzi lze vybudit pouze velmi krátkým, ale intenzivním pulsem ($t \propto 1/|\tilde{\mu}|$).

ŘEŠENÍ BLOCHOVÝCH ROVNIC

Mimo rezonanci, bez tlumení: $\delta \neq 0$, $\gamma_{\perp} = \gamma_{\parallel} = 0$.

$$d = A + B \cos \Omega t, \quad A, B \in \mathbb{R} \quad \text{BÚNO}$$

$$\dot{d} = -B\Omega \sin \Omega t$$

$$\dot{p} = -i\tilde{\mu} \exp[-i\delta t](A + B \cos \Omega t) = -iA\tilde{\mu} \exp[-i\delta t] - \frac{iB\tilde{\mu}}{2} (\exp[i(\Omega - \delta)t] + \exp[-i(\Omega + \delta)t])$$

$$p = \frac{A\tilde{\mu}}{\delta} \exp[-i\delta t] - \frac{B\tilde{\mu}}{2(\Omega - \delta)} \exp[i(\Omega - \delta)t] + \frac{B\tilde{\mu}}{2(\Omega + \delta)} \exp[-i(\Omega + \delta)t] + C$$

$$\dot{d} = 4 \operatorname{Im} (\tilde{\mu}^* p \exp[i\delta t]) =$$

$$= 4|\tilde{\mu}|^2 \operatorname{Im} \left\{ \frac{A}{\delta} - \frac{B}{2(\Omega - \delta)} \exp[i\Omega t] + \frac{B}{2(\Omega + \delta)} \exp[-i\Omega t] + \frac{C}{\tilde{\mu}} \exp[i\delta t] \right\} =$$

$$= -2|\tilde{\mu}|^2 B \left(\frac{1}{\Omega - \delta} + \frac{1}{\Omega + \delta} \right) \sin \Omega t + 4 \left(\operatorname{Re} \{ \tilde{\mu} C \} \sin \delta t + \operatorname{Im} \{ \tilde{\mu} C \} \cos \delta t \right) =$$

$$= -B\Omega \sin \Omega t \quad \Rightarrow \quad C = 0$$

$$-B\Omega \sin \Omega t = -4|\tilde{\mu}|^2 \frac{B\Omega}{\Omega^2 - \delta^2} \sin \Omega t$$

$$\boxed{\Omega^2 = 4|\tilde{\mu}|^2 + \delta^2 = \Omega_{\text{R}}^2 + \delta^2}$$

ŘEŠENÍ BLOCHOVÝCH ROVNIC

Mimo rezonanci, bez tlumení: $\delta \neq 0$, $\gamma_{\perp} = \gamma_{\parallel} = 0$.

$$d = A + B \cos \Omega t, \quad A, B \in \mathbb{R} \quad \text{BÚNO}$$
$$\Omega^2 = \Omega_R^2 + \delta^2$$

$t = 0$

$$d = -1 = A + B \quad \Rightarrow \quad A = -B - 1$$
$$p = 0 = \frac{A\tilde{\mu}}{\delta} - \frac{B\tilde{\mu}}{2(\Omega - \delta)} + \frac{B\tilde{\mu}}{2(\Omega + \delta)} \quad \Bigg/ \cdot \frac{2\delta}{\tilde{\mu}}$$
$$0 = \frac{1}{\Omega^2 - \delta^2} \left[2(B + 1) \underbrace{(\Omega^2 - \delta^2)}_{\Omega_R^2} + 2\delta^2 \right]$$
$$B = -\frac{\Omega_R^2}{\Omega^2} = -\frac{\Omega_R^2}{\Omega_R^2 + \delta^2}$$
$$A = -\frac{\delta^2}{\Omega^2} = -\frac{\delta^2}{\Omega_R^2 + \delta^2}$$

- Amplituda oscilací inverze: lorentzovský tvar vzhledem k δ .
- Při $\delta \neq 0$ nelze dosáhnout inverze.

ŘEŠENÍ BLOCHOVÝCH ROVNIC

Stacionární řešení

$$\rho = \rho_S \exp[-i\delta t]$$

$$d = d_S$$

$$\dot{\rho} = -i\delta \rho_S \exp[-i\delta t] = -i d_S \tilde{\mu} \exp[-i\delta t] - \gamma_{\perp} \rho_S \exp[-i\delta t]$$

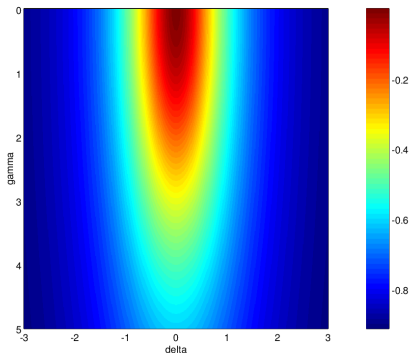
$$\dot{d} = 0 = 4 \operatorname{Im}\{\tilde{\mu}^* \rho_S \exp[i(\delta - \delta)t]\} - \gamma_{\parallel} (d_S + 1)$$

$$\rho_S = -\frac{i\tilde{\mu}}{\gamma_{\perp} - i\delta} d_S$$

$$d_S = -\frac{\gamma_{\parallel} (\gamma_{\perp}^2 + \delta^2)}{4\gamma_{\perp} |\tilde{\mu}|^2 + \gamma_{\parallel} (\gamma_{\perp}^2 + \delta^2)}$$

$$\left. \begin{array}{l} \gamma_{\parallel} = \gamma \\ \gamma_{\perp} = \gamma/4 \end{array} \right\} \rightarrow$$

Nikdy nelze dosáhnout inverze $d > 0$ ve stacionárním režimu, kladná inverze přechodový jev nebo musí být zapojeno více hladin.



ŘEŠENÍ BLOCHOVÝCH ROVNIC

Převod do 3D souřadného systému:

$$q_1 = 2 \operatorname{Re} p$$

$$q_2 = 2 \operatorname{Im} p$$

$$q_3 = d$$

$$\tilde{\mu} \in \mathbb{R} \quad \text{BÚNO}$$

$$\dot{q}_1 = -2 \operatorname{Re} \dot{p} = 2 \operatorname{Re} \{i q_3 \tilde{\mu} (\cos \delta t - i \sin \delta t)\} - \gamma_{\perp} q_1 = -2 \tilde{\mu} q_3 \sin \delta t - \gamma_{\perp} q_1$$

$$\dot{q}_2 = -2 \operatorname{Im} \dot{p} = 2 \operatorname{Im} \{i q_3 \tilde{\mu} (\cos \delta t - i \sin \delta t)\} - \gamma_{\perp} q_2 = -2 \tilde{\mu} q_3 \cos \delta t - \gamma_{\perp} q_2$$

$$\begin{aligned} \dot{q}_3 = 4 \tilde{\mu} \operatorname{Im} \left\{ \left(\frac{q_1}{2} + i \frac{q_2}{2} \right) (\cos \delta t + i \sin \delta t) \right\} - \gamma_{\parallel} (q_3 + 1) = \\ 2 \tilde{\mu} (q_1 \sin \delta t + q_2 \cos \delta t) - \gamma_{\parallel} (q_3 + 1) \end{aligned}$$

Položme $\mathbf{R} = (q_1, q_2, q_3)^T$:

$$\dot{\mathbf{R}} = \boldsymbol{\Omega} \times \mathbf{R} - \boldsymbol{\Gamma} \mathbf{R} + \mathbf{S}$$

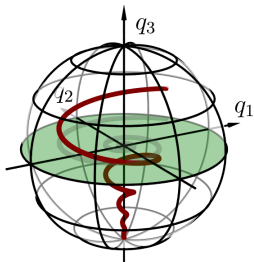
$$\boldsymbol{\Omega} = 2 \tilde{\mu} (\cos \delta t, -\sin \delta t, 0)^T$$

$$\boldsymbol{\Gamma} = \begin{pmatrix} \gamma_{\perp} & 0 & 0 \\ 0 & \gamma_{\perp} & 0 \\ 0 & 0 & \gamma_{\parallel} \end{pmatrix}$$

$$\mathbf{S} = (0, 0, -\gamma_{\parallel})^T$$

ŘEŠENÍ BLOCHOVÝCH ROVNIC

- Blochův vektor ukazuje stav polarizace a inverze včetně fáze.
- Relaxace polarizace a inverze: pohyb směrem k bodu $(0, 0, -1)$ po přímce, zkracování průmětu do roviny $q_1 q_2$.
- Interakce s polem: rotace kolem vektoru Ω .
- Rychlost rotace úměrná velikosti Ω .
- Vektor Ω se otáčí v horizontální rovině s frekvencí δ .
- Úhel opsaný vektorem R určuje délku pulsu, viz π puls dříve.



DYNAMIKA DVOUHLADINOVÉHO SYSTÉMU

Nehomogenně rozšířený systém

- Například atomy plynu v kyvetě (dopplerovské rozšíření), nanostruktury (fluktuace rozměrů).
- Každý dvouhladinový systém svoji energii dipólového přechodu $\hbar\omega_{21}(\ell)$, tedy i své δ_ℓ .
- Pro zjednodušení uvažujeme $\tilde{\mu} = \tilde{\mu}_\ell$ nezávislé na systému.
- Pro každý z individuálních systémů platí Blochovy rovnice.
- Součet polarizací pak dává odezvu systému — (komplexní) makroskopickou polarizaci

$$\tilde{\mathbf{P}}(t) = \mathbf{d}_{12} \sum_{\ell} p_{\ell}(t) = \mathbf{d}_{12} \exp[-i\omega_0 t] \int N(\delta) p(\delta) \exp[i\delta t] d\delta$$

- Pro jednoduchost budeme uvažovat gaussovskou distribuční funkci centrovanou kolem ω_0 :

$$N(\delta) = N_0 \frac{1}{\sigma\sqrt{\pi}} \exp\left[-\frac{\delta^2}{\sigma^2}\right]$$

DYNAMIKA DVOUHLADINOVÉHO SYSTÉMU

Tlumení volné indukce

- Po excitaci velmi krátkým ($\tau\delta \ll 1$) $\pi/2$ pulsem je inverze $d = 0$, polarizace maximální. $p = +i/2$.
- Homogenní systém: makroskopická polarizace osciluje

$$\tilde{\mathbf{P}} = \frac{iN_0\mathbf{d}_{12}}{2} \exp[-i\omega_{21}t]$$

- Nehomogenní systém: fáze jednotlivých příspěvků se v součtu mikroskopických polarizací rozcházejí a postupně průměrují.

$$\begin{aligned}\tilde{\mathbf{P}}(t) &= \mathbf{d}_{12} \exp[-i\omega_0 t] \int N(\delta) p(0) \exp[i\delta t] d\delta = \\ &= \mathbf{d}_{12} \exp[-i\omega_0 t] \int \frac{N_0}{\sigma\sqrt{\pi}} \exp\left[-\frac{\delta^2}{\sigma^2}\right] \frac{i}{2} \exp[i\delta t] d\delta = \\ &= \frac{iN_0\mathbf{d}_{12}}{2\sigma\sqrt{\pi}} \exp[-i\omega_0 t] \int \cos(\delta t) \exp[-\delta^2/\sigma^2] d\delta = \\ &= i \frac{N_0\mathbf{d}_{12}}{2} \exp[-\sigma^2 t^2/4]\end{aligned}$$

- Volná indukce (makroskopická polarizace) je tlumena i v plně koherentním systému.
- Rychlost tlumení při $P(0)/P(1/\Gamma) = e$ je $\Gamma = \sigma/2 \propto \sigma$.

DYNAMIKA DVOUHLADINOVÉHO SYSTÉMU

Fotonové echo

- Použijeme jiný rotující rámec pro vektor \mathbf{R} : $q_1 = 2 \operatorname{Re} \{ \rho \exp[i\delta t] \}$ a $q_2 = 2 \operatorname{Im} \{ \rho \exp[i\delta t] \}$:

$$\Omega = (2\tilde{\mu}, 0, -\delta)$$

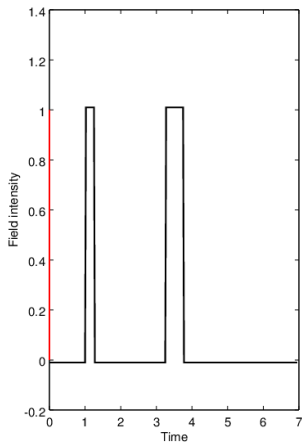
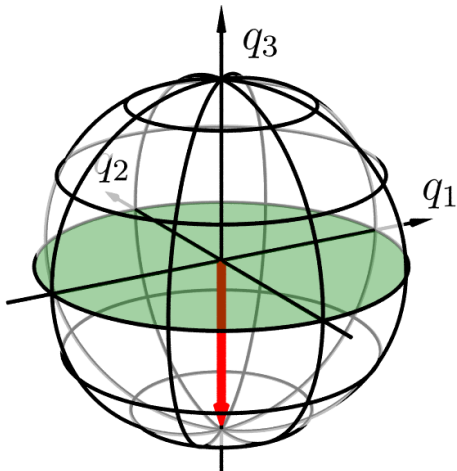
- Složka odpovídající elektromagnetickému poli nerotuje, je ve směru $+q_1$.
- Bez elektromagnetického pole vektor rotuje kolem osy q_3 .
- V tomto rámci je fáze $q_1 + iq_2$ spřažená s elektromagnetickým polem.
- Makroskopická polarizace je potom úměrná prostému součtu složek vektorů \mathbf{R} :

$$\tilde{\mathbf{P}} = \frac{d_{12}}{2} \exp[-i\omega_0 t] \sum_{\ell} [R_1(\ell) + iR_2(\ell)] N_{\ell}$$

- Na Blochově sféře lze znázornit více systémů najednou.
- Sekvence pulsů: $\pi/2$ — tlumení volné indukce po dobu τ — π .
- První puls překlopí polohový vektor do roviny $q_1 q_2$, druhý jej překlopí o 180° opět do roviny $q_1 q_2$.
- Druhý puls překlápí o 180° nezávisle na δ (je to prostá rotace kolem osy q_1).

DYNAMIKA DVOUHLADINOVÉHO SYSTÉMU

Fotonové echo



DYNAMIKA DVOUHLADINOVÉHO SYSTÉMU

Fotonové echo analyticky Po iniciačním $\pi/2$ pulsu ($\tilde{\mu} \gg \delta, \gamma_{\perp}, \gamma_{\parallel} \approx 0$):

$$q_1(t_1) = 0$$

$$q_2(t_1) = 1$$

$$q_3(t_1) = 0$$

Vývoj mezi pulsy:

$$\dot{q}_1 = +\delta q_2 - \gamma_{\perp} q_1$$

$$\dot{q}_2 = -\delta q_1 - \gamma_{\perp} q_2$$

$$\dot{q}_3 = 0$$

$$q_1(t) = \sin [\delta(t - t_1)] \exp [-\gamma_{\perp}(t - t_1)]$$

$$q_2(t) = \cos [\delta(t - t_1)] \exp [-\gamma_{\perp}(t - t_1)]$$

$$q_3(t) = 0$$

Akce druhého pulsu v čase :

$$\dot{q}_1 = 0$$

$$\dot{q}_2 = -2\tilde{\mu} q_3$$

$$\dot{q}_3 = +2\tilde{\mu} q_2$$

$$q_1(t) = \sin [\delta(t - t_1)] \exp [-\gamma_{\perp}(t - t_1)]$$

$$q_2(t) = \cos [\delta(t - t_1)] \exp [-\gamma_{\perp}(t - t_1)] \cos [2\tilde{\mu}(t - t_2)]$$

$$q_3(t) = \cos [\delta(t - t_1)] \exp [-\gamma_{\perp}(t - t_1)] \sin [2\tilde{\mu}(t - t_2)]$$

DYNAMIKA DVOUHLADINOVÉHO SYSTÉMU

$$q_1(t_2) = +\sin [\delta(t_2 - t_1)] \exp [-\gamma_{\perp}(t_2 - t_1)]$$

$$q_2(t_2) = -\cos [\delta(t_2 - t_1)] \exp [-\gamma_{\perp}(t_2 - t_1)]$$

$$q_3(t_2) = 0$$

Další vývoj:

$$\dot{q}_1 = +\delta q_2 - \gamma_{\perp} q_1$$

$$\dot{q}_2 = -\delta q_1 - \gamma_{\perp} q_2$$

$$\dot{q}_3 = 0$$

$$\begin{aligned} q_1(t) &= \left\{ q_1(t_2) \cos [\delta(t-t_2)] + q_2(t_2) \sin [\delta(t-t_2)] \right\} \exp [-\gamma_{\perp}(t-t_2)] = \\ &= \left\{ \sin [\delta(t_2-t_1)] \cos [\delta(t-t_2)] - \cos [\delta(t_2-t_1)] \sin [\delta(t-t_2)] \right\} \exp [-\gamma_{\perp}(t-t_1)] = \\ &= -\sin [\delta(t+t_1-2t_2)] \exp [-\gamma_{\perp}(t-t_1)] \end{aligned}$$

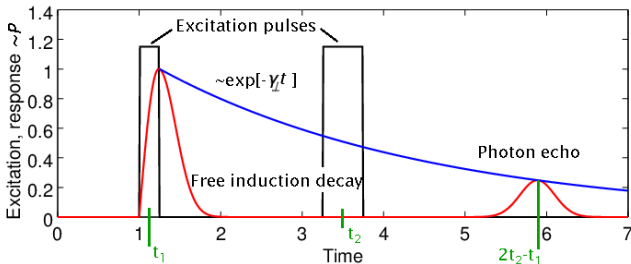
$$\begin{aligned} q_2(t) &= \left\{ -q_1(t_2) \sin [\delta(t-t_2)] + q_2(t_2) \cos [\delta(t-t_2)] \right\} \exp [-\gamma_{\perp}(t-t_2)] = \\ &= \left\{ -\sin [\delta(t_2-t_1)] \sin [\delta(t-t_2)] - \cos [\delta(t_2-t_1)] \cos [\delta(t-t_2)] \right\} \exp [-\gamma_{\perp}(t-t_1)] = \\ &= -\cos [\delta(t+t_1-2t_2)] \exp [-\gamma_{\perp}(t-t_1)] \end{aligned}$$

$$q_3(t) = 0$$

DYNAMIKA DVOUHLADINOVÉHO SYSTÉMU

$$\begin{aligned} \tilde{P}(t) \exp [i\omega_0 t] &= - \int \frac{N_0 \mathbf{d}_{12}}{\sigma \sqrt{\pi}} \left\{ \sin [\delta(t + t_1 - 2t_2)] + i \cos [\delta(t + t_1 - 2t_2)] \right\} \cdot \\ &\cdot \exp \left[-\frac{\delta^2}{\sigma^2} \right] \exp [-\gamma_{\perp}(t-t_1)] d\delta = \\ &= -iN_0 \mathbf{d}_{12} \exp [-\sigma^2((t-t_2) - \tau)^2/4] \exp [-\gamma_{\perp}(t-t_1)] \end{aligned}$$

- V čase $\tau = t_2 - t_1$ po druhém pulsu se částečně zrekonstruuje polarizace ve tvaru odpovídajícím tlumení volné indukce.
- Plocha druhotné emise $\int |P|^2$ klesá $\propto \exp[-2\gamma_{\perp} t]$, a tedy $\propto \exp[-4\gamma_{\perp} \tau]$ neboť maximum je v čase $t_{\text{MAX}} + t_1 - 2t_2 = 0 \Rightarrow t_{\text{MAX}} = t_1 + 2\tau$.
- Přímé měření rychlosti rozfázování excitací a sondování (obvykle $\gamma_{\perp} \gg \gamma_{\parallel}$).



MAXWELLOVY–BLOCHOVY ROVNICE

$$\begin{aligned} \nabla \cdot \mathbf{D} = 0 & \quad \nabla \times \mathbf{E} = -\frac{\partial \mathbf{B}}{\partial t} & \quad \mathbf{D} = \epsilon \mathbf{E} + \mathbf{P} \\ \nabla \cdot \mathbf{B} = 0 & \quad \nabla \times \mathbf{H} = \mathbf{j} + \frac{\partial \mathbf{D}}{\partial t} & \quad \mathbf{B} = \mu_0 \mathbf{H} \\ & \quad c^{-2} = \mu_0 \epsilon_0 & \quad \mathbf{j} = \sigma \mathbf{E} \end{aligned}$$

$$\nabla \times \nabla \times \mathbf{E} = -\Delta \mathbf{E} = -\mu_0 \partial_t \mathbf{j} - \mu_0 \partial_t^2 \mathbf{D} = -\mu_0 \sigma \dot{\mathbf{E}} - \mu_0 \ddot{\mathbf{P}} - \mu_0 \epsilon \ddot{\mathbf{E}}$$

$$\begin{aligned} \Delta \mathbf{E} - \mu_0 \sigma \dot{\mathbf{E}} - \frac{n^2}{c^2} \ddot{\mathbf{E}} &= \mu_0 \ddot{\mathbf{P}} \\ \mathbf{P}(t) &= \mathbf{d}_{12} \exp[-i\omega_0 t] \int N(\delta) \rho(\delta) \exp[i\delta t] d\delta + \text{c.c.} \\ \dot{\rho} &= -\frac{id}{\hbar} (\mathbf{d}_{21} \cdot \mathbf{E}) \exp[i\omega_0 t] \exp[-i\delta t] - \gamma_{\perp} \rho \\ \dot{d} &= \frac{4}{\hbar} \text{Im} \{ (\mathbf{d}_{21} \cdot \mathbf{E}^*) \rho \exp[-i\omega_0 t] \exp[+i\delta t] \} - \gamma_{\parallel} (d+1) \\ \delta &= \omega_0 - \omega_{21} \end{aligned}$$

Maxwellovy–Blochovy rovnice

- Interakce pole s elektronem ovlivňuje elektromagnetické pole.
- Zvláště významné při malém počtu fotonů srovnatelném s počtem elektronů.
- Započítaná i dynamika vyzařování fotonů.
- Sekundárně vyzářené fotony mohou být opět absorbovány — oscilace.

Odvození semiklasických laserových rovnic

- Klasické elektromagnetické pole, budeme používat komplexní amplitudy:

$$\mathbf{E} = \tilde{\mathcal{E}}(t) \exp[-i\omega t] + \text{c.c.}$$

$$\mathbf{P} = \tilde{\mathcal{P}}(t) \exp[-i\omega t] + \text{c.c.}$$

(POZOR! $\tilde{\mathcal{E}}(t)$ je pomalu se měnící obálka, kdežto $\tilde{\mathbf{E}}$ byla v dvouhladinovém modelu v čase konstantní amplituda.)

- Pole není monochromatické, proto frekvence ω může být libovolně zvolená, chybí jí tedy index „0“.
- Atomy budeme indexovat s pomocí indexu μ , pro každý označíme $\omega_\mu = \omega_{21}$.
- Polarizace atomů p_μ bude v pomalu rotujícím rámci na frekvenci ω_μ .
- Zavedeme rozdílovou frekvenci $\delta_\mu = \omega - \omega_\mu$.

SEMIKLASICKÉ ROVNICE

Mody elektromagnetického pole

$$\ddot{\mathbf{E}} + \frac{c^2}{n^2} \mu_0 \sigma \dot{\mathbf{E}} - \frac{c^2}{n^2} \Delta \mathbf{E} = -\frac{c^2}{n^2} \mu_0 \ddot{\mathbf{P}}$$

$$\mu_0 \frac{c^2}{n^2} = \frac{1}{\epsilon}$$

$$\ddot{\mathbf{E}} + \frac{\sigma}{\epsilon} \dot{\mathbf{E}} - \frac{1}{\mu_0 \epsilon} \Delta \mathbf{E} = -\frac{1}{\epsilon} \ddot{\mathbf{P}}$$

Vlastní mody (tj. řešení Maxwellových rovnic se započítáním okrajových podmínek) mají definované frekvence ω_λ , jejich normované amplitudy u_λ splňují (aproximace):

$$\left[\Delta + \mu_0 \epsilon_\lambda \omega_\lambda^2 \right] u_\lambda(\mathbf{x}) = 0 \quad u_\lambda \in \mathbb{R}$$

Separace proměnných:

$$\mathbf{E}(\mathbf{x}, t) = \sum_{\lambda} \mathbf{e}_\lambda E_\lambda(t) u_\lambda(\mathbf{x})$$

λ je multiindex zahrnující polarizaci, příčné i podélné mody a vektor \mathbf{e}_λ je jednotkový polarizační vektor modu λ . Rozměr amplitudy E_λ není V/m jako u intenzity elektrického pole, ale kvůli normování $V\sqrt{\text{m}}$.

SEMIKLASICKÉ ROVNICE

Dosadíme do vlnové rovnice za \mathbf{E} , označíme $\gamma_{c\lambda} = \sigma_{\lambda}/\epsilon_{\lambda}$ a dosadíme za Δu_{λ} :

$$\ddot{\mathbf{E}} + \frac{\sigma}{\epsilon} \dot{\mathbf{E}} - \frac{1}{\mu_0 \epsilon} \Delta \mathbf{E} = -\frac{1}{\epsilon} \ddot{\mathbf{P}}$$

$$\sum_{\lambda'} \mathbf{e}_{\lambda'} u_{\lambda'} \left[\ddot{E}_{\lambda'} + \gamma_{c\lambda'} \dot{E}_{\lambda'} + \omega_{\lambda'}^2 E_{\lambda'} \right] = -\frac{1}{\epsilon} \ddot{\mathbf{P}} \quad / \int \mathbf{e}_{\lambda} u_{\lambda}(\mathbf{x}) d\mathbf{x}$$

$$\ddot{E}_{\lambda}(t) + \gamma_{c\lambda} \dot{E}_{\lambda}(t) + \omega_{\lambda}^2 E_{\lambda}(t) = - \int \frac{u_{\lambda}(\mathbf{x})}{\epsilon} (\mathbf{e}_{\lambda} \cdot \ddot{\mathbf{P}}(\mathbf{x}, t)) d\mathbf{x}$$

Prostorová rozložení hustoty atomu s indexem μ :

$$\rho(\mathbf{x}) = \delta(\mathbf{x} - \mathbf{x}_{\mu})$$

Makroskopická polarizace:

$$\mathbf{P}(\mathbf{x}, t) = \sum_{\mu} \mathbf{d}_{12}^{\mu} p_{\mu}(t) \delta(\mathbf{x} - \mathbf{x}_{\mu}) \exp[-i\omega_{\mu} t] + \text{c.c.}$$

Dosazením do pravé strany vlnové rovnice:

$$- \int \frac{u_{\lambda}(\mathbf{x})}{\epsilon} (\mathbf{e}_{\lambda} \cdot \ddot{\mathbf{P}}(\mathbf{x}, t)) d\mathbf{x} = - \sum_{\mu} \frac{g_{\mu\lambda}}{\epsilon} \left\{ p_{\mu}(t) \exp[-i\omega_{\mu} t] + \text{c.c.} \right\}''$$

$$g_{\mu\lambda} = \int u_{\lambda}(\mathbf{x}) \delta(\mathbf{x} - \mathbf{x}_{\mu}) (\mathbf{e}_{\lambda} \cdot \mathbf{d}_{12}^{\mu}) d\mathbf{x} = u_{\lambda}(\mathbf{x}_{\mu}) (\mathbf{e}_{\lambda} \cdot \mathbf{d}_{12}^{\mu})$$

SEMIKLASICKÉ ROVNICE

- Tímto postupem jsme se zbavili prostorových závislostí a převedli jsme diferenciální rovnici 2. řádu (Laplaceův operátor) na soustavu rovnic se sumou.
- Index λ nutně musí obsahovat i paritu v otevřeném systému, tj. zda je řešení symetrické (cos) nebo antisymetrické (sin).
- V uzavřeném systému se vybere parita podle symetrie okrajových podmínek, mody jsou tak degenerované pouze v polarizaci.
- Postup je aproximativní: definice vlastních modů je správně pouze se zahrnutím okrajových podmínek daných geometrií pasivních prvků (zrcadel apod.).
- Každý atom (zdroj) ale definuje novou okrajovou podmínku a narušuje tak symetrii, pro kterou jsou definované vlastní mody.
- Například zdroj v bodě $x = 0$ v 1D problému generuje pole $\propto \cos(\omega t - k|x|)$, což není superpozice vlastních modů $\cos(\omega t \pm kx)$ a $\sin(\omega t \pm kx)$.
- V laserové dutině, která je téměř uzavřená (malá propustnost zrcadel) je přiblížení vlastních modů v pořádku, pokud se zajímáme o charakteristiky výstupního záření.
- Pro výpočet rozložení pole uvnitř dutiny by bylo nutné uvážit plnou symetrii, prostorové derivace není možné se zbavit úplně.
- Okrajové podmínky jsou definované jakoby dutina byla uzavřená, tj. odrazivost zrcadel 100%.
- Vyzařování laseru resp. průnik vnějších polí skrz výstupní zrcadlo bereme jako ztráty pole resp. řízení zdrojovým členem, chybu plynoucí z narušení symetrie přítomností výstupního zrcadla zanedbáváme stejně jako v případě atomů.

SEMIKLASICKÉ ROVNICE

- Uvažujeme $\mathbf{d}_{12}^\mu, \mathbf{e}_\lambda \in \mathbb{C}$ — kruhově-polarizační pasivní prvky v dutině, magnetické pole, ...
- Dosadíme pomalu se měnící komplexní obálky:

$$\begin{aligned}
 & \left(-\omega^2 \tilde{\mathcal{E}}_\lambda - 2i\omega \dot{\tilde{\mathcal{E}}}_\lambda + \ddot{\tilde{\mathcal{E}}}_\lambda\right) e^{-i\omega t} + \left(-\omega^2 \tilde{\mathcal{E}}_\lambda^* + 2i\omega \dot{\tilde{\mathcal{E}}}_\lambda^* + \ddot{\tilde{\mathcal{E}}}_\lambda^*\right) e^{+i\omega t} + \\
 & + \left(-i\omega \gamma_{c\lambda} \tilde{\mathcal{E}}_\lambda + \gamma_{c\lambda} \dot{\tilde{\mathcal{E}}}_\lambda\right) e^{-i\omega t} + \left(+i\omega \gamma_{c\lambda} \tilde{\mathcal{E}}_\lambda^* + \gamma_{c\lambda} \dot{\tilde{\mathcal{E}}}_\lambda^*\right) e^{+i\omega t} + \\
 & + \omega_\lambda^2 \tilde{\mathcal{E}}_\lambda e^{-i\omega t} + \omega_\lambda^2 \tilde{\mathcal{E}}_\lambda^* e^{+i\omega t} = \\
 & = -\frac{1}{\epsilon} \sum_\mu \tilde{g}_{\mu\lambda}^* \left(-\omega_\mu^2 \mathbf{p}_\mu - 2i\omega_\mu \dot{\mathbf{p}}_\mu + \ddot{\mathbf{p}}_\mu\right) e^{-i\omega_\mu t} - \\
 & \quad -\frac{1}{\epsilon} \sum_\mu \tilde{g}_{\mu\lambda} \left(-\omega_\mu^2 \mathbf{p}_\mu^* + 2i\omega_\mu \dot{\mathbf{p}}_\mu^* + \ddot{\mathbf{p}}_\mu^*\right) e^{+i\omega_\mu t} \\
 & \tilde{g}_{\mu\lambda} = u_\lambda(\mathbf{x}_\mu) \left(\mathbf{e}_\lambda \cdot \mathbf{d}_{21}^\mu\right)
 \end{aligned}$$

- Pomalu měnící se obálka splňuje $|\dot{\tilde{\mathcal{E}}}_\lambda| \ll \omega_\lambda |\tilde{\mathcal{E}}_\lambda|$.
- Můžeme separovat kladnou a zápornou frekvenci, rovnice pro ně jsou komplexně sdružené.
- První derivace v prvním členu není možné se zbavit, neboť musíme vzít do úvahy i poslední člen před závorkou:

$$\left|(\omega_\lambda^2 - \omega^2) \tilde{\mathcal{E}}_\lambda\right| \ll \omega_\lambda^2 |\tilde{\mathcal{E}}_\lambda| \gg \omega |\dot{\tilde{\mathcal{E}}}_\lambda|$$

SEMIKLASICKÉ ROVNICE

- Aplikujeme *aproximaci pomalu se měnící obálky* (Slowly Varying Envelope Approximation): zanedbání relevantních vyšších derivací.
- Aplikujeme *aproximaci rotující vlny* (Rotating Wave Approximation): uvážíme $\omega \approx \omega_\lambda \approx \omega_\mu$ a do kladné frekvence pole započítáme pouze příspěvek kladné frekvence polarizace.

$$\left[-\omega^2 \tilde{\mathcal{E}}_\lambda - 2i\omega \dot{\tilde{\mathcal{E}}}_\lambda - i\omega\gamma_{c\lambda} \tilde{\mathcal{E}}_\lambda + \omega_\lambda^2 \tilde{\mathcal{E}}_\lambda \right] e^{-i\omega t} = \frac{\omega_\mu^2}{\epsilon} \sum_{\mu} \tilde{g}_{\mu\lambda}^* p_\mu e^{-i\omega_\mu t}$$

- Rovnici vydělíme $2i\omega$ a $\omega_\lambda/\omega = \omega_\mu/\omega = 1$.
- $\omega_\lambda^2 - \omega^2 \approx 2\omega(\omega_\lambda - \omega)$:

$$\begin{aligned} \dot{\tilde{\mathcal{E}}}_\lambda &= \left[i(\omega - \omega_\lambda) - \frac{\gamma_{c\lambda}}{2} \right] \tilde{\mathcal{E}}_\lambda + \frac{i\omega}{2\epsilon} \tilde{g}_{\mu\lambda}^* p_\mu e^{i\delta_\mu t} \\ \dot{p}_\mu &= -\frac{i}{\hbar} \tilde{g}_{\mu\lambda} \tilde{\mathcal{E}}_\lambda d_\mu e^{-i\delta_\mu t} - \gamma_\perp p_\mu \\ \dot{d}_\mu &= \frac{4}{\hbar} \text{Im} \left\{ \tilde{g}_{\mu\lambda}^* \tilde{\mathcal{E}}_\lambda^* p_\mu e^{i\delta_\mu t} \right\} - (d_\mu - d_{\mu 0})/T \end{aligned}$$

Semiklasické laserové rovnice

- $d_{\mu 0} \neq -1$: tento člen zohledňuje termální rozdělení a čerpání, je to nesaturovaná inverze jako v klasických rovnicích.
- Relaxační dobu γ_\parallel nahradíme relaxační dobou inverze $1/T = \gamma_\parallel + w_{21}$ (w_{21} je rychlost čerpání).

ODVOZENÍ KLASICKÝCH ROVNIC

Odvození klasických laserových rovnic

- Uvažujme jeden mod, jeden typ atomů, oscilace na frekvenci fotonového modu: $\omega = \omega_\lambda$.
- Pole i atomy v rotujícím rámci s frekvencí ω .

$$\dot{\tilde{\mathcal{E}}} = -\frac{\gamma_c}{2}\tilde{\mathcal{E}} + \frac{i\omega N_0}{2\epsilon}\tilde{g}^* p$$

$$\dot{p} = -\frac{i}{\hbar}\tilde{g}\tilde{\mathcal{E}}d - \gamma_\perp p + i\delta p$$

$$\dot{d} = \frac{4}{\hbar} \text{Im}\{\tilde{g}^* \tilde{\mathcal{E}}^* p\} - (d - d_0)/T$$

- Polarizace kvazistatická: sleduje pole, nemá paměť (je silně tlumená):

$$\dot{p} = 0 \quad \rightarrow \quad p(t) = -\frac{i\tilde{g}\tilde{\mathcal{E}}(t)d(t)}{\hbar(\gamma_\perp - i\delta)}$$

ODVOZENÍ KLASICKÝCH ROVNIC

Dosadíme do rovnice pro inverzi a intenzitu:

$$\begin{aligned} \dot{d} + (d - d_0)/T &= \frac{4|\tilde{g}|^2|\tilde{\mathcal{E}}|^2 d}{\hbar^2} \operatorname{Im} \frac{-i}{\gamma_{\perp} - i\delta} = -\frac{4|\tilde{g}|^2}{\hbar^2} \frac{\gamma_{\perp}}{\gamma_{\perp}^2 + \delta^2} |\tilde{\mathcal{E}}|^2 d \\ \partial_t |\tilde{\mathcal{E}}|^2 &= \tilde{\mathcal{E}}\dot{\tilde{\mathcal{E}}}^* + \dot{\tilde{\mathcal{E}}}\tilde{\mathcal{E}}^* = -\frac{\gamma_c}{2} (\tilde{\mathcal{E}}\tilde{\mathcal{E}}^* + \tilde{\mathcal{E}}^*\tilde{\mathcal{E}}) + \frac{i\omega N_0}{2\epsilon} (\tilde{g}^* p \tilde{\mathcal{E}}^* - \tilde{g} p^* \tilde{\mathcal{E}}) = \\ &= -\gamma_c |\tilde{\mathcal{E}}|^2 + \frac{\omega N_0}{2\epsilon} \frac{|\tilde{g}|^2 |\tilde{\mathcal{E}}|^2}{\hbar} d \left(\frac{1}{\gamma_{\perp} - i\delta} + \frac{1}{\gamma_{\perp} + i\delta} \right) = \\ &= -\gamma_c |\tilde{\mathcal{E}}|^2 + \frac{\omega N_0}{\epsilon} \frac{|\tilde{g}|^2}{\hbar} \frac{\gamma_{\perp}}{\gamma_{\perp}^2 + \delta^2} |\tilde{\mathcal{E}}|^2 d \end{aligned}$$

Struktura podobná klasickým rovnicím:

$$\begin{aligned} \dot{D} &= (D_0 - D) \frac{1}{T} - 2BDn \\ \dot{n} &= BDn - 2\gamma n \end{aligned}$$

ODVOZENÍ KLASICKÝCH ROVNIC

Počet fotonů — hustota toku energie:

$$\begin{aligned}
 \langle S \rangle &= \langle |\mathbf{E} \times \mathbf{H}| \rangle = \frac{n_0 c \epsilon_0}{2} |\mathbf{E}|^2 = 2n_0 c \epsilon_0 |\tilde{\mathcal{E}}|^2 \underbrace{|u_\lambda|^2}_{\approx 1/L^3} = \\
 &= \underbrace{\frac{n}{L^3}}_{\text{hustota fotonů}} \underbrace{\frac{\hbar \omega c}{n_0}}_{\text{tok energie}} \Rightarrow n = \frac{2\epsilon}{\hbar \omega} |\tilde{\mathcal{E}}|^2
 \end{aligned}$$

Po dosazení a definici:

$$2\gamma = \gamma_c$$

$$B = \frac{\omega |\tilde{\mathcal{G}}|^2}{\hbar \epsilon} \frac{\gamma_\perp}{\gamma_\perp^2 + \delta^2}$$

$$D = N_0 d$$

$$\dot{D} - \frac{(D_0 - D)}{T} = -2BDn$$

$$\dot{n} = -2\gamma n + BDn$$

q.e.d.

ODVOZENÍ FREKVENCE OSCILACÍ

Výpočet frekvence oscilací při $\omega_\lambda \neq \omega_\mu$

- Jeden mod, jeden druh atomů.
- Optický mod a atomy nejsou v rezonanci, otázkou je, na jaké energii laser osciluje.
- Silně nelineární systém, oscilace mohou být na frekvenci odlišné od ω_λ a ω_μ .
- Laserové rovnice pro homogenní systém a jeden mod, podobně jako u odvození klasických rovnic, ale $\omega \neq \omega_\lambda$, vše osciluje na frekvenci ω :

$$\dot{\tilde{\mathcal{E}}} = \left[i(\omega - \omega_\lambda) - \frac{\gamma_c}{2} \right] \tilde{\mathcal{E}} + \frac{i\omega N_0}{2\epsilon} \tilde{g}^* p$$

$$\dot{p} = -\frac{i}{\hbar} \tilde{g} \tilde{\mathcal{E}} d - \gamma_\perp p + i\delta p$$

$$\dot{d} = \frac{4}{\hbar} \text{Im} \{ \tilde{g}^* \tilde{\mathcal{E}}^* p \} - (d - d_0)/T$$

- Stacionární řešení: $\dot{\tilde{\mathcal{E}}} = \dot{p} = \dot{d} = 0$.
- Rovnice pro $|\tilde{\mathcal{E}}|^2$ stejně jako u odvození klasických rovnic:

ODVOZENÍ FREKVENCE OSCILACÍ

$$\frac{d}{dt} |\tilde{\mathcal{E}}|^2 = 0 = -\gamma_c |\tilde{\mathcal{E}}|^2 + \frac{\omega N_0}{\epsilon} \frac{|\tilde{g}|^2}{\hbar} \frac{\gamma_{\perp}}{\gamma_{\perp}^2 + \delta^2} |\tilde{\mathcal{E}}|^2 d \Rightarrow d = \frac{\gamma_c \epsilon \hbar (\gamma_{\perp}^2 + \delta^2)}{|\tilde{g}|^2 \omega N_0 \gamma_{\perp}}$$

$$\dot{p} = 0 \Rightarrow p = -\frac{i\tilde{g}\tilde{\mathcal{E}}(t)d(t)}{\hbar(\gamma_{\perp} - i\delta)}$$

$$\dot{\tilde{\mathcal{E}}} = 0 = \left[i(\omega - \omega_{\lambda}) - \frac{\gamma_c}{2} \right] \tilde{\mathcal{E}} + \frac{i\omega N_0}{2\epsilon} \tilde{g}^* (-i) \frac{\tilde{g}\tilde{\mathcal{E}}}{\hbar(\gamma_{\perp} - i\delta)} \frac{\gamma_c \epsilon \hbar (\gamma_{\perp}^2 + \delta^2)}{|\tilde{g}|^2 \omega N_0 \gamma_{\perp}}$$

↓

$$\gamma_c - 2i(\omega - \omega_{\lambda}) = \frac{\gamma_c(\gamma_{\perp} + i\delta)}{\gamma_{\perp}} \quad (\delta = \omega - \omega_{\mu})$$

$$\bar{\omega} = \frac{\gamma_c \omega_{\mu} + 2\gamma_{\perp} \omega_{\lambda}}{\gamma_c + 2\gamma_{\perp}}$$

- Ve stacionárním režimu, kdy je inverze saturovaná a pole je s ní v rovnováze, je frekvence daná váženým průměrem, váhy jsou dány ztrátami.
- Mimo rovnováhu může laser oscilovat i na jiné frekvenci, jedná se o přechodový jev.

PORUCHOVÁ ŘADA

Řešení rovnic poruchovou řadou

- Chceme řešit laserové rovnice, ty jsou ale nelineární, provedeme proto nějakým způsobem linearizaci.
- Budeme předpokládat $\tilde{g}_{\mu\lambda} \leq \gamma_j$, potom můžeme použít poruchový výpočet (do libovolného řádu).

$$\tilde{\mathcal{E}} = \tilde{\mathcal{E}}^{(0)} + \tilde{\mathcal{E}}^{(1)} + \tilde{\mathcal{E}}^{(2)} + \dots$$

$$p = p^{(0)} + p^{(1)} + p^{(2)} + \dots$$

$$d = d^{(0)} + d^{(1)} + d^{(2)} + \dots$$

- Symbolicky zapíšeme laserové rovnice, vynecháme zatím indexy λ a μ .
- Symbol ξ je parametr síly vazby mezi členy v rovnicích.

$$\dot{\tilde{\mathcal{E}}} = \Theta_{\mathcal{E}} \tilde{\mathcal{E}} + \xi \Sigma_{\mathcal{E}} p$$

$$\dot{p} = \Theta_p p + \xi \Sigma_p \tilde{\mathcal{E}} d$$

$$\dot{d} = \Theta_d (d - d_0) + \xi \text{Im} \Sigma_d p \tilde{\mathcal{E}}^*$$

PORUCHOVÁ ŘADA

- Po dosažení pro amplitudu elektrického pole:

$$\begin{aligned}\dot{\tilde{\mathcal{E}}}^{(0)} + \dot{\tilde{\mathcal{E}}}^{(1)} + \dot{\tilde{\mathcal{E}}}^{(2)} + \dots &= \Theta_{\mathcal{E}}\tilde{\mathcal{E}}(0) + \Theta_{\mathcal{E}}\tilde{\mathcal{E}}(1) + \Theta_{\mathcal{E}}\tilde{\mathcal{E}}(2) + \dots \\ &+ \xi\Sigma_{\mathcal{E}}\rho^{(0)} + \xi\Sigma_{\mathcal{E}}\rho^{(1)} + \xi\Sigma_{\mathcal{E}}\rho^{(2)} + \dots\end{aligned}$$

- Srovnáváme vždy členy stejné velikosti v mocnině ξ .
- Počáteční podmínka $\tilde{\mathcal{E}}(t=0) = \tilde{\mathcal{E}}^{(0)}(t=0)$, a tedy $\tilde{\mathcal{E}}^{(j)}(t=0) = 0$ pro $j > 0$.
- Podobně pro $\rho^{(j)}$ a $d^{(j)}$.

$$\begin{aligned}\dot{\tilde{\mathcal{E}}}^{(j)} &= \Theta_{\mathcal{E}}\tilde{\mathcal{E}}^{(j)} + \xi\Sigma_{\mathcal{E}}\rho^{(j-1)} \\ \dot{\rho}^{(j)} &= \Theta_{\rho}\rho^{(j)} + \xi\Sigma_{\rho}\sum_{\ell} \left[\tilde{\mathcal{E}}^{(\ell)} d^{(j-\ell-1)} \right] \\ \dot{d}^{(j)} &= \Theta_d \left[d^{(j)} - d_0\delta_{j,0} \right] + \xi\sum_{\ell} \text{Im}\Sigma_d \tilde{\mathcal{E}}^{*(\ell)} \rho^{(j-\ell-1)}\end{aligned}$$

Stabilita pole — kvazistacionární řešení poruchovou řadou

- Vypočítáme poruchovou řadou, jak optické pole ovlivňuje samo sebe skrze načerpané aktivní prostředí.
- Pro zjednodušení budeme v rezonanci $\omega = \omega_\lambda = \omega_\mu$.
- Počáteční podmínka je nesaturovaná inverze $d^{(0)}(0) = d_0$ a $p^{(0)}(0) = 0$.
- Koeficient malosti \tilde{g} malý, ale zdrojový člen pro pole $\omega N_0/2\epsilon$ naopak velký, poruchový počet pro pole nelze aplikovat.
- Dynamika pole pomalá oproti atomům:
- Rychlost světla $c = 300 \mu\text{m}/\text{ps}$, s uvažováním indexu lomu a délky rezonátoru $\approx 1\text{m}$ je doba oběhu řádově desítky ns, což je horní odhad pro $1/\gamma_c$.
- Běžné relaxační doby $\gamma_\perp \approx 0.1 - 10 \text{ ps}$, $T \approx 1 \text{ ns}$.
- Použijeme kvazistacionární řešení, polarizace i inverze rychle reagují na změny pole.

$$\begin{aligned} \dot{\tilde{\mathcal{E}}} &= -\frac{\gamma_c}{2}\tilde{\mathcal{E}} + \frac{i\omega N_0}{2\epsilon}\tilde{g}^* \left(p^{(1)} + p^{(3)} + \dots \right) \\ \dot{p}^{(1)} &= -\gamma_\perp p^{(1)} - \frac{i}{\hbar}\tilde{g}\tilde{\mathcal{E}}d^{(0)} \\ \dot{p}^{(3)} &= -\gamma_\perp p^{(3)} - \frac{i}{\hbar}\tilde{g}\tilde{\mathcal{E}}d^{(0)} - \frac{i}{\hbar}\tilde{g}\tilde{\mathcal{E}}d^{(2)} \\ \dot{d}^{(0)} &= 0 \\ \dot{d}^{(2)} &= -d^{(2)}/T + \frac{4}{\hbar}\text{Im}\tilde{g}^*\tilde{\mathcal{E}}^*p^{(1)} \end{aligned}$$

PORUCHOVÁ ŘADA

- Budeme předpokládat, že poruchová řada konverguje.
- Provedeme výpočet až do 3. řádu v amplitudě elektrického pole.
- Výpočet lze vždy zpřesnit přidáním vyšších členů.

$$d^{(0)} = d_0$$

$$\dot{p}^{(1)} = 0$$

$$p^{(1)} = -\frac{i\tilde{g}}{\hbar\gamma_{\perp}}\tilde{\mathcal{E}}d_0$$

$$d^{(2)} = -\frac{4Td_0|\tilde{g}|^2|\tilde{\mathcal{E}}|^2}{\hbar^2\gamma_{\perp}}$$

$$p^{(3)} = \frac{4iTd_0|\tilde{g}|^2\tilde{g}|\tilde{\mathcal{E}}|^2\tilde{\mathcal{E}}}{\hbar^3\gamma_{\perp}^2}$$

PORUCHOVÁ ŘADA

$$\begin{aligned}\dot{\tilde{\mathcal{E}}} &= -\frac{\gamma_c}{2}\tilde{\mathcal{E}} + \frac{\omega N_0 |\tilde{g}|^2 d_0}{2\hbar\epsilon\gamma_\perp}\tilde{\mathcal{E}} - \frac{2\omega N_0 T |\tilde{g}|^4 d_0}{\hbar^3\epsilon\gamma_\perp^2}|\tilde{\mathcal{E}}|^2\tilde{\mathcal{E}} = \\ &= -\gamma\tilde{\mathcal{E}} + \frac{1}{2}BD_0\tilde{\mathcal{E}} - 2BD_0\frac{|\tilde{g}|^2 T}{\hbar^2\gamma_\perp}|\tilde{\mathcal{E}}|^2\tilde{\mathcal{E}}\end{aligned}$$

- První dva členy: klasické laserové rovnice.
- Poslední člen: vliv nelinearity, self-modulace pole.
- Mechanický model z 2. Newtonova zákona:

$$m\ddot{x} + \sigma\dot{x} = F(x)$$

- Okamžitá reakce na sílu: $m = 0$, pohyb není zpomalován setrvačnou hmotností, ale třením.
- Pohyb v potenciálu:

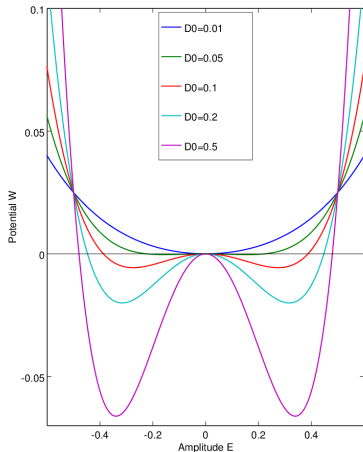
$$F(x) = -V'(x)$$

- Amplituda pole se tedy pohybuje v pseudopoteniciálu:

$$W(\tilde{\mathcal{E}}) = -\frac{BD_0 - 2\gamma}{4}|\tilde{\mathcal{E}}|^2 + \frac{BD_0|\tilde{g}|^2 T}{2\hbar^2\gamma_\perp}|\tilde{\mathcal{E}}|^4$$

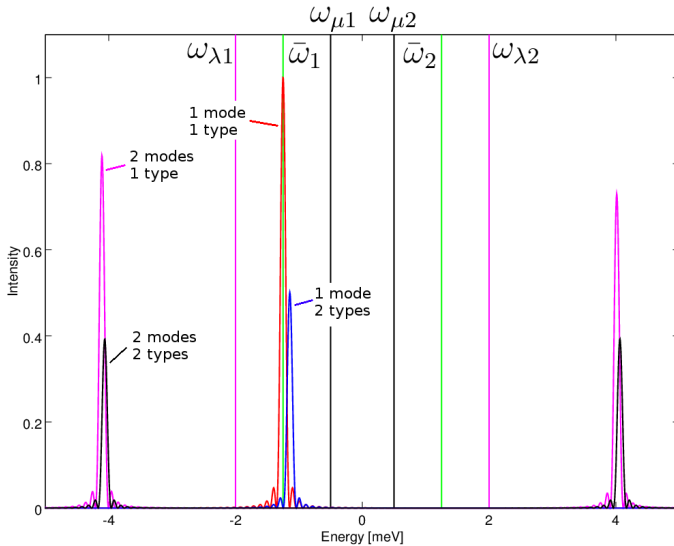
PORUCHOVÁ ŘADA

- Pod prahem $BD_0 < 2\gamma$: parabola, pole směřuje asymptoticky do počátku.
- Exponenciální pokles amplitudy, rovnovážná poloha bez fotonů.
- Nad prahem $BD_0 > 2\gamma$: postranní minima, která se s rostoucí nesaturovanou inverzí vzdalují.
- Stacionární stav: amplituda leží v minimu, s rostoucím čerpáním roste amplituda pole (vzdálenost od počátku).
- Stav $\tilde{\mathcal{E}} = 0$ je stacionární, ale nestabilní, po prvotním impulsu (spontánně vyzářený foton) spěje systém do stabilní polohy.



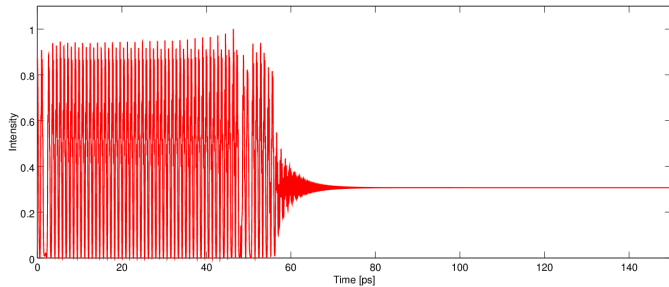
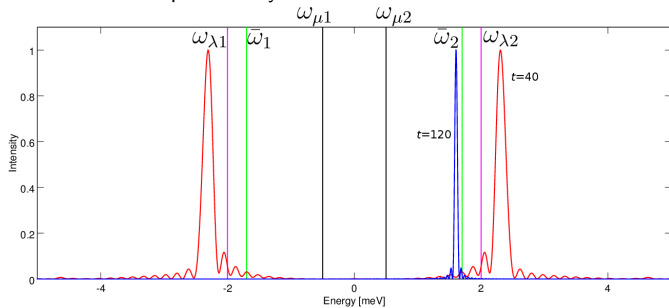
NUMERICKÉ VÝSLEDKY

Jedno- a vícemodový režim, jeden a více druhů atomů.



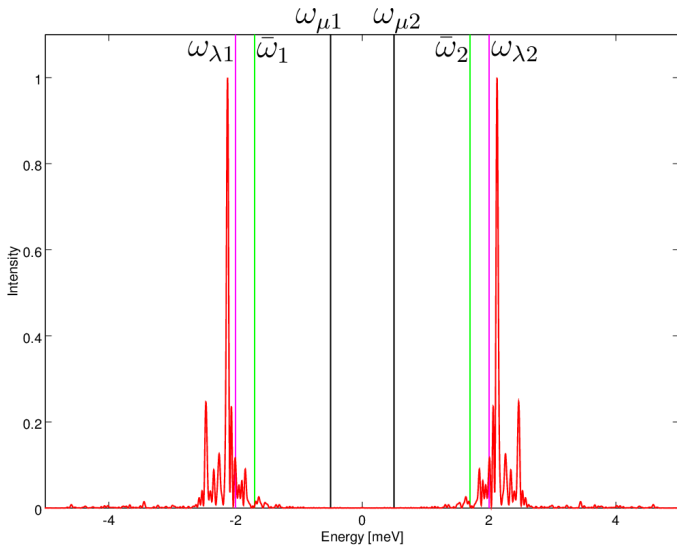
NUMERICKÉ VÝSLEDKY

„Vyžírání inverze“ mírně preferovaným modem.



NUMERICKÉ VÝSLEDKY

Chaotické chování.



VLNOVÉ SMĚŠOVÁNÍ

Vlnové směšování, nerezonantní frekvence

- Uvažujme homogenní systém s jedním druhem atomů, ale se dvěma mody elektromagnetického pole $\lambda = 1, 2$.
- Neporušené frekvence fotonového modu $\omega_{1,2}$, skutečné $\Omega_{1,2}$ a $\Delta_{1,2} = \Omega_{1,2} - \omega_{\mu}$.
- Pokud jeden z modů prázdný, frekvence druhého modu se řídí rovnicí odvozenou dříve (je nezávislá na prázdném modu).
- Oba mody obsazené fotony — saturovaná inverze se liší od jednomodového případu (nelineární vazba mezi mody) a interakce modů způsobí oscilace na frekvencích posunutých od jednomodových řešení.
- 1. a další řády teorie poruch:

$$p^{(1)} \propto \tilde{\mathcal{E}}_1 \exp [i\Delta_1 t] + \tilde{\mathcal{E}}_2 \exp [i\Delta_2 t]$$

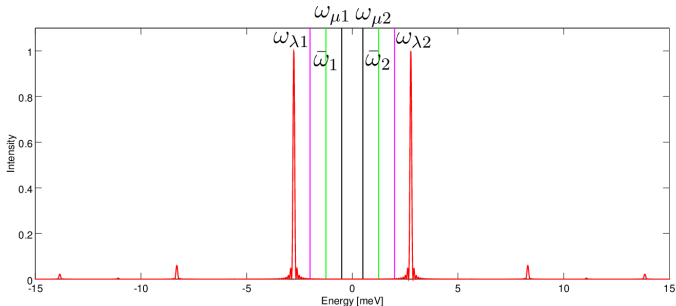
$$d^{(2)} \propto |\tilde{\mathcal{E}}_1|^2 + |\tilde{\mathcal{E}}_2|^2 + \left\{ \tilde{\mathcal{E}}_1 \tilde{\mathcal{E}}_2^* \exp [i(\Omega_2 - \Omega_1)t] + \text{c.c.} \right\}$$

$$p^{(3)} \propto \left(\tilde{\mathcal{E}}_1 \exp [-i\Delta_1 t] + \tilde{\mathcal{E}}_2 \exp [-i\Delta_2 t] \right)^2 \left(\tilde{\mathcal{E}}_1^* \exp [i\Delta_1 t] + \tilde{\mathcal{E}}_2^* \exp [i\Delta_2 t] \right)$$

- V rovnici pro amplitudu elektrického pole se objeví nové frekvence $2\Omega_1 - \Omega_2$ a $2\Omega_2 - \Omega_1$.
- Frekvence vzniklé čtyřvlnovým směšováním v nelineárním prostředí.
- Oscilace na těchto frekvencích i když neodpovídají modům rezonátoru.

VLNOVÉ SMĚŠOVÁNÍ

- Intenzita postranních frekvencí tlumena faktorem $\propto 1/[\gamma_{\perp}^2 + (2\Omega_1 - \Omega_2 - \omega_{\lambda})^2]$ podobně jako jsme spočítali odpovídající stacionární polarizaci při odvození klasických rovnic (tady je faktor v druhé mocnině, protože se jedná o indukovanou intenzitu pole).
- Podobně jsou ale intenzity hlavních modů tluměné s faktorem $1/[\gamma_{\perp}^2 + (\Omega_{\lambda} - \omega_{\lambda})^2]$.
- Postranní frekvence mohou být srovnatelné co do intenzity vyzařování s hlavními módy.
- Postranní frekvence indukují další součtové frekvence...



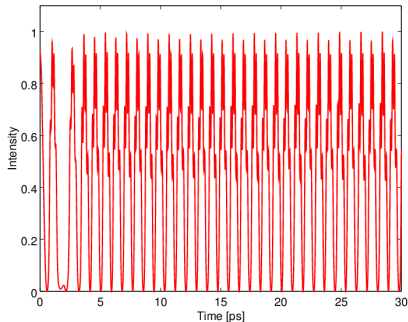
VLNOVÉ SMĚŠOVÁNÍ

Mode locking

- Generování silných modů na směšovací frekvencích $2\Omega_1 - \Omega_2$ a $2\Omega_2 - \Omega_1$.
- Oscilace na těchto frekvencích silná, i když nejsou blízko neporušených frekvencí ω_λ .
- Efekt směšování znásoben blízkostí některého z neporušených modů.
- Pokud existuje třetí oscilující mod na frekvenci $\Omega_3 = 2\Omega_2 - \Omega_1$, oscilace robustní a odolné proti fluktuacím.
- V reálu lze jev pozorovat pokud měníme vnější parametr (např. vzdálenost zrcadel) dokud nenastane $\Omega_2 - \Omega_1 = \Omega_3 - \Omega_2$ (mody jsou ekvidistantní).
- V tomto stavu se mody „zamknou“ a jejich frekvence zůstanou stabilní při dalších (malých) změnách vnějšího parametru.

SEMIKLASICKÉ ROVNICE — SHRNUÍ

- Oproti klasickým rovnicím bereme do úvahy fázi, a tedy i klasickou koherenci polí.
- Jsme schopni popsat i vícemodovou strukturu záření, nehomogenní aktivní prostředí.
- Oproti plným Maxwellovým–Blochovým rovnicím předpokládáme existenci stabilních modů pole, na určité úrovni aproximace zanedbáváme porušení symetrie pole vyzařujícími atomy.
- Parciální diferenciální rovnice se zjednoduší na vázané obyčejné diferenciální rovnice 1. řádu, což je významný krok pro naši schopnost rovnice řešit.
- Aproximace mají za následek nepřesný popis některých nelinearit, chybí opravné členy plynoucí z narušené symetrie.
- Dvouhladinový model popisuje pouze situaci, kdy je spodní hladina základním stavem elektronu. Pro jiné schéma je třeba oprava na proměnný počet aktivních atomů $N_0 \neq \text{const.}$.
- Kvantové fluktuace pouze ve formě rozfázování a relaxace na úrovni jednotlivých dvouhladinových systémů a jednotlivých modů pole: jejich vzájemná koherence není zahrnuta, z toho vyplývají vzájemné interference mezi mody, které nemohou být v reálu pozorovatelné.
- Přesto jsou semiklasické rovnice velmi užitečný nástroj pro výpočet dynamiky laserů.



Kvantové laserové rovnice

ÚVODNÍ POZNÁMKY

- **Semiklasická teorie:** klasické pole, odpovídá koherentnímu stavu.
- Z toho důvodu zanedbané neklasické kvantové fluktuace pole, matice hustoty tedy $\rho = \langle \rho_{\text{TOT}} \rangle_{\text{field, bath}}$.
- Role tepelné lázně: rozfázování, relaxace elektronu z horní hladiny, tlumení pole.
- Absence „startovního“ fotonu: pro $\tilde{\mathcal{E}}(t=0) = 0$ je $\tilde{\mathcal{E}}(t>0) = 0$.
- Obecně chybí spontánní procesy (nestředované).
- Fluktuace jsou středované a způsobují ad hoc dodané tlumení, předpokládá se, že fluktuace jsou tlumené a nemají tendenci růst.
- Přitom např. při vyšší než saturované inverzi je fluktuace pole exponenciálně zesilovaná!
- Stejně tak v chaotickém režimu má každá fluktuace za následek významnou změnu směru trajektorie systému v fázovém prostoru.
- Fluktuace tedy nejsou vždy tlumené, mají významný vliv na dynamiku laseru, ale v semiklasické teorii nejsou zahrnuté.
- Matici hustoty je třeba rozšířit o stavy pole a tedy $\rho = \langle \rho_{\text{TOT}} \rangle_{\text{bath}}$.
- Relaxační členy je třeba odvodit z plně kvantové teorie, v potenciálně nestabilním/chaotickém systému není možné je rukou dopsat jako prostou exponenciální relaxaci.

ÚVODNÍ POZNÁMKY

- **Plně kvantová teorie:** zahrnutí všech důležitých částí do systému, tepelná lázeň je obecně velkým tepelným rezervoárem, kde jsou fluktuace silně tlumené.
- Obecně existují dva přístupy: Schrödingerův nebo Heisenbergův obraz.
- Přístup v Heisenbergově obraze: časově proměnné operátory, fluktuace jsou zdrojovými členy operátorů.
- Kinetické rovnice vedou na Langevinovy rovnice pro operátory.

$$m\ddot{x} + \sigma\dot{x} = F(x) + \xi(t)$$

- Přístup v Schrödingerově obraze: kinetika matice hustoty.
- Liouvillova rovnice:

$$\frac{d\rho}{dt} = \mathcal{L}\rho$$

- Matice hustoty ρ relativně velká, diskrétní, sousední členy nekorelované.
- Liouvilán \mathcal{L} je nekonečná matice, jejíž prvky nejsou omezené, s rostoucí dimenzí divergují (!).
- Není možné jednoduše liouvilán oříznout, s nekonečnou maticí také nelze počítat.
- Lze zavést distribuční funkci jako v klasické mechanice: zavedeme hustotu pravděpodobnosti $p(x)$ a z Langevinovy rovnice odvodíme parciální diferenciální rovnici pro $p(x, t)$.

ÚVODNÍ POZNÁMKY

- Výsledkem je Fokkerova–Planckova rovnice:

$$\dot{\rho} = -\partial_x(\mu\rho) + \partial_x^2(D\rho)$$

- μ ...drift, D ...difuze.
- Pro laser můžeme zavést kvantově-mechanický ekvivalent distribuční funkce, pro ni odvodíme Fokkerovu–Planckovu rovnici.
- Distribuční funkce:

$P(\alpha, \alpha^*)$	Glauberova–Sudarshanova (P) reprezentace
$Q(\alpha, \alpha^*)$	Husimiho (Q) reprezentace
$W(\alpha, \alpha^*)$	Wignerova reprezentace
$\rho_{\ell,m}$	Fockova reprezentace

- Obvykle laserové rovnice formulované v P reprezentaci.
- Výpočet dynamiky spojitě „hezké“ funkce, omezené operátory, využití standardních metod matematické analýzy a numerické matematiky.
- Každý z přístupů má výhody a nevýhody, jejich využití je zvážit pro každý problém zvlášť.
- Zde odvodíme Langevinovy plně kvantové rovnice i přes jejich zdánlivě problematické řešení s pomocí operátorové algebry.

KVANTOVÉ LANGEVINOVY ROVNICE

Postup

- 1 Mody elektromagnetického pole.
- 2 Hamiltonián pole.
- 3 Elektronové stavy.
- 4 Hamiltonián elektronů.
- 5 Elektron–fotonová interakce, celkový hamiltonián.
- 6 Fluktuace pole.
- 7 Fluktuace elektronů.
- 8 Kvantové laserové Langevinovy rovnice.

KL ROVNICE — MODY POLE

- Vlnová rovnice bez zdrojů v uzavřeném rezonátoru, okrajové podmínky definují mody.
- Vektorový potenciál: vektorový operátor.

$$\Delta \hat{\mathbf{A}} - \frac{1}{c^2} \partial_t^2 \hat{\mathbf{A}} = 0$$

$$\hat{\mathbf{A}}(\mathbf{x}, t) = \sum_{\lambda} \hat{\mathbf{A}}^{\hat{(+)}} e^{-i\omega t} \tilde{u}_{\lambda}(\mathbf{x}) + \hat{\mathbf{A}}^{\hat{(-)}} e^{+i\omega t} \tilde{u}_{\lambda}^*(\mathbf{x})$$

$$\Delta \tilde{u}_{\lambda}(\mathbf{x}) + \frac{\omega_{\lambda}^2}{c^2} \tilde{u}_{\lambda}(\mathbf{x}) = 0$$

- Oproti semiklasickým rovnicím chceme \tilde{u}_{λ} pro běžící mody, okrajové podmínky jsou splněné celkovým vektorovým potenciálem.

$$\hat{\mathbf{A}}_{\lambda}^{\hat{(+)}} = \mathbf{e}_{\lambda} \sqrt{\frac{\hbar}{2\omega_{\lambda}\epsilon_0}} \hat{b}_{\lambda}$$

$$\hat{\mathbf{E}}_{\lambda}(\mathbf{x}, t) = i\sqrt{\frac{\hbar\omega}{2\epsilon_0}} \left[\mathbf{e}_{\lambda} \hat{b}_{\lambda} e^{-i\omega_{\lambda} t} \tilde{u}_{\lambda}(\mathbf{x}) - \mathbf{e}_{\lambda}^* \hat{b}_{\lambda}^{\dagger} e^{+i\omega_{\lambda} t} \tilde{u}_{\lambda}^*(\mathbf{x}) \right]$$

KL ROVNICE — HAMILTONIÁN POLE

- Operátory \hat{b}_λ jsou anihilační operátory harmonického oscilátoru, hamiltonián je totožný s harmonickým oscilátorem.

$$[\hat{b}_\lambda, \hat{b}_{\lambda'}^+] = \delta_{\lambda, \lambda'}$$

$$\hat{H}_f = \sum_\lambda \hbar\omega_\lambda \hat{b}_\lambda^+ \hat{b}_\lambda$$

- Stav pole ve Fockově reprezentaci vyjádřen počtem fotonů v jednotlivých modech λ :

$$|\Phi_{n_1, n_2, \dots}\rangle = |n_1, n_2, \dots\rangle = \frac{1}{\sqrt{n_1! n_2! \dots}} (\hat{b}_1^+)^{n_1} (\hat{b}_2^+)^{n_2} \dots |\text{vac}\rangle$$

$$E = E_1 + E_2 + E_3 + \dots = n_1 \hbar\omega_1 + n_2 \hbar\omega_2 + \dots$$

$$n_\lambda = \langle \hat{b}_\lambda^+ \hat{b}_\lambda \rangle$$

KL ROVNICE — STAVY ELEKTRONŮ

- j -tá jednoelektronová vlnová funkce na μ -tém atomu $\varphi_{\mu j}(\mathbf{x})$.
- Elektronový anihilační operátor v bodě \mathbf{x} :

$$\hat{\Psi}(\mathbf{x}) = \sum_{\mu,j} \hat{c}_{\mu j} \varphi_{\mu j}(\mathbf{x})$$

$$\hat{\Psi}^+(\mathbf{x}) = \sum_{\mu,j} \hat{c}_{\mu j}^+ \varphi_{\mu j}^*(\mathbf{x})$$

- (Anti-)komutační relace:

$$\{\hat{c}_j, \hat{c}_\ell\} = \hat{c}_j \hat{c}_\ell + \hat{c}_\ell \hat{c}_j = 0 \quad (\text{antikomutace})$$

$$\{\hat{c}_j, \hat{c}_\ell^+\} = \delta_{j,\ell}$$

$$\begin{aligned} \{\hat{\Psi}(\mathbf{x}), \hat{\Psi}^+(\mathbf{x}')\} &= \sum_{\mu,j} \sum_{\mu',j'} \varphi_{\mu,j}(\mathbf{x}) \varphi_{\mu',j'}^*(\mathbf{x}') \overbrace{\{\hat{c}_{\mu j}, \hat{c}_{\mu' j'}^+\}}^{\delta_{j,j'} \delta_{\mu,\mu'}} = \\ &= \sum_{\mu} \sum_j \varphi_{\mu,j}(\mathbf{x}) \varphi_{\mu,j}^*(\mathbf{x}') = \delta(\mathbf{x}-\mathbf{x}') \quad \text{relace ortogonality} \end{aligned}$$

KL ROVNICE — HAMILTONIÁN ELEKTRONŮ

- Obecný hamiltonián elektronů:

$$\hat{H}_e = \sum_{\mu j} E_{\mu j} \hat{c}_{\mu j}^+ \hat{c}_{\mu j}$$

- Dvuhladinové schéma, hladiny 1 a 2 na každém atomu.
- Energie základního stavu $E_1 = 0$ BÚNO.
- Označíme energii 2. hladiny $E_{2\mu} = \hbar\omega_\mu$.

$$\hat{H}_e = \sum_{\mu} \hbar\omega_{\mu} \hat{c}_{\mu 2}^+ \hat{c}_{\mu 2}$$

KL ROVNICE — ELEKTRON-FOTONOVÁ INTERAKCE

- Hustota interakční energie semiklasicky:

$$\hat{H}(\mathbf{x}) = -\frac{e}{m} \hat{\mathbf{A}}(\mathbf{x}) \cdot \hat{\mathbf{p}}(\mathbf{x})$$

- Kvantově je to stejné, jenom místo lokální (klasické) hodnoty vektorového potenciálu je operátor.
- Ve Schrödingerově obraze je hodnota $\hat{\mathbf{A}}(\mathbf{x})$ definovaná klasicky, operátor v souřadnicové reprezentaci $\hat{\mathbf{p}}(\mathbf{x})$ dobře definovaný díky užití vlnové funkce také v souřadnicové reprezentaci.
- V Heisenbergově obraze používáme Fockovu reprezentaci, musíme najít lokální operátor $\hat{\mathbf{p}}(\mathbf{x})$ (známe jen obsazovací čísla).
- Operátor lokální hustoty elektronů:

$$\hat{\rho}(\mathbf{x}) = \sum_{\mu,j} \hat{c}_{\mu j}^+ \hat{c}_{\mu j} |\varphi_{\mu j}(\mathbf{x})|^2 = \hat{\Psi}^+(\mathbf{x}) \hat{\Psi}(\mathbf{x})$$

- Pro Fockův stav s obsazovacími čísly n_1, n_2, \dots ($n_j \in \{0, 1\}$) je zřejmě vlnová funkce $\psi(\mathbf{x}_1, \mathbf{x}_2, \dots) = \varphi_{1,n_1}(\mathbf{x}_1) \varphi_{2,n_2}(\mathbf{x}_2) \dots$ a jednočásticový operátor $\hat{O} = \hat{O}(\mathbf{x}_1) + \hat{O}(\mathbf{x}_2) + \dots$
- Pro fermiony evidentně

$$\langle \psi | \hat{O} | \psi' \rangle_{\mathbf{x}_1} = \langle n_1, n_2, \dots | \hat{c}_1^+ \varphi^* \hat{O} \varphi \hat{c}_1 | n'_1, n'_2, \dots \rangle_{\mathbf{x}_1}$$

$$\hat{O} = \int \hat{\Psi}^+(\mathbf{x}) \hat{O}(\mathbf{x}) \hat{\Psi}(\mathbf{x}) d\mathbf{x}$$

KL ROVNICE — ELEKTRON-FOTONOVÁ INTERAKCE

- Elektron-fotonová interakce s operátorem $\hat{O}(\mathbf{x}) = -\frac{e}{m}\hat{\mathbf{A}}(\mathbf{x}) \cdot \hat{\mathbf{p}}(\mathbf{x})$:

$$\begin{aligned}
 \hat{H}_{e-f} &= \int \hat{\Psi}^\dagger \left(-\frac{e}{m} \right) \hat{\mathbf{A}} \cdot \hat{\mathbf{p}} \hat{\Psi} \, d\mathbf{x} = \\
 &= -\frac{e}{m} \sum_{\lambda} \sum_{\mu, \mu'} \sum_{j, j'} \sqrt{\frac{\hbar}{2\omega_{\lambda} \epsilon_0}} \overbrace{\left[\mathbf{e}_{\lambda} \hat{b}_{\lambda} e^{-i\omega_{\lambda} t} \tilde{u}_{\lambda}(\mathbf{x}_{\mu}) + \text{h.c.} \right]}^{\text{dipólová aproximace}} \cdot \\
 &\quad \cdot \underbrace{\int \varphi_{\mu j}^*(\mathbf{x}) \hat{\mathbf{p}} \varphi_{\mu' j'}(\mathbf{x}) \hat{c}_{\mu j}^+ \hat{c}_{\mu' j'} \, d\mathbf{x}}_{\propto \delta_{\mu, \mu'}} = \left(-\frac{e}{m} \langle j | \hat{\mathbf{p}} | j' \rangle = -i\omega_{jj'} \langle j | \mathbf{ex} | j' \rangle \right) \\
 &= -i \sum_{\lambda, \mu} \sum_{j, j'} \sqrt{\frac{\hbar}{2\omega_{\lambda} \epsilon_0}} \omega_{jj'} \left[\mathbf{e}_{\lambda} \hat{b}_{\lambda} e^{-i\omega_{\lambda} t} \tilde{u}_{\lambda}(\mathbf{x}_{\mu}) + \text{h.c.} \right] \hat{c}_{\mu j}^+ \hat{c}_{\mu j'} \cdot \\
 &\quad \cdot \int \varphi_{\mu j}^*(\mathbf{x}) (\mathbf{ex}) \varphi_{\mu j'}(\mathbf{x}) \, d\mathbf{x}
 \end{aligned}$$

KL ROVNICE — CELKOVÝ HAMILTONIÁN

- Hamiltonián elektron–fotonové interakce:

$$\hat{H}_{e-f} = -i \sum_{\lambda, \mu} \sqrt{\frac{\omega_\mu^2}{2\hbar\omega_\lambda\epsilon_0}} \left[\mathbf{e}_\lambda \hat{b}_\lambda(t) \tilde{u}_\lambda(\mathbf{x}_\mu) + \text{h.c.} \right] \cdot \left[\hat{c}_2^+ \hat{c}_1 \int \varphi_{\mu 2}^*(\mathbf{x}) (\mathbf{e}\mathbf{x}) \varphi_{\mu 1}(\mathbf{x}) d\mathbf{x} - \text{h.c.} \right] \approx \quad (\text{RWA})$$

$$\approx - \sum_{\lambda, \mu} \hbar \tilde{g}_{\lambda\mu} \hat{b}_\lambda(t) \hat{c}_{\mu 2}^+ \hat{c}_{\mu 1} - \sum_{\lambda, \mu} \hbar \tilde{g}_{\lambda\mu}^* \hat{b}_\lambda^+(t) \hat{c}_{\mu 1}^+ \hat{c}_{\mu 2}$$

$$\tilde{g}_{\lambda\mu} = i \sqrt{\frac{e^2 \omega_\mu^2}{2\hbar\omega_\lambda\epsilon_0}} \tilde{u}_\lambda(\mathbf{x}_\mu) \int \varphi_{\mu 2}^*(\mathbf{x}) (\mathbf{e}_\lambda \cdot \mathbf{x}) \varphi_{\mu 1}(\mathbf{x}) d\mathbf{x}$$

$$\hat{b}_\lambda(t) = \hat{b}_\lambda \exp[-i\omega_\lambda t]$$

- Problém: dodrželi jsme pořadí v součinu $\hat{\mathbf{A}} \cdot \hat{\boldsymbol{\rho}}$, ale hamiltonián nehermitovský, členy $\hat{b}_\lambda(t) \hat{c}_{\mu 2}^+ \hat{c}_{\mu 1}$ a $\hat{b}_\lambda^+(t) \hat{c}_{\mu 1}^+ \hat{c}_{\mu 2}$. Nutno provést QM specifickou opravu.
- Řešení 1: symetrizace $\hat{\mathbf{A}} \cdot \hat{\boldsymbol{\rho}} \rightarrow (\hat{\mathbf{A}} \cdot \hat{\boldsymbol{\rho}} + \hat{\boldsymbol{\rho}} \cdot \hat{\mathbf{A}})/2$.
- Řešení 2 (v kvantové optice obvyklé a funkční): normální pořadí, křížky vlevo:

$$\hat{H}_{e-f} = \sum_{\lambda, \mu} \hbar \tilde{g}_{\lambda\mu} \hat{c}_{\mu 2}^+ \hat{c}_{\mu 1} \hat{b}_\lambda(t) - \sum_{\lambda, \mu} \hbar \tilde{g}_{\lambda\mu}^* \hat{b}_\lambda^+(t) \hat{c}_{\mu 1}^+ \hat{c}_{\mu 2}$$

- Celkový hamiltonián obsahuje navíc interakci s tepelnou lázní.

$$\hat{H}_{\text{TOT}} = \hat{H}_e + \hat{H}_f + \hat{H}_{e-f} + \underline{\hat{H}_{f-B} + \hat{H}_{e-B} + \hat{H}_B}$$

KL ROVNICE — FLUKTUACE POLE

- Interakce s tepelnou lázní, jejíž hamiltonián přesně neznáme, ale můžeme jej odhadnout:

$$\hat{H}_B = \sum_{\omega} \hbar\omega \hat{B}_{\omega}^{\dagger} \hat{B}_{\omega}$$
$$\hat{H}_{f-B} = \sum_{\lambda} \hat{b}_{\lambda}^{\dagger} \hat{B}_{\lambda} + \text{h.c.}$$

- Tepelná lázeň velká, rychle se v ní ztrácejí korelace, tzn. nemůže zapříčinit vazbu mezi mody. Každý mod můžeme uvažovat zvlášť, vynecháme index λ :

$$\hat{H}_{f-B} = \hat{b}^{\dagger} \hat{B} + \hat{B}^{\dagger} \hat{b}$$

- Zavedeme symbolicky operátor \hat{B} , operátory $\hat{B}_{\bar{\omega}}$ jsou pomalu se měnící obálky a posuneme $\omega_{\lambda} \rightarrow 0$ a tím i $\omega \rightarrow \bar{\omega}$ (interakční obraz):

$$\hat{B}(t) = \hbar \sum_{\bar{\omega}} q_{\bar{\omega}} \hat{B}_{\bar{\omega}} e^{-i\bar{\omega}t}$$
$$\hat{H}_{f-B} = \hbar \hat{b}^{\dagger} \sum_{\bar{\omega}} q_{\bar{\omega}} \hat{B}_{\bar{\omega}} e^{-i\bar{\omega}t} + \text{h.c.}$$

KL ROVNICE — FLUKTUACE POLE

- Časové změny operátorů z Heisenbergovy rovnice:

$$(d/dt)\hat{b} = -\frac{i}{\hbar} [\hat{b}, \hat{H}_{f-B}] = -i \sum_{\bar{\omega}} q_{\bar{\omega}} \hat{B}_{\bar{\omega}} e^{-i\bar{\omega}t}$$

$$(d/dt)\hat{B}_{\bar{\omega}} = -i\hat{b}q_{\bar{\omega}}^* e^{i\bar{\omega}t}$$

$$\hat{B}_{\bar{\omega}}(t) = -i \int_{t_0}^t \hat{b}(t') q_{\bar{\omega}}^* e^{i\bar{\omega}t'} dt' + \hat{B}_{\bar{\omega}}(t_0)$$

- Dosazením 1. rovnice do 3.:

$$(d/dt)\hat{b} = - \int_{t_0}^t \hat{b}(t') \sum_{\bar{\omega}} |q_{\bar{\omega}}|^2 \exp [i\bar{\omega}(t' - t)] dt' - i \sum_{\bar{\omega}} q_{\bar{\omega}} \hat{B}_{\bar{\omega}}(t_0) \exp [-i\bar{\omega}t]$$

- Uvažujme slabou závislost $|q_{\bar{\omega}}|$ na $\bar{\omega}$ (slabá závislost zde znamená malá variace na šířce spektrální čáry fotonového modu), potom $|q_{\bar{\omega}}|^2 \approx q^2$ a

$$\sum_{\bar{\omega}} |q_{\bar{\omega}}|^2 e^{i\bar{\omega}(t'-t)} \approx q^2 \sum_{\bar{\omega}} e^{i\bar{\omega}(t'-t)} = 2\pi\delta(t-t')$$

- Markovovský proces (okamžitá odezva, proces bez paměti).

KL ROVNICE — FLUKTUACE POLE

- Dále označíme fluktuující zdrojový člen jako stochastický operátor:

$$-i \sum_{\bar{\omega}} q_{\bar{\omega}} \hat{B}_{\bar{\omega}}(t_0) \exp[-i\bar{\omega}t] = \hat{F}(t)$$

- Výsledná rovnice pro pole:

$$\dot{\hat{b}} = -\varkappa \hat{b} + \hat{F}(t)$$

- Korelační funkce:

$$\langle \hat{F}(t) \rangle = -i \sum_{\bar{\omega}} q_{\bar{\omega}} \langle \hat{B}_{\bar{\omega}}(t_0) \rangle e^{-i\bar{\omega}t} = -i \sum_{\bar{\omega}} q_{\bar{\omega}} e^{-i\bar{\omega}t} \text{Tr} \hat{B}_{\bar{\omega}}(t_0) \overbrace{\rho_{th,B}}^{\text{diagonální}} = 0$$

$$\langle \hat{F}^+(t) \rangle = 0$$

$$\langle \hat{F}(t) \hat{F}(t') \rangle = \langle \hat{F}^+(t) \hat{F}^+(t') \rangle = 0$$

$$\begin{aligned} \langle \hat{F}^+(t) \hat{F}(t') \rangle &= \sum_{\bar{\omega}, \bar{\omega}'} q_{\bar{\omega}}^* q_{\bar{\omega}'} \exp[i(\bar{\omega}t - \bar{\omega}'t')] \overbrace{\langle \hat{B}_{\bar{\omega}}^+(t_0) \hat{B}_{\bar{\omega}'}(t_0) \rangle}^{\delta_{\bar{\omega}, \bar{\omega}'} \bar{n}_{\bar{\omega}}} = \\ &= 2\varkappa \bar{n}_{th} \delta(t - t') \end{aligned}$$

$$\langle \hat{F}(t) \hat{F}^+(t') \rangle = 2\varkappa (\bar{n}_{th} + 1) \delta(t - t')$$

KL ROVNICE — FLUKTUACE POLE

- Fluktuace a intenzita pole:

$$\begin{aligned} (d/dt)\langle \hat{b}^+(t)\hat{b}(t) \rangle &= -\langle \dot{\hat{b}}^+(t)\hat{b}(t) + \hat{b}^+(t)\dot{\hat{b}}(t) \rangle = \\ &= -2\kappa\langle \hat{b}^+(t)\hat{b}(t) \rangle + \langle \hat{b}^+(t)\hat{F}(t) + \hat{F}^+(t)\hat{b}(t) \rangle \end{aligned}$$

$$\hat{b}(t) = \hat{b}(t-\Delta t) + \int_{t-\Delta t}^t \dot{\hat{b}}(t') dt'$$

$$\langle \hat{F}^+(t)\hat{b}(t) \rangle = \langle \hat{F}^+(t)\hat{b}(t-\Delta t) \rangle + \int_{t-\Delta t}^t \langle \hat{F}^+(t)\dot{\hat{b}}(t') \rangle dt =$$

$$\begin{aligned} &= \underbrace{\langle \hat{F}^+(t)\hat{b}(t-\Delta t) \rangle}_{=0 \text{ (kausalita)}} - \kappa \underbrace{\int_{t-\Delta t}^t \langle \hat{F}^+(t)\hat{b}(t') \rangle dt'}_{\langle \hat{F}^+(t)\hat{b}(t) \rangle dt \rightarrow 0} + \int_{t-\Delta t}^t \langle \hat{F}^+(t)\hat{F}(t') \rangle dt' = \end{aligned}$$

$$= \int_{-\Delta t}^0 \langle \hat{F}^+(t)\hat{F}(t+\tau) \rangle d\tau \stackrel{\text{krátká korelace}}{=} \frac{1}{2} \int_{-\infty}^{+\infty} \langle \hat{F}^+(0)\hat{F}(\tau) \rangle d\tau = \kappa \bar{n}_{\text{th}}$$

$$(d/dt)\langle \hat{b}^+\hat{b} \rangle = 2\kappa[\bar{n}_{\text{th}} - \langle \hat{b}^+\hat{b} \rangle]$$

KL ROVNICE — FLUKTUACE ELEKTRONŮ

- Podobný postup jako s fotonovým polem, pracujeme v interakčním obraze $\bar{\omega} = \omega - \omega_\mu$:

$$\hat{H}_{e-B} = \hbar \sum_{\bar{\omega}} g_{\bar{\omega}}^* \hat{B}_{\bar{\omega}}^+ e^{i\bar{\omega}t} \hat{c}_1^+ \hat{c}_2 + \text{h.c.}$$

$$(d/dt)\hat{B}_{\bar{\omega}} = -ig_{\bar{\omega}}^* \hat{c}_1^+ \hat{c}_2 e^{i\bar{\omega}t}$$

$$\hat{B}_{\bar{\omega}}(t) = -i \int_{t_0}^t g_{\bar{\omega}}^* \hat{c}_1^+(t') \hat{c}_2(t') e^{i\bar{\omega}t'} dt' + \hat{B}_{\bar{\omega}}(t_0)$$

$$[\hat{c}_1^+ \hat{c}_2, \hat{c}_2^+ \hat{c}_1] = \hat{c}_1^+ \hat{c}_1 \hat{c}_2 \hat{c}_2^+ - \hat{c}_1 \hat{c}_1^+ \hat{c}_2^+ \hat{c}_2 \stackrel{\hat{c}_1^+ \hat{c}_1 = 1 - \hat{c}_1 \hat{c}_1^+}{=} \hat{c}_1^+ \hat{c}_1 (1 - \hat{c}_2^+ \hat{c}_2) - (1 - \hat{c}_1^+ \hat{c}_1) \hat{c}_2^+ \hat{c}_2 = \hat{c}_1^+ \hat{c}_1 - \hat{c}_2^+ \hat{c}_2$$

$$(d/dt)(\hat{c}_1^+ \hat{c}_2) = -i(\hat{c}_1^+ \hat{c}_1 - \hat{c}_2^+ \hat{c}_2) \sum_{\bar{\omega}} g_{\bar{\omega}} \hat{B}_{\bar{\omega}} e^{-i\bar{\omega}t}$$

$$(\hat{c}_1^+ \hat{c}_1 - \hat{c}_2^+ \hat{c}_2) \hat{c}_1^+ \hat{c}_2 = \hat{c}_1^+ (1 - \hat{c}_1^+ \hat{c}_1) \hat{c}_2 - \hat{c}_1^+ \hat{c}_2^+ \underbrace{\hat{c}_2 \hat{c}_2}_{=0} = \hat{c}_1^+ \hat{c}_2$$

$$(d/dt)(\hat{c}_1^+ \hat{c}_2) = -\hat{c}_1^+ \hat{c}_2 \underbrace{\int_{t_0}^t \sum_{\bar{\omega}} |g_{\bar{\omega}}|^2 e^{i\bar{\omega}(t'-t)} dt}_{2\gamma\delta(t-t')} - i(\hat{c}_1^+ \hat{c}_1 - \hat{c}_2^+ \hat{c}_2) \underbrace{\sum_{\bar{\omega}} g_{\bar{\omega}} \hat{B}_{\bar{\omega}}(t_0) e^{-i\bar{\omega}t}}_{\Gamma_{12}(t)}$$

KL ROVNICE — FLUKTUACE ELEKTRONŮ

- Interakce elektronů s druhou lázní: čerpání a relaxace inverze. V korespondenci se semiklasickým modelem zavedeme rychlosti čerpání a relaxace a rovnice v interakčním obraze jsou:

$$(d/dt)(\hat{c}_1^+ \hat{c}_2) = -\gamma \hat{c}_1^+ \hat{c}_2 + \hat{\Gamma}_{12}(t)$$

$$(d/dt)(\hat{c}_1^+ \hat{c}_1) = -w_{21} \hat{c}_1^+ \hat{c}_1 + w_{12} \hat{c}_2^+ \hat{c}_2 + \hat{\Gamma}_{11}(t)$$

$$(d/dt)(\hat{c}_2^+ \hat{c}_2) = +w_{21} \hat{c}_1^+ \hat{c}_1 - w_{12} \hat{c}_2^+ \hat{c}_2 + \hat{\Gamma}_{22}(t)$$

- Lze spočítat korelační funkce:

$$\langle \hat{\Gamma}_{k\ell}(t) \hat{\Gamma}_{mn}(t') \rangle = G_{k\ell, mn} \delta(t - t')$$

$$\langle c_\ell^+ c_\ell \rangle = n_\ell$$

$$G_{11,11} = w_{12} n_2 + w_{21} n_1$$

$$G_{11,22} = G_{22,11} = -w_{21} n_1 = w_{12} n_2$$

$$G_{22,22} = w_{21} n_1 + w_{12} n_2$$

$$G_{12,12} = G_{21,21} = 0$$

$$G_{12,21} = w_{12} n_2 - w_{21} n_1 + 2\gamma n_1$$

$$G_{21,12} = w_{21} n_1 - w_{12} n_2 + 2\gamma n_2$$

KVANTOVÉ LASEROVÉ LANGEVINOVY ROVNICE

- Celkový (koherentní) hamiltonián bez rezervoáru, jeho akce je již vyjádřena v pohybových rovnicích:

$$\hat{H}_{\text{COH}} = \hat{H}_e + \hat{H}_f + \hat{H}_{e-f}$$

- Pohybová rovnice:

$$i\hbar(d/dt)\hat{O} = [\hat{O}, \hat{H}_{\text{COH}}]$$

- Akce rezervoárů:

$$(d/dt)\hat{b}_\lambda = -\varkappa\hat{b}_\lambda + \hat{F}_\lambda(t)$$

$$(d/dt)(\hat{c}_{\mu 1}^+ \hat{c}_{\mu 2}) = -\gamma(\hat{c}_{\mu 1}^+ \hat{c}_{\mu 2}) + \hat{\Gamma}_{\mu 12}(t)$$

$$(d/dt)(\hat{c}_{\mu 1}^+ \hat{c}_{\mu 1}) = -w_{21}(\hat{c}_{\mu 1}^+ \hat{c}_{\mu 1}) + w_{12}(\hat{c}_{\mu 2}^+ \hat{c}_{\mu 2}) + \hat{\Gamma}_{\mu 11}(t)$$

$$(d/dt)(\hat{c}_{\mu 2}^+ \hat{c}_{\mu 2}) = +w_{21}(\hat{c}_{\mu 1}^+ \hat{c}_{\mu 1}) - w_{12}(\hat{c}_{\mu 2}^+ \hat{c}_{\mu 2}) + \hat{\Gamma}_{\mu 22}(t)$$

- **Vracíme se zpět z interakčního obrazu do Heisenbergova:** $\omega_\lambda \neq 0$ a $\omega_\mu \neq 0$.
- Pole:

$$(d/dt)\hat{b}_\lambda = (-i\omega_\lambda - \varkappa)\hat{b}_\lambda + i\check{g}_{\lambda\mu}^* \hat{c}_{\mu 1}^+ \hat{c}_{\mu 2} + \hat{F}_\lambda(t)$$

KVANTOVÉ LASEROVÉ LANGEVINOVY ROVNICE

- Komutátory elektronových operátorů:

$$\begin{aligned}[\hat{c}_1^+ \hat{c}_2, \hat{c}_2^+ \hat{c}_1] &= \hat{c}_1^+ \hat{c}_1 - \hat{c}_2^+ \hat{c}_2 \\[\hat{c}_1^+ \hat{c}_2, \hat{c}_1^+ \hat{c}_1] &= \hat{c}_1^+ [\hat{c}_1^+, \hat{c}_1] \hat{c}_2 = 2 \hat{c}_1^+ \hat{c}_1^+ \hat{c}_1 \hat{c}_2 - \hat{c}_1^+ \hat{c}_2 = -\hat{c}_1^+ \hat{c}_2 \\[\hat{c}_1^+ \hat{c}_2, \hat{c}_2^+ \hat{c}_2] &= \hat{c}_1^+ \hat{c}_2 \\[\hat{c}_1^+ \hat{c}_1, \hat{c}_2^+ \hat{c}_1] &= -\hat{c}_2^+ \hat{c}_1\end{aligned}$$

- Kinetické rovnice:

$$\begin{aligned}(\mathrm{d}/\mathrm{d}t)(\hat{c}_1^+ \hat{c}_2) &= (-i\omega_\mu - \gamma)(\hat{c}_1^+ \hat{c}_2) + i\tilde{g}_{\mu\lambda}(\hat{c}_1^+ \hat{c}_1 - \hat{c}_2^+ \hat{c}_2)b_\lambda + \hat{\Gamma}_{\mu 12}(t) \\(\mathrm{d}/\mathrm{d}t)(\hat{c}_1^+ \hat{c}_1) &= -w_{21}(\hat{c}_1^+ \hat{c}_1) + w_{12}(\hat{c}_2^+ \hat{c}_2) + [i\tilde{g}_{\mu\lambda}^* \hat{b}_\lambda^+ \hat{c}_1^+ \hat{c}_2 + \text{h.c.}] + \hat{\Gamma}_{\mu 11}(t) \\(\mathrm{d}/\mathrm{d}t)(\hat{c}_2^+ \hat{c}_2) &= +w_{21}(\hat{c}_1^+ \hat{c}_1) - w_{12}(\hat{c}_2^+ \hat{c}_2) - [i\tilde{g}_{\mu\lambda}^* \hat{b}_\lambda^+ \hat{c}_1^+ \hat{c}_2 + \text{h.c.}] + \hat{\Gamma}_{\mu 22}(t)\end{aligned}$$

KVANTOVÉ LASEROVÉ LANGEVINOVY ROVNICE

- V korespondenci se semikalsickým modelem zavedeme:

$$\hat{d}_\mu = \hat{c}_{\mu 2}^+ \hat{c}_{\mu 2} - \hat{c}_{\mu 1}^+ \hat{c}_{\mu 1}$$

$$\hat{\rho}_\mu = \hat{c}_{\mu 1}^+ \hat{c}_{\mu 2}$$

$$\hat{\Gamma}_{\mu d} = \hat{\Gamma}_{\mu 22} - \hat{\Gamma}_{\mu 11}$$

$$\gamma_\perp = \gamma$$

$$T = \frac{1}{w_{21} + w_{12}}$$

$$d_0 = \frac{w_{21} - w_{12}}{w_{21} + w_{12}}$$

- Rovnice výše přepíšeme (sumy přes λ a μ jsme vynechali):

$$(d/dt)\hat{b}_\lambda = (-i\omega_\lambda - \varkappa)\hat{b}_\lambda + i\tilde{g}_{\lambda\mu}^* \hat{\rho}_\mu + \hat{F}_\lambda(t)$$

$$(d/dt)\hat{\rho}_\mu = (-i\omega_\mu - \gamma_\perp)\hat{\rho}_\mu - i\tilde{g}_{\mu\lambda} \hat{d}_\mu \hat{b}_\lambda + \hat{\Gamma}_{\mu 12}(t)$$

$$(d/dt)\hat{d}_\mu = -(\hat{d}_\mu - \hat{d}_0)/T - [2i\tilde{g}_{\mu\lambda}^* \hat{b}_\lambda^+ \hat{\rho}_\mu + \text{h.c.}] + \hat{\Gamma}_{\mu d}(t)$$

Kvantové laserové rovnice

SROVNÁNÍ SE SEMIKLASICKOU TEORIÍ

- Semiklasické rovnice:

$$\dot{\tilde{\mathcal{E}}}_\lambda = \left[i(\omega - \omega_\lambda) - \frac{\gamma_{c\lambda}}{2} \right] \tilde{\mathcal{E}}_\lambda + \frac{i\omega}{2\epsilon} \tilde{g}_{\mu\lambda}^* p_\mu e^{i\delta_\mu t}$$

$$\dot{p}_\mu = -\frac{i}{\hbar} \tilde{g}_{\mu\lambda} \tilde{\mathcal{E}}_\lambda d_\mu e^{-i\delta_\mu t} - \gamma_\perp p_\mu$$

$$\dot{d}_\mu = \frac{4}{\hbar} \text{Im} \left\{ \tilde{g}_{\mu\lambda}^* \tilde{\mathcal{E}}_\lambda^* p_\mu e^{i\delta_\mu t} \right\} - (d_\mu - d_{\mu 0})/T$$

- Operátor \hat{b} v kvantových rovnicích úměrný komplexní amplitudě vektorového potenciálu, ne elektrického pole.
- Komplexní amplituda intenzity elektrického pole srovnatelná s operátorem $\bar{b} = i\hat{b}$ a navíc kvantový parametr \tilde{g} srovnatelný se semiklasickým $i\tilde{g}$, zavedeme $i\tilde{g}' = \tilde{g}$.

$$(d/dt)\bar{b}_\lambda = (-i\omega_\lambda - \varkappa)\bar{b}_\lambda + i\tilde{g}'_{\lambda\mu}^* \hat{p}_\mu + \hat{F}_\lambda(t)$$

$$(d/dt)\hat{p}_\mu = (-i\omega_\mu - \gamma_\perp)\hat{p}_\mu - i\tilde{g}'_{\mu\lambda} \hat{d}_\mu \bar{b}_\lambda + \hat{\Gamma}_{\mu 12}(t)$$

$$(d/dt)\hat{d}_\mu = -(\hat{d}_\mu - \hat{d}_0)/T - \left[2i\tilde{g}'_{\mu\lambda}^* \bar{b}_\lambda^+ \hat{p}_\mu + \text{h.c.} \right] + \hat{\Gamma}_{\mu d}(t)$$

- Takto jsou rovnice co do znamének stejné ($2iz + \text{c.c.} = -4 \text{Im } z$).
- Středování $\tilde{\mathcal{E}} \propto \langle \bar{b} \rangle$ atd. a aproximace středního pole $\langle \hat{A}\hat{B} \rangle \approx \langle \hat{A} \rangle \langle \hat{B} \rangle$ vedou přímo na semiklasické rovnice (fluktuační se vystředují $\langle \hat{\Gamma}_j \rangle(t) = \langle \hat{F} \rangle(t) = 0$).

PORUCHOVÉ ŘEŠENÍ

- V semiklasické teorii nemáme údaj o počtu fotonů, korelační funkce pole jsou klasické, odpovídají korelačním funkcím koherentního stavu.
- V plně kvantové teorii můžeme spočítat korelátor libovolného řádu, jeho Fourierova transformace dá spektrální funkci.
- Zkoumáme chování blízko prahu $d_S \approx d_0$, kvazistacionární řešení, uvažujeme jeden mod a rezonanci, rovnice pro pomalu se měnící obálky:

$$(d/dt)\hat{b} = -\kappa\hat{b} + i\tilde{g}^* N [\hat{\rho}^{(1)} + \hat{\rho}^{(3)}] + \hat{F}(t)$$

$$(d/dt)\hat{\rho}^{(3)} = -\gamma_{\perp}\hat{\rho}^{(3)} - i\tilde{g}\hat{d}^{(2)}\hat{b} + \hat{\Gamma}_{12}(t)$$

$$(d/dt)\hat{d}^{(2)} = -\hat{d}^{(2)}/T - [2i\tilde{g}^*\hat{b}^+\hat{\rho}^{(1)} + \text{h.c.}] + \hat{\Gamma}_d(t)$$

$$(d/dt)\hat{\rho}^{(1)} = -\gamma_{\perp}\hat{\rho}^{(1)} - i\tilde{g}d_0\hat{b} + \hat{\Gamma}_{12}(t)$$

- Fluktuace polarizace jsou relativně slabé (srovnatelné s fluktuací pole), ale jejich zesílení stimulovanými procesy je mnohem slabší (≈ 1) než zesílení fluktuací pole ($\approx N$).
- Do úvahy bereme pouze fluktuace v 3. a 4. řádu TP, poslední člen na 3. a 4. řádku zanedbáme.
- Stacionární řešení (bez fluktuací) implikuje nulovou levou stranu, fluktuace musíme integrovat, tj. 2. rovnice má řešení:

$$\hat{\rho}^{(3)} = -\frac{i\tilde{g}\hat{d}^{(2)}\hat{b}}{\gamma_{\perp}} + e^{-\gamma_{\perp}t} \int_{-\infty}^t e^{\gamma_{\perp}t'} \hat{\Gamma}_{12}(t') dt'$$

PORUCHOVÉ ŘEŠENÍ

- Rovnice pro pole:

$$(d/dt)\hat{b} = G\hat{b} - C\hat{b}^+\hat{b}\hat{b} + \hat{F}_{\text{TOT}}$$

$$G = \frac{|\tilde{g}|^2 d_0 N}{\gamma_{\perp}} - \varkappa$$

$$C = \frac{4|\tilde{g}|^4 d_0 N T}{\gamma_{\perp}^2}$$

$$\hat{F}_{\text{TOT}}(t) = \hat{F}(t) + 2i\tilde{g}^* N e^{-\gamma_{\perp} t} \int_{-\infty}^t e^{\gamma_{\perp} t'} \hat{f}_{12}(t') dt'$$

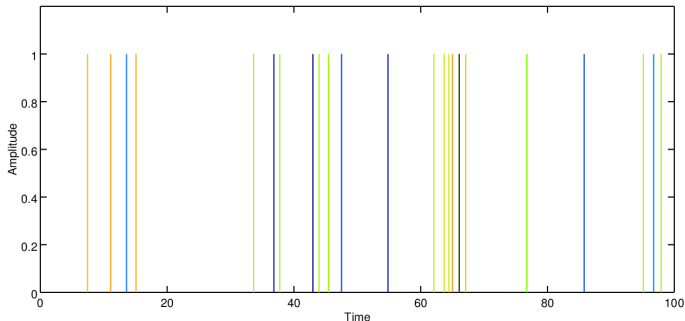
PORUCHOVÉ ŘEŠENÍ POD PRAHEM

Pod prahem

- Z klasické teorie pod prahem nulová hustota fotonů (pouze spontánně vyzářené).
- Pole není v makroskopicky obsazeném stavu \Rightarrow počet fotonů menší než 1 a tedy $\hat{b}\hat{b} = 0$ a nelineární člen s konstantou C můžeme zanedbat.
- Kinetika pole:

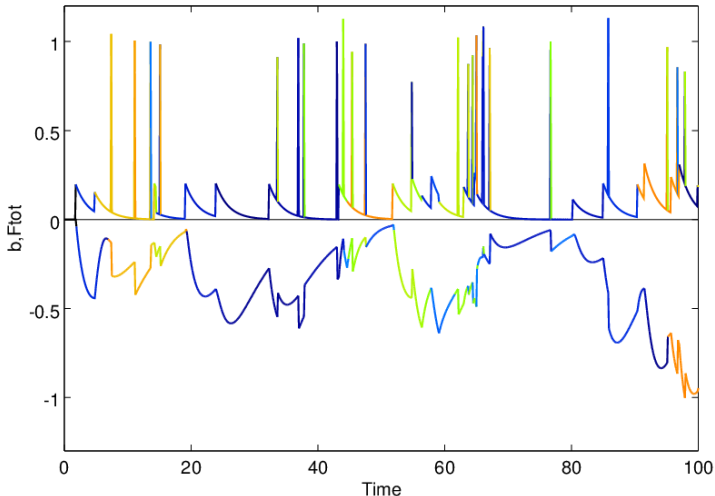
$$(d/dt)\hat{b} = G\hat{b} + \hat{F}_{TOT}$$

- Operátory akce tepelné lázně se statisticky chovají jako bílý šum: impulsy v náhodném čase s náhodnou fází, amplituda δ -funkce, hustota šumu taková, aby např. $\langle \hat{F}^+(t)\hat{F}(t) \rangle = 2\kappa\bar{n}_{th}$.



PORUCHOVÉ ŘEŠENÍ POD PRAHEM

- V reprezentaci, kde operátor \hat{b} přejde na číslo můžeme jeho stochastický vývoj vykreslit.
- Šum pocházející od inverze doznívá pomaleji než šum pole díky paměti inverze.



PORUCHOVÉ ŘEŠENÍ POD PRAHEM

- Kromě stochastického vývoje (tj. znázornění jediné trajektorie) nemáme přímý nástroj na výpočet střední hodnoty amplitudy pole v čase, nepř. vždy $\langle \hat{b}(t) \rangle = 0$ kvůli náhodnosti fáze a středování přes všechny realizace.
- Můžeme ale spočítat korelaci mezi počátečním a koncovým stavem, zavedeme korelační funkci 1. řádu $\mathcal{G}^{(1)}(t, t') = \mathcal{G}^{(1)}(t - t')$:

$$\mathcal{G}^{(1)}(t - t') = \langle \hat{b}^+(t) \hat{b}(t') \rangle$$

- De facto vyjadřuje vývoj amplitudy pole od času t do času t' . Pokud by např. $\hat{b}(t) = \hat{b}(t = 0) \exp[-i\omega t]$, pak $\mathcal{G}^{(1)}(t) = \langle \hat{b}^+(0) \hat{b}(0) \exp[-i\omega t] \rangle = n_0 \exp[-i\omega t]$.
- Normovaná korelační funkce:

$$g^{(1)}(t - t') = \frac{\mathcal{G}^{(1)}(t - t')}{\mathcal{G}^{(1)}(0)}$$

- Spektrum záření odpovídá spektru korelační funkce:

$$S(\omega) = \frac{1}{2\pi} \int_{-\infty}^{+\infty} \mathcal{G}^{(1)}(t) \exp[i\omega t] dt$$

PORUCHOVÉ ŘEŠENÍ POD PRAHEM

- Výpočet korelační funkce: přímou integrací

$$\hat{b}(t) = e^{Gt} \int_{-\infty}^t \hat{F}_{\text{TOT}}(t') e^{-Gt'} dt'$$

$$G^{(1)}(t) = e^{Gt} \int_{-\infty}^0 \int_{-\infty}^t \langle \hat{F}_{\text{TOT}}^+(u) \hat{F}_{\text{TOT}}(u') \rangle e^{-G(u+u')} du du'$$

- Fluktuace fotonů a atomů nekorelované, $\langle \hat{F}^+ \hat{\Gamma}_{j\ell} \rangle = 0$.

$$\langle \hat{F}_{\text{TOT}}^+(t') \hat{F}_{\text{TOT}}(t) \rangle = \langle \hat{F}^+(t') \hat{F}(t) \rangle + 4|\tilde{g}|^2 N^2 \mathcal{I}$$

$$\mathcal{I} = e^{-\gamma_{\perp}(t+t')} \int_{-\infty}^{t'} \int_{-\infty}^t e^{\gamma_{\perp}(u+u')} \underbrace{\langle \hat{\Gamma}_{21}(u') \hat{\Gamma}_{12}(u) \rangle}_{=\hat{\Gamma}_{12}^+} du du' =$$

$$= \left[\begin{array}{l} v = u-t \\ v' = u'-t' \end{array} \right] = \int_{-\infty}^0 \int_{-\infty}^0 e^{\gamma_{\perp}(v+v')} \underbrace{\langle \hat{\Gamma}_{21}(v'+t') \hat{\Gamma}_{12}(v+t) \rangle}_{G_{21,12} \delta(v'+t'-v-t)} dv dv' =$$

$$= e^{-|\gamma_{\perp}(t-t')|} \int_{-\infty}^0 e^{2\gamma_{\perp}v} G_{21,12} dv = e^{-\gamma_{\perp}|t-t'|} \frac{G_{21,12}}{2\gamma_{\perp}}$$

$$\langle \hat{F}_{\text{TOT}}^+(t') \hat{F}_{\text{TOT}}(t) \rangle = 2\kappa \bar{n}_{\text{th}} \delta(t-t') + 2|\tilde{g}|^2 N^2 G_{21,12} \frac{e^{-\gamma_{\perp}|t-t'|}}{\gamma_{\perp}}$$

- Pro $\gamma_{\perp} \rightarrow \infty$ můžeme psát $\langle \hat{F}_{\text{TOT}}^+(t') \hat{F}_{\text{TOT}}(t) \rangle = 2\kappa(\bar{n}_{\text{th}} + \bar{n}_{\text{sp}}) \delta(t-t')$.

PORUCHOVÉ ŘEŠENÍ POD PRAHEM

- Dosadíme mezivýsledek s označením $\alpha = 2|\tilde{g}|^2 N^2 G_{21,12}/\gamma_{\perp}$:

$$\begin{aligned} \mathcal{G}^{(1)}(t) &= 2\kappa \bar{n}_{\text{th}} e^{Gt} \int_{-\infty}^0 e^{-2Gu} du + \alpha e^{Gt} \int_{-\infty}^0 e^{-(\gamma_{\perp}+G)u} \int_{-\infty}^u e^{(\gamma_{\perp}-G)u'} du' du + \\ &+ \alpha e^{Gt} \int_{-\infty}^0 e^{(\gamma_{\perp}-G)u} \int_{-\infty}^u e^{-(\gamma_{\perp}+G)u'} du' du = \dots = \\ &= -\frac{\kappa}{G} \bar{n}_{\text{th}} e^{Gt} - \frac{2|\tilde{g}|^2 N^2 G_{21,12}}{\gamma_{\perp}^2 - G^2} \left[\frac{e^{-\gamma_{\perp} t}}{\gamma_{\perp}} + \frac{e^{Gt}}{G} \right] \end{aligned}$$

- Vezmeme-li do úvahy kladnost ($\alpha, \kappa > 0$) a zápornost ($G < 0$) členů, jsou oba sčítance kladné a celý výraz je tedy pod prahem kladný.
- Zbývá určit $G_{21,12}$ přímým dosazením:

$$G_{21,12} = \frac{d_0 - \langle \hat{d} \rangle}{2T} + \gamma_{\perp} (1 + \langle \hat{d} \rangle) \quad \langle \hat{d} \rangle \approx d_0 \quad \gamma_{\perp} (1 + d_0)$$

- Celkem tedy:

$$\begin{aligned} \mathcal{G}^{(1)}(t) &= -\frac{\kappa}{G} \bar{n}_{\text{th}} e^{Gt} - \frac{2|\tilde{g}|^2 N^2 \gamma_{\perp} (1 + d_0)}{\gamma_{\perp}^2 - G^2} \left[\frac{e^{-\gamma_{\perp} t}}{\gamma_{\perp}} + \frac{e^{Gt}}{G} \right] \\ \mathcal{G}^{(1)}(t) &= -\frac{\kappa}{G} (\bar{n}_{\text{th}} + \bar{n}_{\text{sp}}) e^{Gt} \quad (\text{pro } \gamma_{\perp} \rightarrow \infty) \end{aligned}$$

PORUCHOVÉ ŘEŠENÍ POD PRAHEM

- Bez interakce s atomy: $G = -\varkappa$ a $\tilde{g} = 0$, korelační funkce je $\mathcal{G}^{(1)}(t) = \bar{n}_{\text{th}} e^{-\varkappa t}$ a speciálně $\mathcal{G}^{(1)}(0) = \bar{n}_{\text{th}}$ podle očekávání a předchozího výpočtu.
- Interakce s atomy, atomy v základním stavu $d_0 = -1$: dle vzorce

$$G = \frac{|\tilde{g}|^2 d_0 N}{\gamma_{\perp}} - \varkappa$$

je $G < -\varkappa$ a navíc $1 + d_0 = 0$, tedy $\mathcal{G}^{(1)}(t) \propto e^{-|G|t}$ a $\mathcal{G}^{(1)}(0) < \bar{n}_{\text{th}}$.

- Interakce s atomy, atomy v excitovaném stavu $d_0 > 0$: částečná kompenzace ztrát fotonů optickým ziskem $G > -\varkappa$, dvojeexponenciální profil korelační funkce. Speciální případ

$$\mathcal{G}^{(1)}(0) = \underbrace{\frac{\varkappa}{|G|}}_{>1} \bar{n}_{\text{th}} + \frac{2|\tilde{g}|^2 N^2 (1 + d_0)}{(\gamma_{\perp} + |G|)|G|}$$

- První člen dává větší počet fotonů než v prázdné dutině, fotony z rezervoáru jsou zesilovány v aktivním prostředí. Druhý člen vždy nezáporný, vyjadřuje spontánní emisi fotonů z atomů a jejich příspěvek do celkové hustoty fotonů v dutině.
- Interakce s atomy, velmi rychlé rozfázování ($\gamma_{\perp} \rightarrow \infty$): $\mathcal{G}^{(1)}(0) = \varkappa(\bar{n}_{\text{th}} + \bar{n}_{\text{sp}})/|G|$, tj. fotony termální a spontánně vyzářené, zesílené díky optickému zisku v aktivním prostředí. Srovnáním s předchozím výsledkem vidíme, že ad-hoc předpoklad o tom, že druhý člen popisuje spontánně vyzářené fotony, je správný.

PORUCHOVÉ ŘEŠENÍ POD PRAHEM

- **Normovaná korelační funkce** $g^{(1)}(0) = 1$: platí vždy, (časová) koherence 1. stupně daná pouze časovou závislostí $g^{(1)}(t)$.
- **Spektrum záření** vypočteme Fourierovou transformací korelační funkce:

$$S(\omega) = \frac{1}{2\pi} \int_{-\infty}^{+\infty} \mathcal{G}^{(1)}(t) \exp[i\omega t] dt \approx (\gamma_{\perp} \rightarrow \infty) \approx \\ \approx 2 \frac{\varkappa}{2\pi G} (\bar{n}_{\text{th}} + \bar{n}_{\text{sp}}) \operatorname{Re} \frac{1}{i\omega + G} = \frac{\varkappa}{\pi} \frac{\bar{n}_{\text{th}} + \bar{n}_{\text{sp}}}{\omega^2 + G^2}$$

- Spektrum lorentzovské, šířka odpovídá velikosti koeficientu zisku.
- Pokud vezmeme do úvahy paměť fluktuací polarizace, přibude druhá složka se šířkou odpovídající rychlosti dekoherence γ_{\perp} .
- Spektrum i korelační funkce 1. řádu shodné s charakteristikami výbojky, laser pod prahem je „obyčejná výbojka“.

PORUCHOVÉ ŘEŠENÍ POD PRAHEM

- **Korelační funkce 2. řádu**, určíme přímým výpočtem.
- *Pomocný výpočet.*

$$\begin{aligned}
 & \stackrel{(\Delta)}{\approx} (\delta_{\omega_1, \omega_3} \delta_{\omega_2, \omega_4} + \delta_{\omega_1, \omega_4} \delta_{\omega_2, \omega_3}) \bar{n}_{\omega_1} \bar{n}_{\omega_2} \\
 & \sum_{\omega_1 \omega_2 \omega_3 \omega_4} q_{\omega_1}^* q_{\omega_2}^* q_{\omega_3} q_{\omega_4} \underbrace{\langle \hat{B}_{\omega_1}^+ \hat{B}_{\omega_2}^+ \hat{B}_{\omega_3} \hat{B}_{\omega_4} \rangle}_{\text{přes termální stav}} \exp [i(\omega_1 t_1 + \omega_2 t_2 - \omega_3 t_3 - \omega_4 t_4)] \approx \\
 & \approx \sum_{\omega_1} \bar{n}_1 |q_{\omega_1}|^2 e^{i\omega_1(t_1-t_3)} \sum_{\omega_2} \bar{n}_2 |q_{\omega_2}|^2 e^{i\omega_2(t_2-t_4)} + \\
 & + \sum_{\omega_1} \bar{n}_1 |q_{\omega_1}|^2 e^{i\omega_1(t_1-t_4)} \sum_{\omega_2} \bar{n}_2 |q_{\omega_2}|^2 e^{i\omega_2(t_2-t_3)} = \\
 & = 4\chi^2 \bar{n}_{\text{th}}^2 [\delta(t_1-t_3)\delta(t_2-t_4) + \delta(t_1-t_4)\delta(t_2-t_3)] = \\
 & = \langle \hat{F}^+(t_1) \hat{F}^+(t_2) \hat{F}(t_3) \hat{F}(t_4) \rangle
 \end{aligned}$$

- (Δ) Člen $\omega_1 = \omega_2 = \omega_3 = \omega_4$ je zanedbatelný proti ostatním příspěvkům (jednoduchá oproti dvojnásobné sumě přes mnoho stupňů volnosti, tepelná lázeň je „nekonečně velká“).

PORUCHOVÉ ŘEŠENÍ POD PRAHEM

- Výpočet korelační funkce 2. řádu přímo dosazením za $\hat{b}(t)$.
- Korelace mezi detekováním fotonu na dvou nezávislých detektorech, Hanburyho–Brownův–Twissův experiment.
- Pro zjednodušení opět položíme $\gamma_{\perp} \rightarrow \infty$ a nahradíme $\bar{n}_{th} \rightarrow \bar{n}_{th} + \bar{n}_{sp}$.

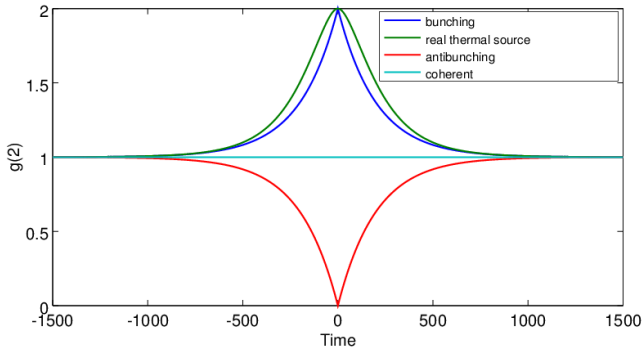
$$\begin{aligned}
 \mathcal{G}^{(2)}(t) &= \langle \hat{b}^+(t)\hat{b}^+(0)\hat{b}(0)\hat{b}(t) \rangle = \\
 &= e^{2Gt} \int_{-\infty}^t dt_1 \int_{-\infty}^0 dt_2 \int_{-\infty}^0 dt_3 \int_{-\infty}^t dt_4 e^{-G(t_1+t_2+t_3+t_4)} \langle \hat{F}^+(t_1)\hat{F}^+(t_2)\hat{F}(t_3)\hat{F}(t_4) \rangle = \\
 &= e^{2Gt} \int_{-\infty}^t dt_1 \int_{-\infty}^0 dt_2 \int_{-\infty}^0 dt_3 \int_{-\infty}^t dt_4 e^{-G(t_1+t_2+t_3+t_4)} \cdot \\
 &\quad \cdot 4\chi^2(\bar{n}_{th} + \bar{n}_{sp})^2 [\delta(t_1-t_3)\delta(t_2-t_4) + \delta(t_1-t_4)\delta(t_2-t_3)] = \quad (t > 0) \\
 &= 4\chi^2(\bar{n}_{th} + \bar{n}_{sp})^2 e^{2Gt} \left[\int_{-\infty}^0 dt_1 \int_{-\infty}^0 dt_2 e^{-2G(t_1+t_2)} + \int_{-\infty}^0 dt_1 \int_{-\infty}^t dt_2 e^{-2G(t_1+t_2)} \right] = \\
 &= \frac{\chi^2}{G^2} (\bar{n}_{th} + \bar{n}_{sp})^2 \left(1 + e^{2|G|t} \right) \quad (\text{obecně})
 \end{aligned}$$

- Normovaná korelační funkce:

$$g^{(2)}(t) = \frac{\mathcal{G}^{(2)}(t)}{[\mathcal{G}^{(1)}(0)]^2}$$

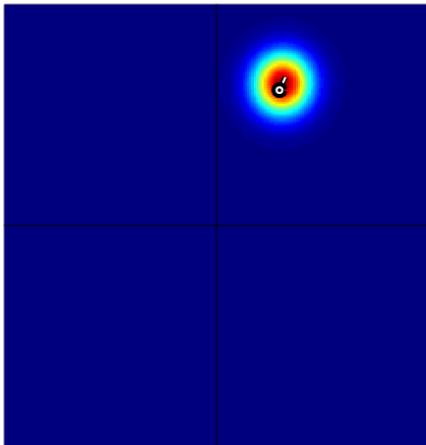
PORUCHOVÉ ŘEŠENÍ POD PRAHEM

- Normovaná korelační funkce:
- $g^{(2)}(0) < 1$: *antibunching* — typický pro jednofotonový zdroj ($g^{(2)}(0) = 0$). Pokud do jednoho z detektorů dorazí foton, do druhého s nenulovou pravděpodobností ne.
- $g^{(2)}(0) > 1$: *bunching* — typický pro termální zdroj, vyzařující plně nekorelované fotony. Fotony putují vždy v balíku ve větším počtu.
- $g^{(2)}(0) = 1$: *Koherentní stav*. Charakteristické pro koherentní stav, ale nejenom pro něj. Pro potvrzení koherentnosti stavu je třeba změření časové závislosti $g^{(2)}(t) = 1$ a i vyšších korelací. Koherentní stav je stav laserového záření vysoko nad prahem.
- Skutečný profil s uvážením i vlivu atomů a bez zanedbání malých členů je hladší:



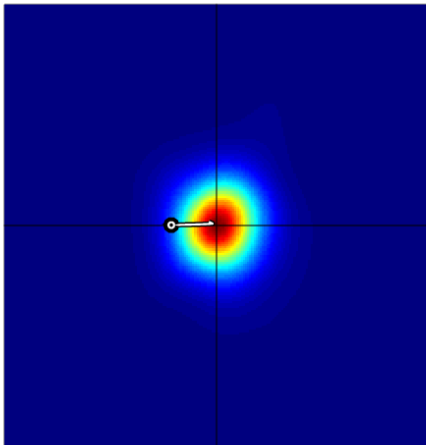
PORUCHOVÉ ŘEŠENÍ POD PRAHEM

- Řešení Langevinovy rovnice pouze s nelinearitou 3. řádu.
- Aktivní prostředí stacionární, bez paměti, nad prahem.
- Hustota pravděpodobnosti stavu pole označena barevnou škálou.
- Aktuální stav pole je tečka.
- Osy reálná a imaginární část $b(t)$.
- Parametry: $G = -1$, rozměr čtverce 0.75×0.75 .



PORUCHOVÉ ŘEŠENÍ POD PRAHEM

- Řešení Langevinovy rovnice pouze s nelinearitou 3. řádu.
- Aktivní prostředí stacionární, bez paměti, nad prahem.
- Hustota pravděpodobnosti stavu pole označena barevnou škálou.
- Aktuální stav pole je tečka.
- Osy reálná a imaginární část $b(t)$.
- Parametry: $G = -1$, rozměr čtverce 0.75×0.75 .



PORUCHOVÉ ŘEŠENÍ NAD PRAHEM

Nad prahem

- Vezměme $\hat{b}(t) = b(t)$ jako klasickou veličinu a prozkoumejme její chování v čase.
- $b(t)$ komplexní, $b(t) = (r_0 + \rho(t)) \exp[i\varphi(t)]$ (pomalu se měnící obálka):

$$\begin{aligned} (d/dt)\hat{b} &= G\hat{b} - C\hat{b}^+\hat{b}\hat{b} + \hat{F}_{\text{TOT}} \\ \dot{\rho} &= G(r_0 + \rho) - C(r_0 + \rho)^3 + \text{Re } F_{\text{TOT}}e^{-i\varphi} \\ \dot{\varphi} &= \text{Im } F_{\text{TOT}}e^{-i\varphi} / (r_0 + \rho) \end{aligned}$$

- Bez fluktuací $\rho = F_{\text{TOT}} = 0$ a určíme $r_0^2 = G/C$ (tento výpočet evidentně neplatí pod prahem, neboť by $r_0^2 < 0$; řešení na sebe navazují na prahu $G = 0$).
- Nadále budeme předpokládat $\rho \ll r_0$ (vysoko nad prahem), v okolí prahu (nad ním, $G > 0$, $C > 0$) problém analyticky neřešitelný.
- Dosadíme za r_0^2 , uvážíme nejnižší mocniny ρ a označíme $\tilde{F}_{\text{TOT}} = F_{\text{TOT}}e^{-i\varphi}$:

$$\begin{aligned} \dot{\rho} &= -2G\rho + \text{Re } \tilde{F}_{\text{TOT}} \\ \dot{\varphi} &= \frac{1}{r_0} \text{Im } \tilde{F}_{\text{TOT}} \end{aligned}$$

- Pohyb v komplexní rovině v okolí kružnice o poloměru r_0 .
- Fluktuace posouvají skokově fázi $b(t)$ i velikost, ale velikost $b(t)$ relaxuje s dobou relaxace $1/2G$ zpět na kružnici o poloměru r_0 . Fáze nerelaxuje, kopíruje fluktuace.
- Relaxace velikosti pole rychlejší pro velká G (velké čerpání), nad prahem $G > 0$.
- Fluktuace fáze zmenšené poloměrem $r_0 = \sqrt{G/C}$, s rostoucím čerpáním menší.
- Laser tedy s rostoucím čerpáním stabilnější.

PORUCHOVÉ ŘEŠENÍ NAD PRAHEM

- Výpočet korelačních funkcí. Přímoou integrací

$$\varphi(t) = \varphi(0) + \int_0^t \tilde{F}_{\text{TOT}}(t') dt'$$

- Zřejmě $\langle \varphi(t) - \varphi(0) \rangle = 0$, dále potřebujeme:

$$\langle (\varphi(t) - \varphi(0))^2 \rangle = \frac{1}{r_0^2} \int_0^t \int_0^t \langle \text{Im } \tilde{F}_{\text{TOT}}(u) \text{Im } \tilde{F}_{\text{TOT}}(v) \rangle du dv$$

- Bílý šum:

$$F_{\text{TOT}}(t) = \sum_{\nu} \mathcal{A} \delta(t - t_{\nu}) e^{i\varphi_{\nu}}$$

- Víme:

$$\begin{aligned} \langle F_{\text{TOT}}^*(t) F_{\text{TOT}}(t') \rangle &= \left\langle \sum_{\nu} \sum_{\nu'} \mathcal{A}^2 e^{-i(\varphi_{\nu} - \varphi_{\nu'})} \delta(t - t_{\nu}) \delta(t' - t_{\nu'}) \right\rangle = \\ &= 2\kappa(\bar{n}_{\text{th}} + \bar{n}_{\text{sp}}) \delta(t - t') \end{aligned}$$

PORUCHOVÉ ŘEŠENÍ NAD PRAHEM

- Potom můžeme vyčíslit:

$$\begin{aligned}\langle \text{Im } \tilde{F}_{\text{TOT}}(t) \text{Im } \tilde{F}_{\text{TOT}}(t') \rangle &= \\ &= \frac{1}{4} \left\langle \sum_{\nu} \sum_{\nu'} \mathcal{A}^2 \left[e^{i(\tilde{\varphi}_{\nu} - \tilde{\varphi}_{\nu'})} - e^{-i(\tilde{\varphi}_{\nu} - \tilde{\varphi}_{\nu'})} \right] \delta(t - t_{\nu}) \delta(t' - t_{\nu'}) \right\rangle = \\ &= \varkappa(\bar{n}_{\text{th}} + \bar{n}_{\text{sp}}) \delta(t - t') = \\ &= \langle \text{Re } \tilde{F}_{\text{TOT}}(t) \text{Re } \tilde{F}_{\text{TOT}}(t') \rangle\end{aligned}$$

- Přímým dosazením:

$$\begin{aligned}\langle (\varphi(t) - \varphi(0))^2 \rangle &= \frac{C}{G} \varkappa(\bar{n}_{\text{th}} + \bar{n}_{\text{sp}}) t = 2\gamma_{\varphi} t \\ \gamma_{\varphi} &= \frac{C}{G} \varkappa(\bar{n}_{\text{th}} + \bar{n}_{\text{sp}})\end{aligned}$$

PORUCHOVÉ ŘEŠENÍ NAD PRAHEM

- Korelace 1. řádu, považujeme ρ a φ za statisticky nezávislé, nejnižší řád v ρ a φ :

$$\begin{aligned}
 \mathcal{G}^{(1)}(t) &= \langle [r_0 + \rho(t)]e^{-i\varphi(t)}[r_0 + \rho(0)]e^{i\varphi(0)} \rangle \approx \\
 &\approx r_0^2 \langle e^{-i\varphi(t)} e^{i\varphi(0)} \rangle + r_0 \langle [\rho(t) + \rho(0)]e^{-i\varphi(t)} e^{i\varphi(0)} \rangle = \\
 &= r_0^2 \langle e^{-i\varphi(t)} e^{i\varphi(0)} \rangle + r_0 \underbrace{\langle \rho(t) + \rho(0) \rangle}_{=0} \langle e^{-i\varphi(t)} e^{i\varphi(0)} \rangle = \\
 &= \langle r_0^2 \rangle - ir_0^2 \underbrace{\langle \varphi(t) - \varphi(0) \rangle}_{=0} - \frac{r_0^2}{2} \langle (\varphi(t) - \varphi(0))^2 \rangle + \dots = \\
 &= r_0^2(1 - \gamma_\varphi t + \dots) \approx r_0^2 e^{-\gamma_\varphi t} = \frac{G}{C} e^{-\gamma_\varphi t}
 \end{aligned}$$

- Korelace klesá pomaleji s rostoucím G (vysoko nad prahem), klesajícím \varkappa (větší doba života fotonu, tj. vyšší kvalita rezonátoru), s klesajícími fluktuacemi.
- Střední počet fotonů $\mathcal{G}^{(1)}(0) = r_0^2 = G/C$.

PORUCHOVÉ ŘEŠENÍ NAD PRAHEM

- Korelace 2. řádu, nejnižší mocnina (vysoko nad prahem):

$$\begin{aligned} \mathcal{G}^{(2)}(t) &= \langle (r_0 + \rho(t))e^{-i\varphi(t)}(r_0 + \rho(0))e^{-i\varphi(0)}(r_0 + \rho(0))e^{i\varphi(0)}(r_0 + \rho(t))e^{i\varphi(t)} \rangle = \\ &= \langle (r_0 + \rho(t))^2 (r_0 + \rho(0))^2 \rangle \approx \\ &\approx r_0^4 + 2r_0^3 \langle \rho(t) + \rho(0) \rangle = r_0^4 = \frac{G^2}{C^2} \end{aligned}$$

- Do této korelační funkce nepřispívají členy v 1. mocnině poruchy, musíme vzít do úvahy tedy i 2. mocninu pro $\mathcal{G}^{(2)}$ i $\mathcal{G}^{(1)}$.
- Pomocný výpočet:

$$\begin{aligned} \rho(t) &= e^{-2Gt} \int_{-\infty}^t e^{2Gu} \operatorname{Re} \tilde{F}_{\text{TOT}}(u) du \\ \langle \rho^2(t) \rangle &= \frac{\varkappa(\bar{n}_{\text{th}} + \bar{n}_{\text{sp}})}{4G} \\ \langle \rho(t)\rho(0) \rangle &= \frac{\varkappa(\bar{n}_{\text{th}} + \bar{n}_{\text{sp}})}{4G} e^{-2Gt} \end{aligned}$$

- Oprava pro korelační funkci 1. řádu:

$$\begin{aligned} \mathcal{G}^{(1)}(t) &= r_0^2 e^{-\gamma\varphi t} + \langle \rho(t)\rho(0) e^{-\varphi(t)+\varphi(0)} \rangle = \\ &= r_0^2 e^{-\gamma\varphi t} + \langle \rho(t)\rho(0) [1 - i(\varphi(t) - \varphi(0)) + \dots] \rangle \approx \\ &\approx r_0^2 e^{-\gamma\varphi t} + \langle \rho(t)\rho(0) \rangle = r_0^2 e^{-\gamma\varphi t} + \frac{\varkappa(\bar{n}_{\text{th}} + \bar{n}_{\text{sp}})}{4G} e^{-2Gt} \end{aligned}$$

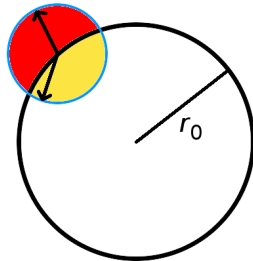
PORUCHOVÉ ŘEŠENÍ NAD PRAHEM

- Speciálně $\mathcal{G}^{(1)}(0) = r_0^2 + \frac{\varkappa(\bar{n}_{\text{th}} + \bar{n}_{\text{sp}})}{4G}$.
- Fluktuace sice posouvají počet fotonů do kladných i záporných hodnot, ale jednak působí ve 2D prostoru izotropně a více jich jde vně kruhu o poloměru r_0 (viz obr.).
- Navíc součet počtu fotonů při pohybu dovnitř a vně kruhu o stejnou vzdálenost $n_{\text{in}} + n_{\text{out}} \propto |r_0 - \Delta|^2 + |r_0 + \Delta|^2 = r_0^2 + 2\Delta^2$.
- S rostoucím ziskem G se naopak více svírá pseudopotenciál.
- Všechny tři jevy výše mají za následek klesající vliv fluktuací s rostoucím G .
 - Vezmeme do úvahy vyšší mocniny:

$$\mathcal{G}^{(2)}(t) = r_0^4 + r_0^2 \langle 4\rho(t)\rho(0) + \rho^2(t) + \rho^2(0) \rangle$$

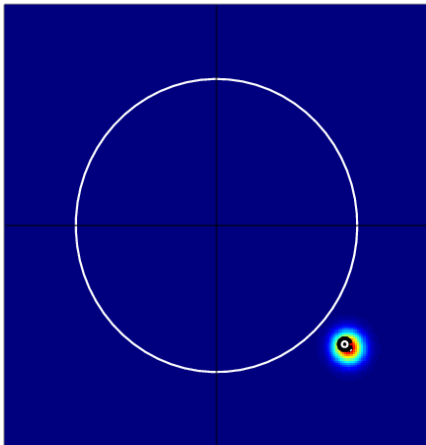
$$\mathcal{G}^{(2)}(t) = \langle \hat{n} \rangle^2 + \frac{\varkappa r_0^2 (\bar{n}_{\text{th}} + \bar{n}_{\text{sp}})}{2G} (2e^{-2Gt} + 1) = [\mathcal{G}^{(1)}(0)]^2 + \frac{\varkappa r_0^2 (\bar{n}_{\text{th}} + \bar{n}_{\text{sp}})}{G} e^{-2Gt}$$

- Korelace 2. řádu klesá pro dlouhé časy k $[\mathcal{G}^{(1)}(0)]^2$, tj. $g^{(2)}(t \rightarrow \infty) = 1$.
- Hodnota $g^{(2)}(0) - 1$ závisí na zisku jako G^{-1} , tj. vysoko nad prahem $g^{(2)}(0) \rightarrow 1$.
- Zároveň vysoko nad prahem $\gamma_\varphi \propto 1/G \rightarrow 0$, a tedy záření vykazuje charakteristiky plně koherentního stavu.



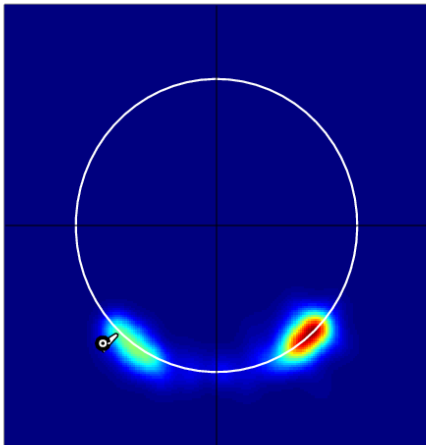
PORUCHOVÉ ŘEŠENÍ NAD PRAHEM

- Řešení Langevinovy rovnice pouze s nelinearitou 3. řádu.
- Aktivní prostředí stacionární, bez paměti, nad prahem.
- Hustota pravděpodobnosti stavu pole označena barevnou škálou.
- Aktuální stav pole je tečka.
- Osy reálná a imaginární část $b(t)$.
- Parametry: $G = 1$, $C = 1$, rozměry čtverce 1.5×1.5 .



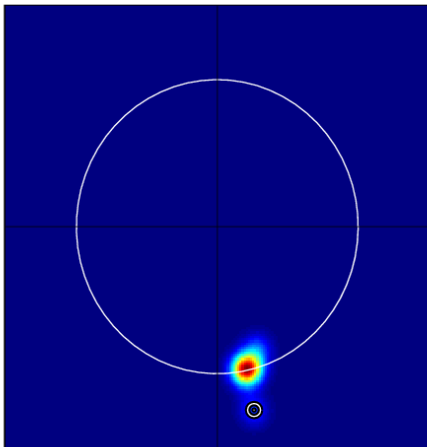
PORUCHOVÉ ŘEŠENÍ NAD PRAHEM

- Řešení Langevinovy rovnice pouze s nelinearitou 3. řádu.
- Aktivní prostředí stacionární, bez paměti, nad prahem.
- Hustota pravděpodobnosti stavu pole označena barevnou škálou.
- Aktuální stav pole je tečka.
- Osy reálná a imaginární část $b(t)$.
- Parametry: $G = 1$, $C = 1$, rozměry čtverce 1.5×1.5 .



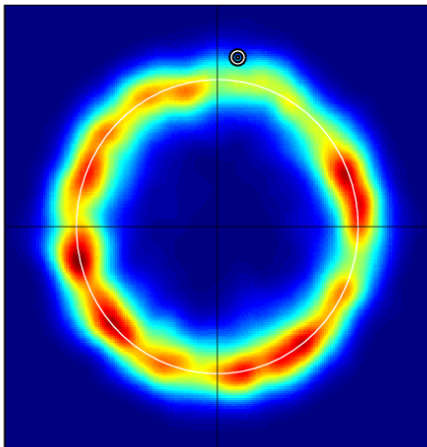
PORUCHOVÉ ŘEŠENÍ NAD PRAHEM

- Řešení Langevinovy rovnice pouze s nelinearitou 3. řádu.
- Aktivní prostředí stacionární, bez paměti, nad prahem.
- Hustota pravděpodobnosti stavu pole označena barevnou škálou.
- Aktuální stav pole je tečka.
- Osy reálná a imaginární část $b(t)$.
- Parametry: $G = 0.2$, $C = 0.2$, rozměry čtverce 1.5×1.5 .
- Časový krok $25\times$ větší než v minulém filmu.



PORUCHOVÉ ŘEŠENÍ NAD PRAHEM

- Řešení Langevinovy rovnice pouze s nelinearitou 3. řádu.
- Osy reálná a imaginární část $b(t)$.
- Parametry: $G = 0.2$, $C = 0.2$, rozměry čtverce 1.5×1.5 .
- Hustota pravděpodobnosti v čase $t \rightarrow \infty$ by měla odpovídat stacionárnímu řešení Fokkerových–Planckových rovnic, tj. stacionárnímu řešení rovnic pro hustotu pravděpodobnosti.
- Laser se může dostat i do stavu s prázdnou dutinou s nenulovou pravděpodobností.



STATISTIKA FOTONŮ

- Výpočet distribuční funkce počtu fotonů nad rámec Langevinových rovnic.
- Se současným aparátém můžeme ale určit některé pomocné veličiny.
- Již víme, že *pod prahem* $\mathcal{G}^{(1)}(0) = \langle \hat{n} \rangle$ a $\mathcal{G}^{(2)}(0) = 2\langle \hat{n} \rangle^2$.
- Dále *vysoko nad prahem* $\mathcal{G}^{(1)}(0) = \langle \hat{n} \rangle$ a $\mathcal{G}^{(2)}(0) = \langle \hat{n} \rangle^2$.
- Variance:

$$\langle (\Delta \hat{n})^2 \rangle = \langle (\hat{n} - \langle \hat{n} \rangle)^2 \rangle = \langle \hat{n}^2 \rangle - 2\langle \hat{n} \rangle \langle \hat{n} \rangle + \langle \hat{n} \rangle^2 = \langle \hat{n}^2 \rangle - \langle \hat{n} \rangle^2$$

$$\mathcal{G}^{(1)}(0) = \langle \hat{b}^+ \hat{b} \rangle = \langle \hat{n} \rangle$$

$$\mathcal{G}^{(2)}(0) = \langle \hat{b}^+ \hat{b}^+ \hat{b} \hat{b} \rangle = \langle \hat{n}^2 \rangle - \langle \hat{n} \rangle$$

$$\langle (\Delta \hat{n})^2 \rangle = \mathcal{G}^{(2)}(0) + \mathcal{G}^{(1)}(0) - [\mathcal{G}^{(1)}(0)]^2$$

- **Pod prahem:** $\langle (\Delta \hat{n})^2 \rangle = \langle \hat{n} \rangle (\langle \hat{n} \rangle + 1)$: typické pro termální rozdělení, Boltzmannova statistika.

$$\begin{aligned}
 & \text{normování} \\
 p(n) &= \frac{1}{\epsilon} \epsilon^n & \epsilon &= e^{-\frac{\hbar\omega}{k_B T}} \\
 \langle \hat{n} \rangle &= \sum_0^{\infty} n p(n) = \frac{1}{\epsilon - 1} \\
 \langle \hat{n}^2 \rangle &= \sum_0^{\infty} n^2 p(n) = \frac{\epsilon + 1}{(\epsilon - 1)^2} \\
 \langle \hat{n}^2 \rangle - \langle \hat{n} \rangle^2 &= \frac{\epsilon}{(\epsilon - 1)^2} = \langle \hat{n} \rangle (\langle \hat{n} \rangle + 1)
 \end{aligned}$$

- **Nad prahem:** $\langle (\Delta \hat{n})^2 \rangle = \langle \hat{n} \rangle$, typické pro Poissonovo rozdělení.
- **Koherentní stav:**

$$|\alpha\rangle = e^{-|\alpha|^2/2} \sum_{n=0}^{\infty} \frac{\alpha^n}{\sqrt{n!}} |n\rangle$$

$$\hat{b}|\alpha\rangle = e^{-|\alpha|^2/2} \sum_{n=0}^{\infty} \frac{\alpha^n}{\sqrt{n!}} \sqrt{n} |n-1\rangle = \alpha|\alpha\rangle$$

$$p(n) = |\langle n|\alpha\rangle|^2 = \frac{|\alpha|^{2n} e^{-|\alpha|^2}}{n!}$$

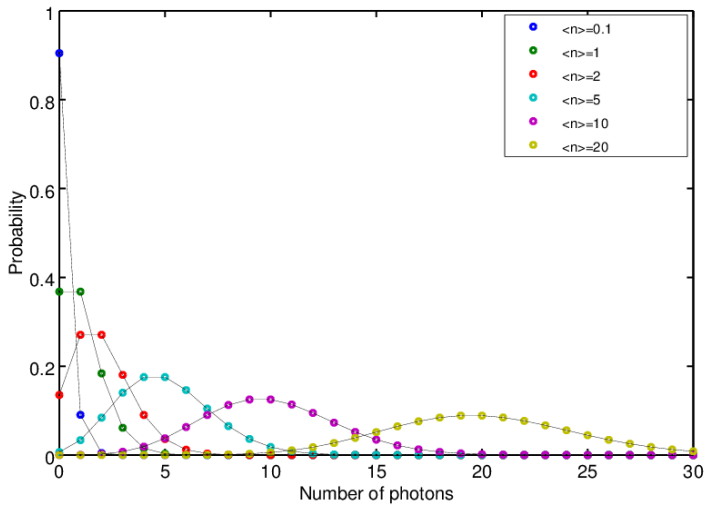
$$\langle \hat{n} \rangle = \langle \alpha | \hat{b}^+ \hat{b} | \alpha \rangle = \langle \alpha | \alpha^* \alpha | \alpha \rangle = |\alpha|^2$$

$$p(n) = \frac{\langle \hat{n} \rangle^n e^{-\langle \hat{n} \rangle}}{n!}$$

$$\langle \hat{n}^2 \rangle = \langle \hat{n} \rangle (\langle \hat{n} \rangle + 1)$$

$$\langle \hat{n}^2 \rangle - \langle \hat{n} \rangle^2 = \langle \hat{n} \rangle$$

STATISTIKA FOTONŮ



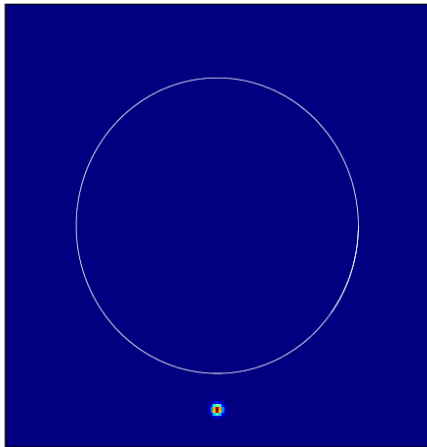
DYNAMIKA HUSTOTY PRAVDĚPODOBNOTI

- Řešení Fokkerových–Planckových rovnic pro hustotu pravděpodobnosti, v kvantové optice pro distribuční funkci.
- Zde použijeme distribuční funkci podobnou Wignerově distribuční funkci $f(x, y) = f(\text{Re } b, \text{Im } b)$, kde b je „klasická amplituda“.
- Kinetická rovnice odvozená z poruchové teorie 3. řádu:

$$\begin{aligned}
 (d/dt)\hat{b} &= G\hat{b} - C\hat{b}^+\hat{b}\hat{b} + \hat{F}_{\text{TOT}} \\
 \frac{\partial f(x, y)}{\partial t} &= -\frac{\partial}{\partial x} \left\{ [Gx - C(x^2 + y^2)x] f \right\} - \frac{\partial}{\partial y} \left\{ [Gy - C(x^2 + y^2)y] f \right\} + \\
 &\quad + \frac{1}{2} \bar{n}_{\text{eff}} \varkappa \left[\frac{\partial^2 f}{\partial x^2} + \frac{\partial^2 f}{\partial y^2} \right] \\
 (r^2 &= x^2 + y^2) \\
 \frac{\partial f(r, \varphi)}{\partial t} &= -\frac{1}{r} \frac{\partial}{\partial r} \left[(Gr^2 - Cr^4) f \right] + \frac{\varkappa \bar{n}_{\text{eff}}}{2} \left[\frac{1}{r} \frac{\partial}{\partial r} \left(r \frac{\partial f}{\partial r} \right) + \frac{1}{r^2} \frac{\partial^2 f}{\partial \varphi^2} \right]
 \end{aligned}$$

PORUCHOVÉ ŘEŠENÍ NAD PRAHEM

- Řešení Fokkerovy–Planckovy rovnice pouze s nelinearitou 3. řádu.
- Aktivní prostředí stacionární, bez paměti, nad prahem.
- Distribuční funkce označena barevnou škálou.
- Osy reálná a imaginární část $b(t)$.
- Parametry: $G = 1$, $C = 1$, rozměry čtverce 1.5×1.5 .

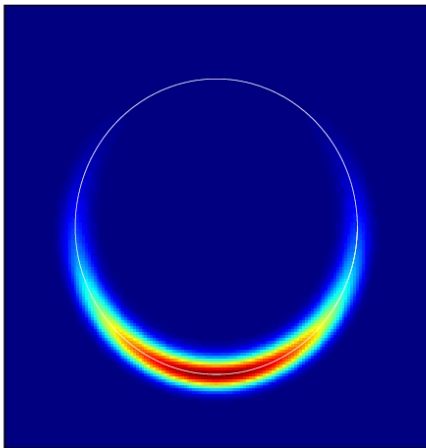


Speed: 1

Time

PORUCHOVÉ ŘEŠENÍ NAD PRAHEM

- Řešení Fokkerovy–Planckovy rovnice pouze s nelinearitou 3. řádu.
- Aktivní prostředí stacionární, bez paměti, nad prahem.
- Distribuční funkce označena barevnou škálou.
- Osy reálná a imaginární část $b(t)$.
- Parametry: $G = 1$, $C = 1$, rozměry čtverce 1.5×1.5 .

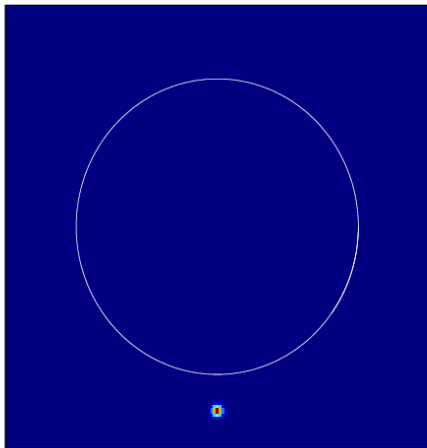


Speed: 4

Time

PORUCHOVÉ ŘEŠENÍ NAD PRAHEM

- Řešení Fokkerovy–Planckovy rovnice pouze s nelinearitou 3. řádu.
- Aktivní prostředí stacionární, bez paměti, nad prahem.
- Distribuční funkce označena barevnou škálou.
- Osy reálná a imaginární část $b(t)$.
- Parametry: $G = 0.2$, $C = 0.2$, rozměry čtverce 1.5×1.5 .

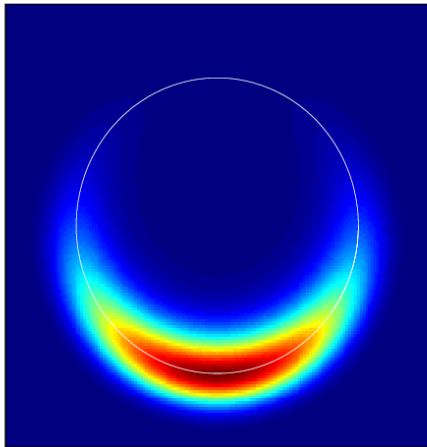


Speed: 1

Time

PORUCHOVÉ ŘEŠENÍ NAD PRAHEM

- Řešení Fokkerovy–Planckovy rovnice pouze s nelinearitou 3. řádu.
- Aktivní prostředí stacionární, bez paměti, nad prahem.
- Distribuční funkce označena barevnou škálou.
- Osy reálná a imaginární část $b(t)$.
- Parametry: $G = 0.2$, $C = 0.2$, rozměry čtverce 1.5×1.5 .



Speed: 4

Time

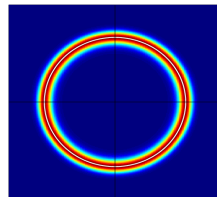
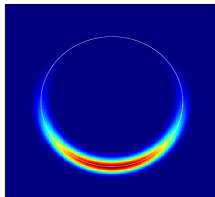
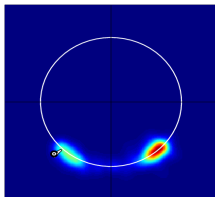
PORUCHOVÉ ŘEŠENÍ NAD PRAHEM

Langevin

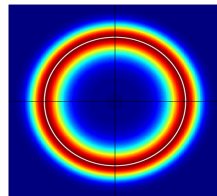
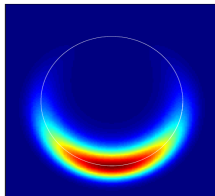
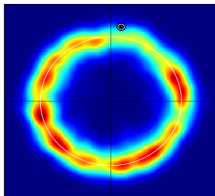
Fokker-Planck

Stacionární

G
 $=$
 C
 $=$
1.0



G
 $=$
 C
 $=$
0.2



Zajímavosti

OPTICKÁ BISTABILITA

- Laserový rezonátor, řízený vnějším polem, případně čerpáním aktivního prostředí.
- Semiklasické rovnice shodné s laserovými rovnicemi, ale v rovnici pro pole musíme přidat čerpání.
- Mody uvažujeme jako uzavřené stavy pole v dutině, fotony pronikající ven bereme jakoby tunelovaly skrz zrcadlo do vnějších modů.
- (Pozn. ve skutečnosti jsou mody delokalizované i mimo dutinu, ale v rámci aproximace jsme definovali okrajové podmínky s dokonalými zrcadly, abychom mohli pracovat s diskretními mody. Jinak bychom museli uvažovat kontinuum a nedokázali bychom efektivně oddělit interakce pole s prostředím uvnitř a vně dutiny.)
- Pro jednoduchost budeme uvažovat 1 mod, 1 druh atomů. Rovnice se člena na frekvenci ω :

$$\dot{\tilde{\mathcal{E}}} = -\frac{\gamma_c}{2} \tilde{\mathcal{E}} + \frac{i\omega N_0}{2\epsilon} \tilde{g}^* p + \tilde{\mathcal{E}}_S$$

$$\dot{p} = -\frac{i}{\hbar} \tilde{g} \tilde{\mathcal{E}} d - \gamma_{\perp} p + i\delta p$$

$$\dot{d} = \frac{4}{\hbar} \text{Im} \{ \tilde{g}^* \tilde{\mathcal{E}}^* p \} - (d - d_0) / T$$

OPTICKÁ BISTABILITA

- Hledáme stacionární řešení $\dot{\tilde{\mathcal{E}}} = \dot{p} = \dot{d} = 0$.

$$p_S = -i \frac{\tilde{g} d_S}{\hbar} \frac{\tilde{\mathcal{E}}}{\gamma_{\perp} - i\delta}$$

$$d_S - d_0 = \frac{4T |\tilde{g}|^2 |\tilde{\mathcal{E}}|^2 d_S}{\hbar^2} \operatorname{Im} \frac{-i(\gamma_{\perp} + i\delta)}{\gamma_{\perp}^2 + \delta^2}$$

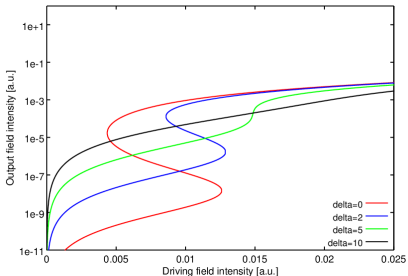
$$d_S = \left[\frac{\gamma_{\perp}^2 + \delta^2}{\gamma_{\perp}^2 + \delta^2 + 4T \gamma_{\perp} |\tilde{g}|^2 |\tilde{\mathcal{E}}|^2 / \hbar^2} \right] d_0$$

$$\frac{\gamma_c}{2} \tilde{\mathcal{E}} - i \frac{\omega N_0}{2\epsilon} \tilde{g}^* p_S = \tilde{\mathcal{E}}_S$$

- Po dosazení z 1. a 3. do 4. řádku získáme implicitní rovnici pro $\tilde{\mathcal{E}}$, kterou převedeme na kubickou rovnici pro $|\tilde{\mathcal{E}}|^2$ vynásobením celé rovnice rovnicí komplexně sdruženou.
- Kubická rovnice má 3 kořeny: multistabilní systém, stacionární řešení jsou vždy 3, z toho minimálně jedno reálné, a tudíž fyzikální.

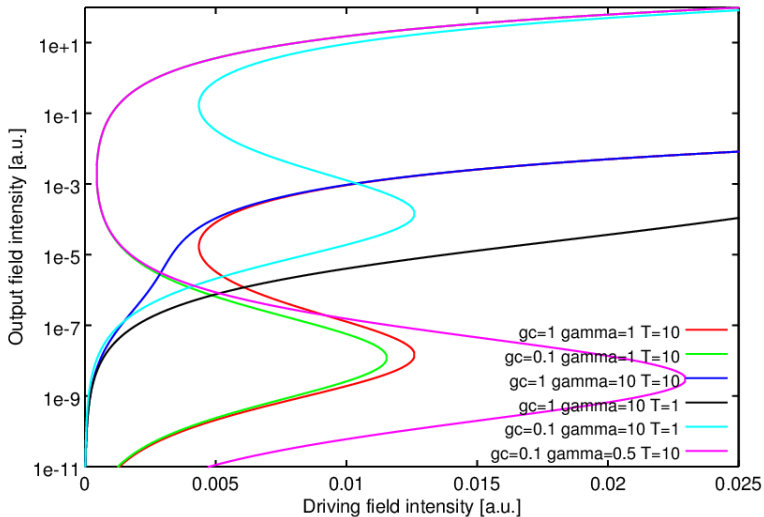
OPTICKÁ BISTABILITA

- Každé řešení má specifické požadavky na rovnováhu mezi polem a atomy, vnější pole samo vyvolává nerovnováží stav inverze.
- Směr od $|\tilde{\mathcal{E}}_S| = 0$: stoupání po spodní větvi až k bifurkačnímu bodu.
- Přímý přeskok na horní větev je možný díky fluktuacím, ale pravděpodobnost pod bifurkací velmi malá. Pole není dost intenzivní na vyvolání dostatečných změn v inverzi a polarizaci.



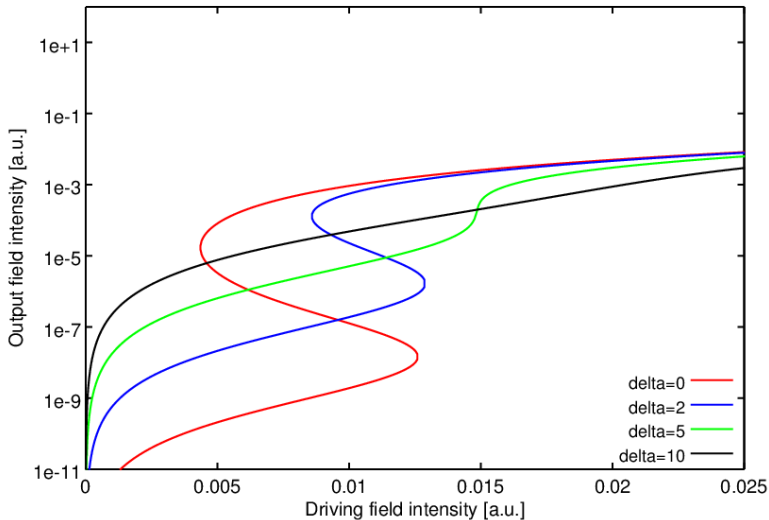
- U bifurkačního bodu pravděpodobnost přeskočení stoupá, fluktuace pravděpodobnější, v bifurkačním bodě je přeskok víceméně nutný. Pole při $|\tilde{\mathcal{E}}_S|$ nad bifurkačním bodem nestacionární, ale přechodně může existovat, postupně se absorbuje energie k načerpání inverze, pole přejde spojitě na horní větev.
- Při klesajícím $|\tilde{\mathcal{E}}_S|$ platí to samé, pole jde po horní větvi a přeskóčí pod bifurkačním bodem. Přímý přeskok nad bifurkací je znemožněn díky tomu, že energie z inverze nemá kam disipovat, pole není dost silné na její absorbování v podobě vlastních fluktuací. Pod bifurkačním bodem se energie inverze postupně vyzáří a systém přejde spojitě na spodní větev.
- Využití: optická modulace, optické logické prvky.

OPTICKÁ BISTABILITA



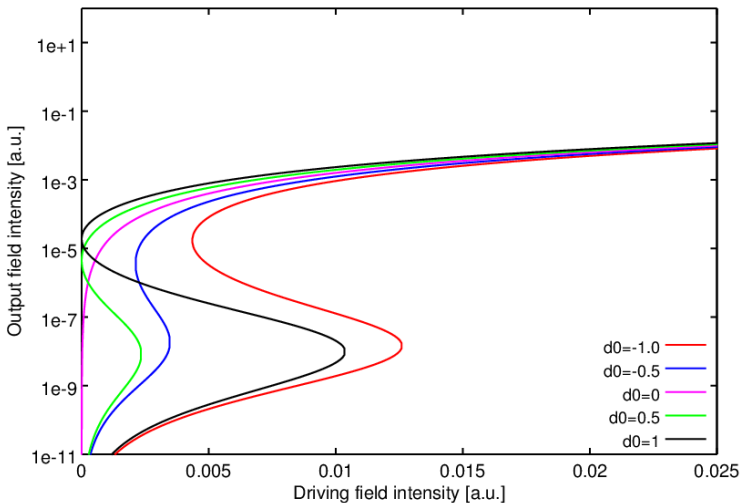
- Vliv dob rozfázování: klesající γ_c posouvá horní větev nahoru, klesající γ_{\perp} a rostoucí T posouvá spodní větev dolů.
- Klesající γ_{\perp} zároveň rozšiřuje hysterezi (zelená, fialová), pokud je naopak velké, hystereze se ztrácí (modrá, černá).

OPTICKÁ BISTABILITA



- Vliv rozladění atomů: nejširší hystereze v rezonanci, v mezním případě je šířka nulová, při větším rozladění je systém monostabilní.

OPTICKÁ BISTABILITA



- Vliv inverze (čerpání atomů): spojitý přechod od bistabilního ($d_0 = -1$) do monostabilního stavu ($d_0 = 0$).
- Díky čerpání ($d_0 > 0$) je nenulové výstupní pole i při nulovém $|\tilde{\mathcal{E}}_S|$. Bez vnějšího pole pracuje laser v bifurkačním bodě nebo $\tilde{\mathcal{E}} = 0$ (chybí „startovní“ foton).

ULTRAKRÁTKÉ PULSY

- Heisenbergovy relace neurčitosti, Wienerův–Chinčinův teorém:

$$\langle (\Delta\omega)^2 \rangle \langle (\Delta t)^2 \rangle \geq \frac{1}{4}$$

- Příklad: gaussovské klubko

$$\tilde{\mathcal{E}}(t) = \sqrt{\frac{\sqrt{2}}{\sigma\sqrt{\pi}}} \exp \left[-i\omega_0 t - \frac{(t - t_0)^2}{\sigma^2} \right]$$

$$\tilde{\mathcal{E}}(\omega) = \int_{-\infty}^{+\infty} \tilde{\mathcal{E}}(t) e^{-i\omega t} dt = \sqrt{\frac{\sigma}{\sqrt{2\pi}}} \exp \left[-i\omega t_0 - \frac{(\omega - \omega_0)^2 \sigma^2}{4} \right]$$

$$\langle (\Delta\omega)^2 \rangle = \frac{1}{\sigma^2}$$

$$\langle (\Delta t)^2 \rangle = \frac{\sigma^2}{4}$$

$$\langle (\Delta\omega)^2 \rangle \langle (\Delta t)^2 \rangle = \frac{1}{4}$$

ULTRAKRÁTKÉ PULSY

- Odhad šířky spektra:

$$\langle (\Delta E)^2 \rangle \langle (\Delta t)^2 \rangle \geq \hbar^2 / 4$$
$$\sqrt{\langle (\Delta E)^2 \rangle} \geq \hbar / 2 \sqrt{\langle (\Delta t)^2 \rangle}$$

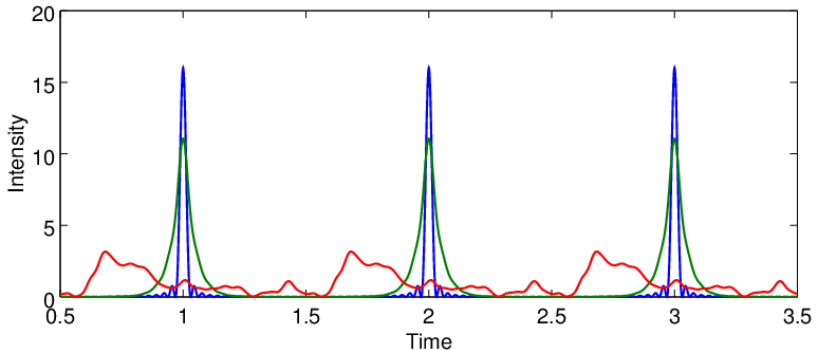
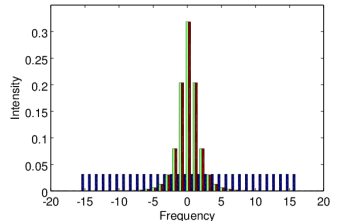
- Výsledné šířky spekter:

Mód	Délka pulsu	Šířka spektra
Mechanické přerušování	1 ms	$3 \cdot 10^{-13}$ eV
Akustooptická modulace	1 μ s	$3 \cdot 10^{-10}$ eV
Q-spínání	1 ns	0.3 μ eV
Ultrakrátké pulsy	1 ps	0.3 meV
Femtosekundové pulsy	0.1 ps	3 meV

- Je třeba, aby šířka spektrální čáry aktivního prostředí a šířka spektra dutiny byly dostatečně široké.
- Přirozená homogenní šířka čáry na úrovni 10 μ eV v atomárních prostředích při nízké teplotě, při $T = 300$ K je to cca $k_B T \approx 25$ meV.
- Doba života fotonu relativně dlouhá, pro 10 oběhů v krátké dutině $L = 1$ mm vychází 70 ps (0.04 meV) \Rightarrow nutné vícemodové oscilace, protože puls nelze na fs časové škále externě modulovat jako u Q-spínání.

ULTRAKRÁTKÉ PULSY

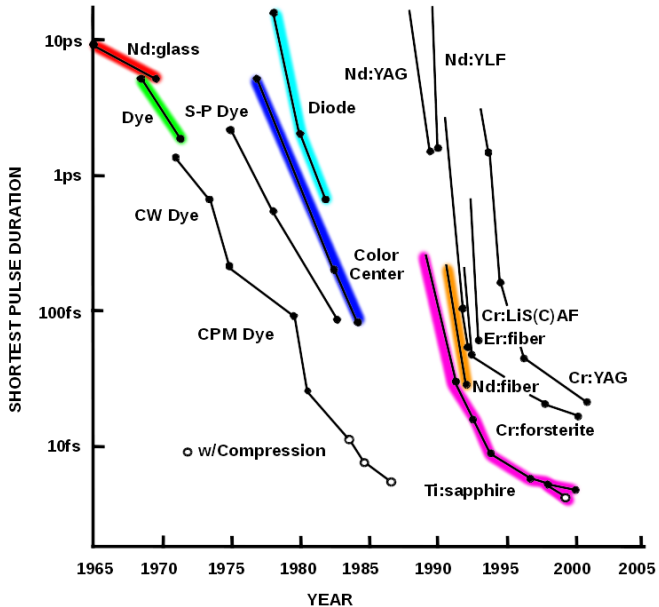
- *Vícemodové oscilace v prázdné dutině.*
- Fixní fáze mezi mody, modulace pouze amplitudy: více či méně hladké pravidelné pulsy.
- Náhodné fáze mezi mody: chaotické pole, menší amplituda.
- Modrá, zelená: fixní fáze; červená: náhodná fáze.



ULTRAKRÁTKÉ PULSY

- Obíhající puls má tendenci rozplývat se v čase stejně jako kvantově-mechanický vlnový balík díky posuvu a ztrátě korelace mezi mody.
- Rozplývání lze částečně kompenzovat lineárními prvky s vhodnou negativní dispersí: hranoly nebo mřížky.
- Dotvarování: synchronizace modů modulací ztrát — aktivní, pasivní, hybridní.
- *Amplitudová modulace*: aktivní synchronizace, periodicky se mění propustnost prvku (např. akustoopticky).
- *Frekvenční modulace*: aktivní synchronizace, periodicky se mění frekvenční posuv (např. elektroopticky).
- *Synchronní čerpání*; čerpání aktivního prostředí synchronně s oběhem pulsu, nejvyšší zisk má pouze obíhající puls kvůli periodicitě $|\tilde{\mathcal{E}}|^2$ a d_0 .
- *Saturabilní absorbér*: absorpční koeficient se saturuje polem, propouští intenzivní pulsy, pohlcuje málo intenzivní. Obvykle pomalá odezva, je to rezonantní jev (pohlčení fotonů a záchyt elektronů v reálných stavech).
- *Kerrovská nelinearita*: kerrovské médium (nelinearita 3. řádu, nerezonantní s polem) způsobuje samofokusaci, umístěním clonky dostaneme podobný efekt jako u saturabilního absorbéru, nerezonantní, rychlejší.
- *Hybridní modulace*: spojení obou postupů.

ULTRAKRÁTKÉ PULSY



ULTRAKRÁTKÉ PULSY

- Homogenní vlnová rovnice pro pomalu se měnící obálku:

$$\tilde{E}(\mathbf{x}, t) = \tilde{\mathcal{E}}(z, t) \exp [ik_0 z - i\omega_0 t]$$

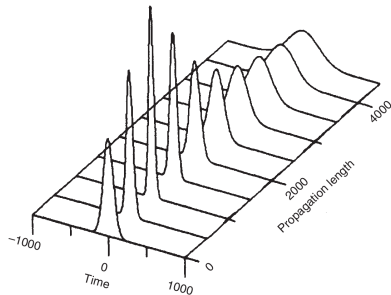
$$\frac{\partial}{\partial z} \tilde{\mathcal{E}} - \frac{i}{2} \frac{\partial^2 k_0}{\partial \omega^2} \frac{\partial^2}{\partial (t - z/v_g)^2} \tilde{\mathcal{E}} = 0$$

$$v_g = \frac{\partial k_0}{\partial \omega} \quad \text{grupová rychlost}$$

$$k_0 = \frac{n(\omega_0)\omega_0}{c} \quad \text{vlnový vektor}$$

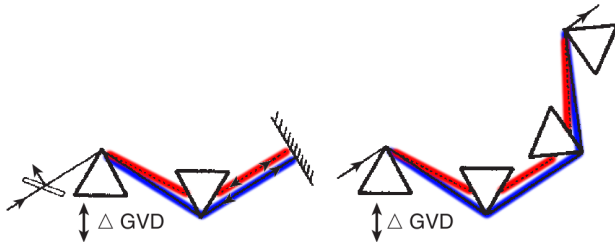
- Jednoduchá disperse pouze definuje grupovou rychlost, tvar pulsů neovlivňuje.

- *Disperse grupových rychlostí* (Group Velocity Dispersion) $\partial^2 k_0 / \partial \omega^2$ má za následek rozšiřování pulsů v čase.
- Vznik *čerp* (Chirp), tj. nelineární modulače fáze po délce pulsu (lineární modulače znamená pouze frekvenční posun).
- Rozdělení efektivní frekvence po délce pulsu.



ULTRAKRÁTKÉ PULSY

- Čerpované pulsy
je možné stlačovat až do limity dané relacemi neurčitosti (transform-limited pulse).

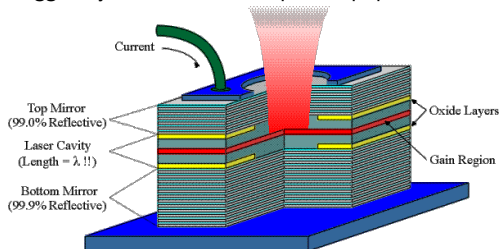


- **Výhody ultrakrátkých pulsů a jejich využití:**
- Vysoké časové rozlišení.
- Vysoké intenzity (nonlinearity), malé tepelné ztráty (kontinuální laser na dané intenzitě by zničil vzorek).
- Generace attosekundových pulsů.
- Generace THz pulsů.

$$E_{\text{SHG}} \propto \cos(2\omega t) = 2 \cos^2 \omega t - 1$$

$$E(t) \propto E_0^2(t) \cos(2\omega t) + E_0(t)$$

- **Vertical Cavity Surface Emitting Laser**
- Malá vzdálenost braggovských zrcadel na kompaktně připravené struktuře.



- Velká spektrální vzdálenost frekvencí podélných modů ($\approx 1/L$), efektivně pouze jeden mod.
- Příčné mody lze potlačit konečnými rozměry apertury — možný jednomodový provoz.
- Velký překryv elektronové a elektromagnetické vlnové funkce ($\approx 1/\sqrt{L}$) — vysoká kvantová účinnost.
- Vyzařování z elektricky čerpaných elektron–děrových párů v ploše kvantové jámy.
- Oproti (objemovým) polovodičovým laserům s p-n přechodem vyzařuje z plochy (povrchu kvantové jámy), ne podél p-n rozhraní.
- Integrovatelnost, vysoké výkony z malého objemu, laditelnost.

MIKRODUTINY

- Struktura podobná VCSEL, vysoká odrazivost zrcadel, malá délka dutiny ($\lambda/2$).
- Efektivně pouze jeden podélný mod elektromagnetického pole, kontinuum příčných modů s parabolickou dispersí:

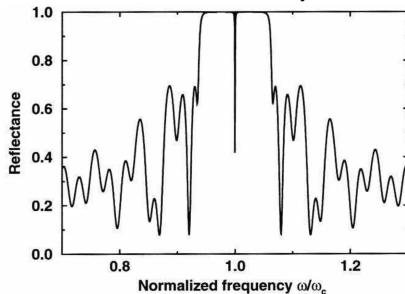
$$|\mathbf{k}|^2 = \underbrace{k_{z0}^2}_{\text{pevně dané délkou dutiny}} + \underbrace{k_x^2 + k_y^2}_{\text{libovolné}}$$

$k_{z0} \gg k_x, k_y$ pro mody vyzařované z povrchu (dáno světelným kuželem)

$$k \approx k_{z0} + \frac{k_x^2 + k_y^2}{2k_{z0}}$$

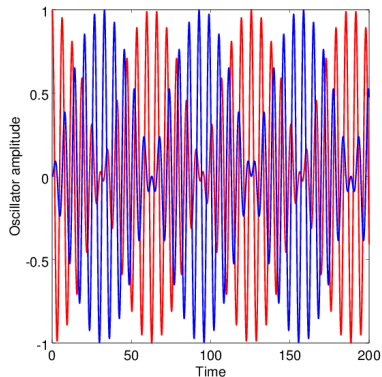
- Uvnitř dutiny jedna nebo několik kvantových jam, excitonová rezonance shodná s energií fotonového modu.
- Interakce hmotných fotonů (bosony) a excitonů (bosony) — spřažené harmonické oscilátory.

OBR.: Odrazivost prázdné mikrodutiny nebo VCSEL struktury.



MIKRODUTINY

- Spřažené harmonické oscilátory: vznik rázů, přelévání energie mezi mody.
- Fourierova transformace časového vývoje jedné z amplitud obsahuje dvě maxima, oscilace je lineární kombinací dvou vlastních modů.
- V mechanice separace pohybu těžiště a rozdílové amplitudy, v relacích kvantové mechaniky je tento postup separací vlastních modů a diagonalizací hamiltoniánu.



- Hamiltonián kvantového modelu:

$$H = E_X a^+ a + \hbar \omega b^+ b + g(a^+ b + a b^+)$$

- Vlastní mody

$$p_1 = \alpha a + \beta b$$

$$p_2 = \beta a - \alpha a$$

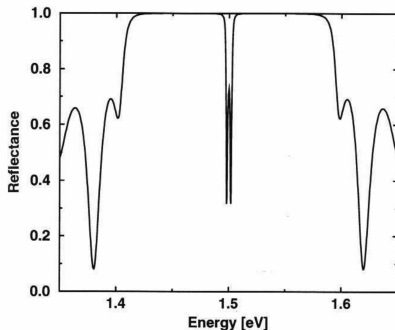
$$|\alpha|^2 + |\beta|^2 = 1$$

MIKRODUTINY

- Energie

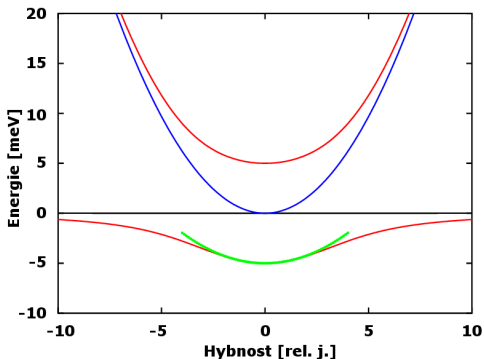
$$E_{1,2} = \frac{E_X + \hbar\omega}{2} \pm \frac{1}{2} \sqrt{(E_X - \hbar\omega)^2 + 4g^2}$$

- Rozštěpení fotonového modu do dvou smíšených modů spolu s excitonem.
- Dvě maxima propustnosti se objeví v důsledku přimísení fotonů do obou modů.
- V modelu nejsou započítané ztráty (rozfázování, v mechanickém modelu tření): pokud budou velké, oscilace způsobené vazbou budou tlumené a mody se nebudou mísit.
- Podmínka pro vazbu $2g > \hbar|\gamma_{\perp} - \gamma_c|$.
- Silná vazba \rightarrow štěpení bosonového modu na horní a dolní větev.
- Slabá vazba \rightarrow žádné mísení modů, jedno maximum propustnosti, VCSEL.



MIKRODUTINY

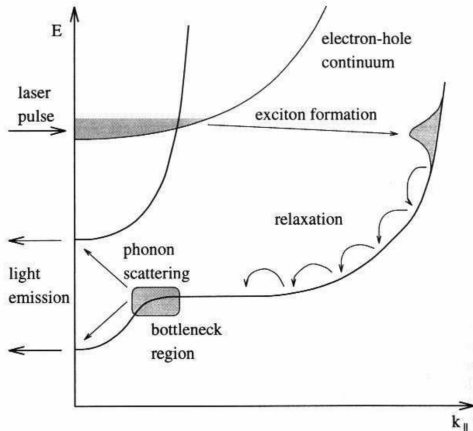
- Energie fotonů $\hbar\omega = \hbar kc \propto k_x^2 + k_y^2 \Rightarrow$ disperse závislé na vlnovém vektoru v rovině, dva módy.



- Minimum disperse na nenulové energii — nenulová klidová hmotnost.
- Přibližně parabolický tvar disperse — hmotné částice, hmotnost $10^{-4} m_e$.
- Bosony, kritická teplota vyšší než pokojová.
- Částice slabě interagují, mohou se pohybovat.

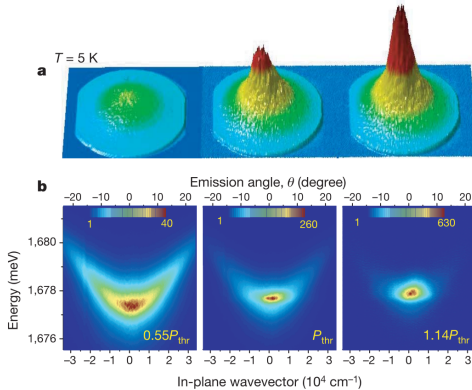
MIKRODUTINY

- Relaxace energie díky interakci s fonony, termalizace s mříží, snaha o termalizaci v minimu disperse (fotony ani 3D polaritony a plasmony se takto termalizovat nemohou kvůli nulové klidové hmotnosti).
- Fázový přechod do Bose-Einsteinova kondenzátu nebo supratekutého stavu (BKT teorie).



MIKRODUTINY

- Kondenzace, stimulovaný boson–bosonový rozptyl, laserování bez inverze.



- Ukázáno v GaAs na teplotě 5K, v GaN při 300K.
- Funguje i s elektrickým čerpáním.
- Funkčnost citlivá na přípravu, musí být nízké ztráty, drahé.

Literatura

- H. Haug: *Light. Vol. 1: Waves, photons, atoms*, North–Holland Physics Publishing, 1985.
- H. Haug: *Light. Vol. 2: Laser light dynamics*, North–Holland Physics Publishing, 1985.
- H. Haug, S. W. Koch: *Quantum theory of the optical and electronic properties of semiconductors*, World Scientific, 2004.
- J.-C. Diels, W. Rudolph: *Ultrashort laser pulse phenomena*, Elsevier, 2006.
- A. V. Kavokin, J. J. Baumberg, G. Malpuech, F. P. Laussy: *Microcavities*, Oxford University Press, 2007.
- E. Hecht: *Optics*, Addison Wesley, 2002.
- L. Mandel, E. Wolf: *Optical coherence and quantum optics*, Cambridge University Press, 1995.